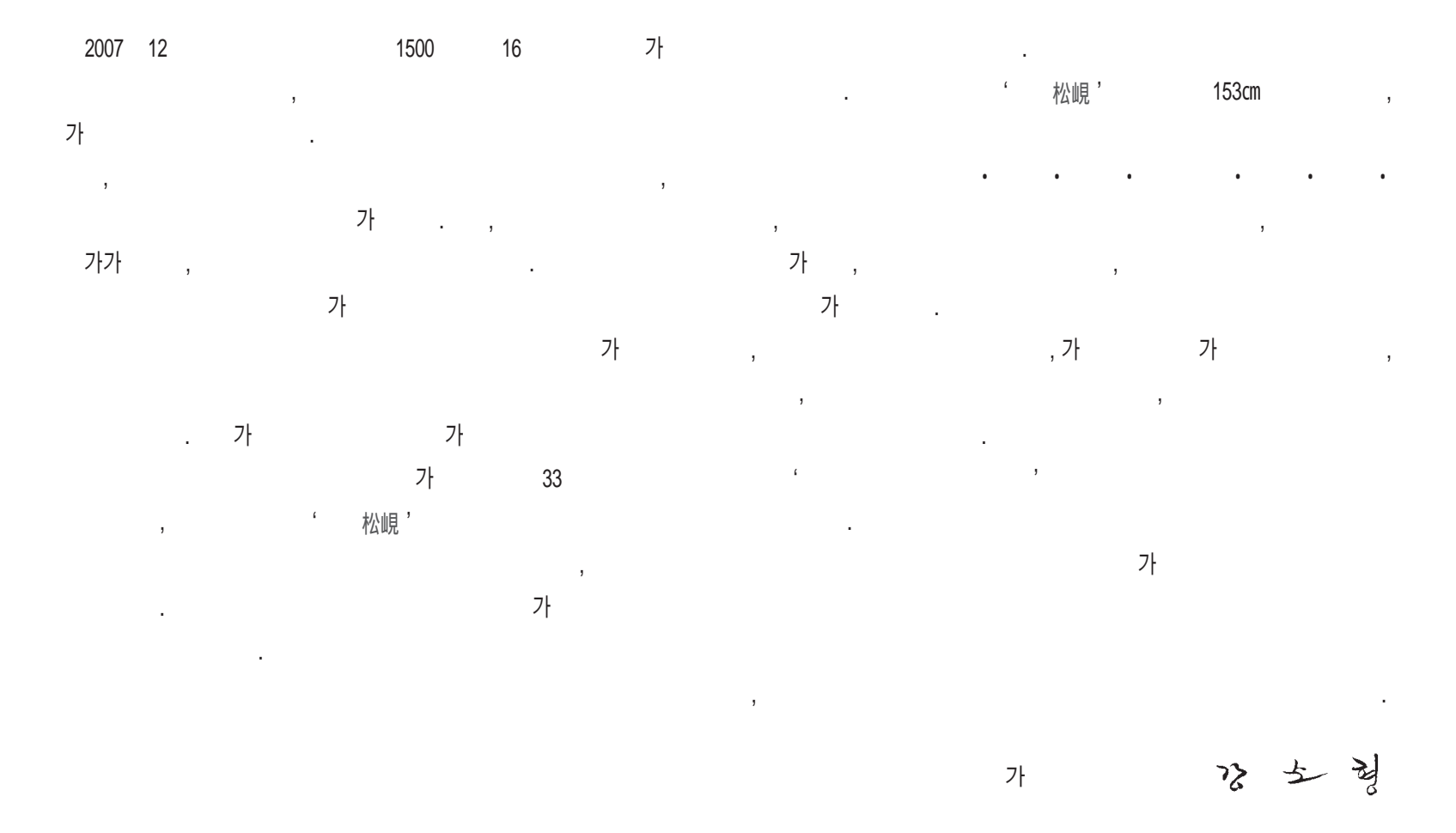
가 43

*1500태앞 16실' 이귀성의 삼과 죽음

- 상영 충혈등 사호로 소장인들의 복원연구 -





A 16 years old woman buried for last 1500 years of a destroyed tomb which was examined in December 2007 went back next to us after 2 years. Differently from analyzing and studying objects such as various relics to be discovered from the archaeological excavation, She returns as a lady who have kept an human appearance of that time. Being named 'Songhyeon' according to a name of the site, she is a young lady who is 153cm, small and petite with a slim waist.

Soon, it will be the first case of the interdisciplinary and multidiceiplinary research between the archaeology, the genetics, the biochemistry, the forensic anthropology, the anatomy, the physics and the fine arts science to try a restoration of a human body and a culture, and a scientific analysis of an ancient human skeleton materials discovered and examined in Korea. This, which doesn't remain just as old skeleton, was deployed to find the past mankind, who tried to approach to a dead, the past living and appearance by using the knowledge of the liberal arts & social studies and the science. Not being only as an imaginary image, the point to restore a dietary life, an appearance, a pathological characteristic and others by using the scientific study is considered that the ancient skeleton study of Korea now confidently joins into the current worldwide study trend.

Likewise, for the first trial of the interdisciplinary and multidiceiplinary research on the ancient human skeleton, researchers from Gaya National Research Institute of Cultural Heritage, Conservation Science Division of National Research Institute of Cultural Heritage, Laboratory for Applied Anatomy at Catholic Medical University, Korea Research Institute of Archaeological Science of Chungcheong Research Institute of Cultural Heritage respected each different view and aspect, understood each different academic background and tradition, and strived together for the common purpose. Furthermore, the top-level specialists related to each academic field give attentions and advisories for the research.

The fruits of this research was introduced to the academic field throughout a separate presentation of single subject which is 'Reconstruction research on the ancient human skeleton materials' the 33th Annual Conference of the Korean Archaeology held by the Korean Archaeological Society, and the buried woman, 'Songhyeon' to be reconstructed was publically exposed throughout press conference and an exhibition.

I wish, with a base on this, the physical characteristic of a human being is granted the historical identification, and with a base of various understandings and interpretations on ancient people, the culture of ancient society is widely studied. Additionally, like this research, from popeling to the open cooperative study with domestic professional groups, I wish that the archeology should contribute to a modern issue as well as a historical knowledge of the past.

Lastly, I'd say that encouragements from researchers who participated together without hesitations for the first step, authorities for the National Research Institute of Cultural Heritage, and domestic or abroad people who gave big supports was enormous.



17

29 가 |

37

49 .

59

67 가 |

	가	79
	가	97
I		103
		107
Abstract ・English・日本語・中文	₹∙ Русский Язык	113
15		119
		197



가 15 가 가 가가 第六十二番邑内面古墳群 古墳群(81) 校洞(昌寧 松峴洞 80) -桂城• 靈山 牧馬山 470m) 756m) 火旺山(. 1917 가 西龍 1910 15). (朝鮮古蹟調査報告)』 1917 🖁 1919









()

40 2 (162.4±2cm) 20 1 4.4m . 埋葬主體部 橫口式石槨 ¹⁾. 8.56()×1.7()×2.25()m 14.5m² . (154cm) 大形封土墳 15· 17 A , 15 2006 가 16 , 15-1 · 2 · 3 , 15 · 16 · 17 埋納遺構, 17 B · 가 3 2 1.4m 가 $C \cdot D$ 盜掘坑 15 封墳 가 護石 64.7m , 22.4m(-) ,

10cm 3 . 15 가 長頸壺・ 殉葬人骨 가 15 短頸壺• 高杯 가 曲玉・・・ 4.8m 가 가 金珠• 金指環・金銅官片 雲珠• 鞍橋 6 · 7

5(1:000)

金銅耳飾가

フナ 2004 2005 6・7 フナ . 15 16・ 17 2006 2008 フナ

, 15 6

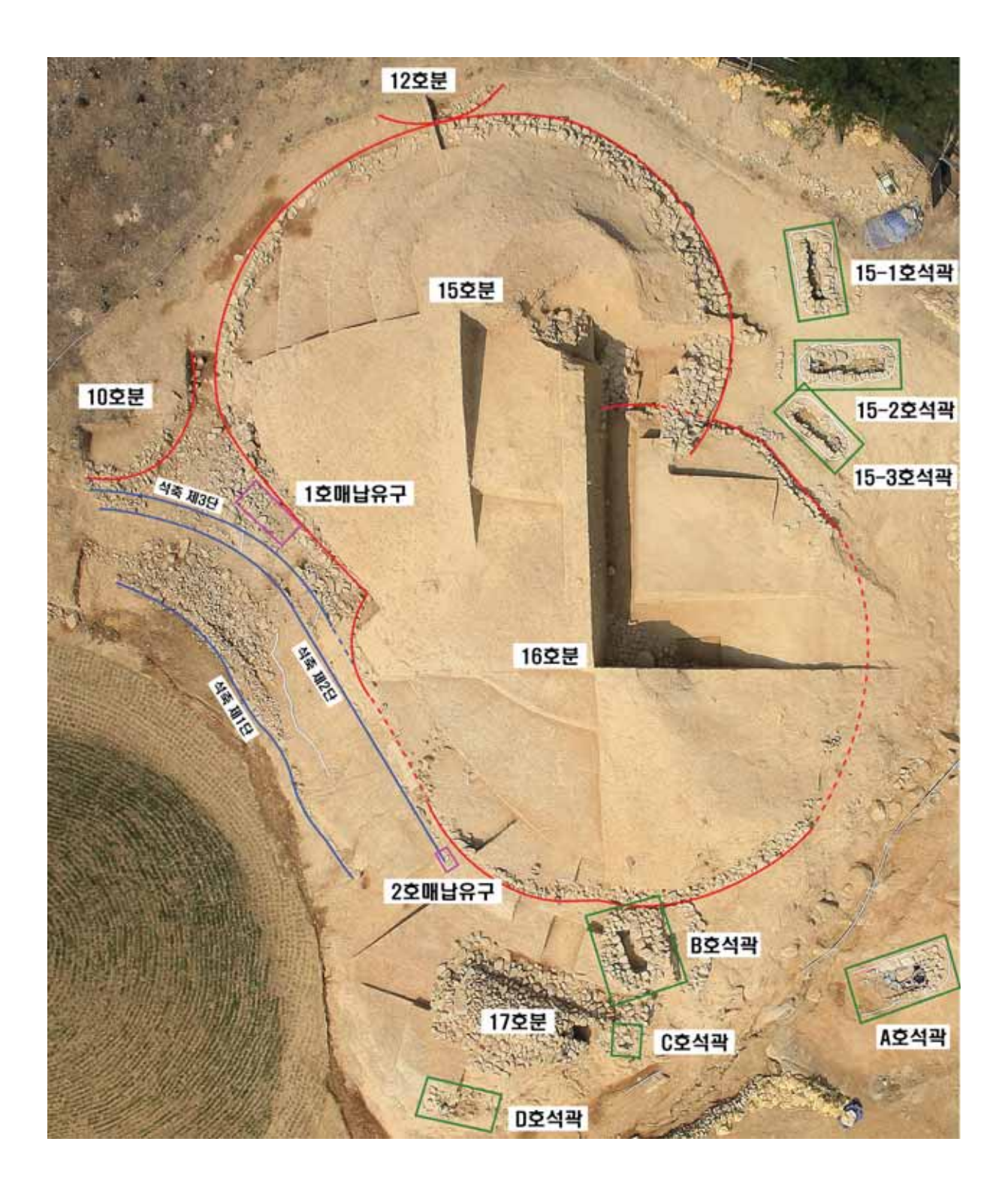
水運

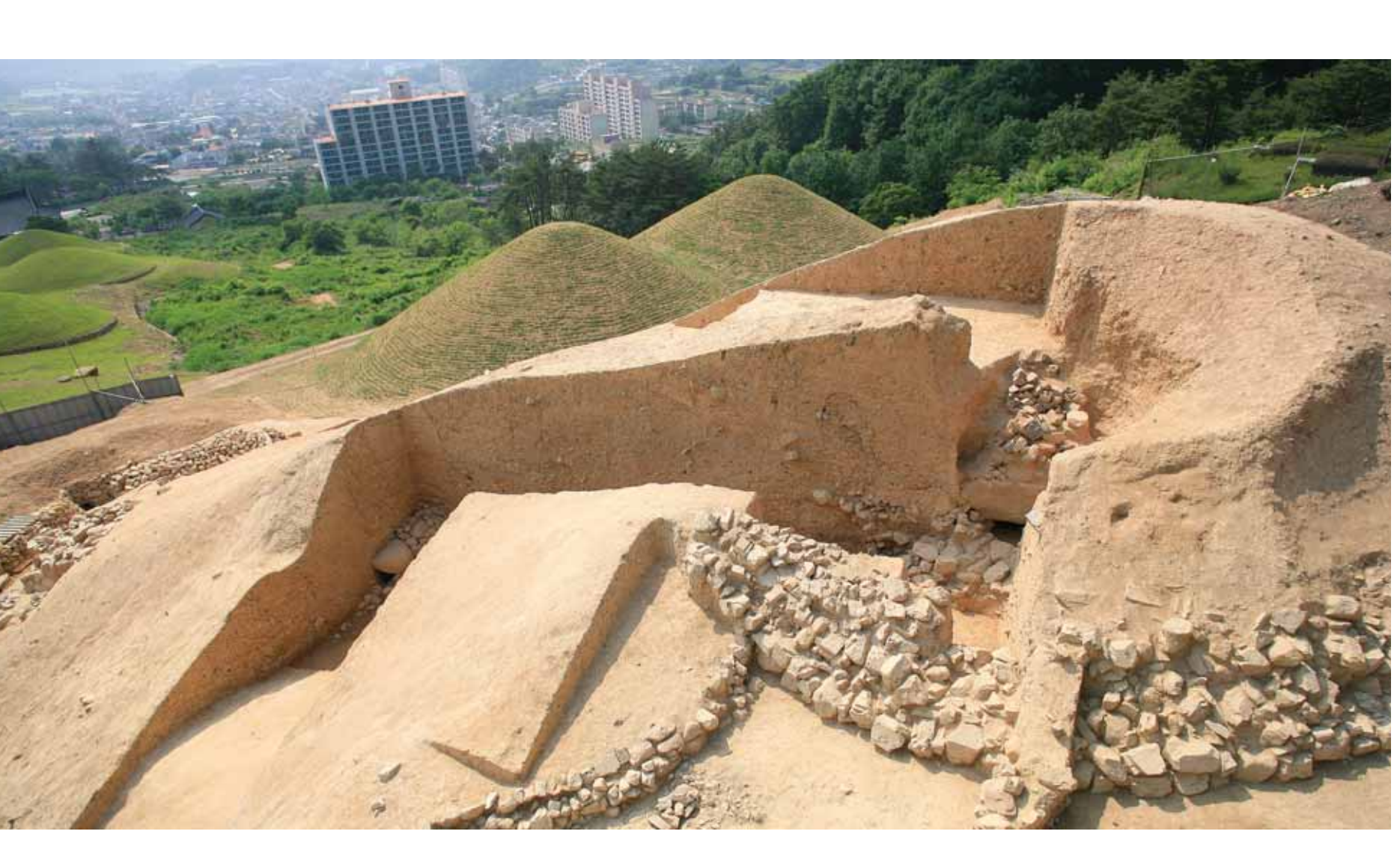
4)

, 新羅 561 『 昌寧新羅眞興王拓境碑*』*²⁾

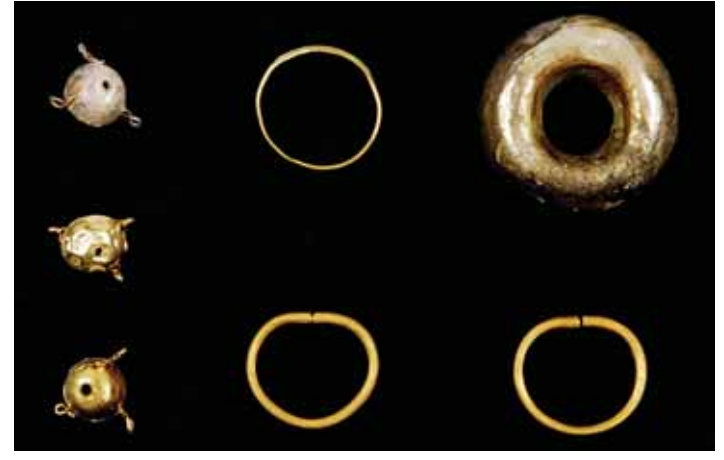
,

3)







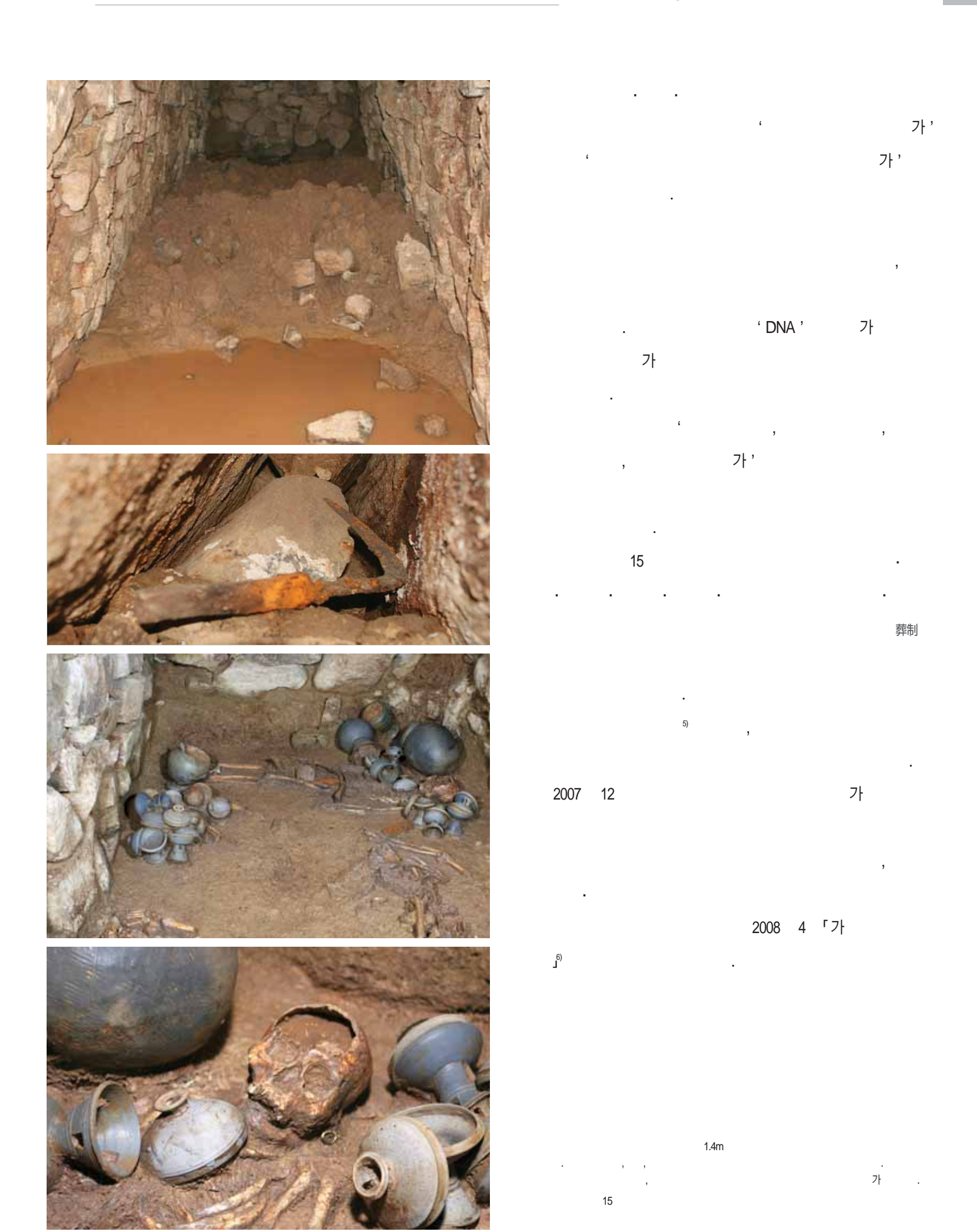








15 가 64.7m , 8.56()× 1.7()× 2.25()m 14.5m , 7} , 15 15





국립가야문화재연구소



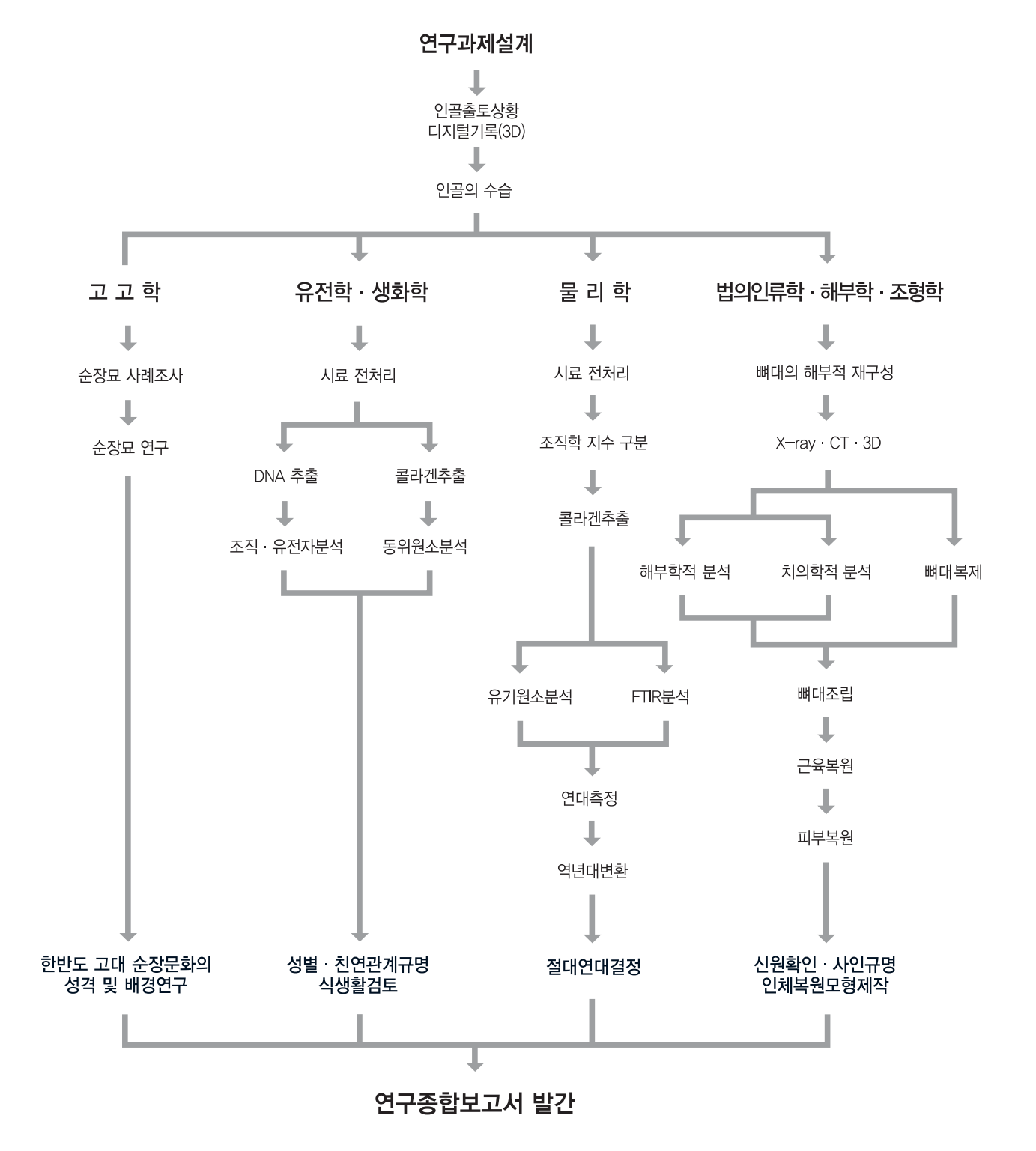
가톨릭대학교 가톨릭응용해부연구소



국립문화재연구소 보존과학연구실



충청문화재연구원 한국고고과학연구소 AMS



15 2008~2009 2009 2009 2008~2009 2009 2009 2009 2008~2009 2008 2009 2009 2008 7 2009 10 12 가 () . 가 가 가 AMS 10 가 , 2009 2008











가 15 · · 가 · , 가

栃原博「日本人 歯牙の咬耗に 関する研究(1957)」 池田次郎「高松塚被葬者の推定年齢について(1975)」 , $\mathsf{K}.\mathsf{Pearson}^\Gamma\mathsf{On}$ the Reconstruction of the Stature of Prehistoric Races(1899) J (2006). 2) 1914 (橋本良藏) 1924 「辛巳年二月 一日立」 22 (561) (比斯伐・ (職官)・ (職位)・ 가 3) 5 가 가 가

가 가 . 4) 5) 가 가 15 가 . 6) 6 가 '가

'가 對

' 가

1990). 가 가



가 ' ' 가 5,000 가 .

• • •

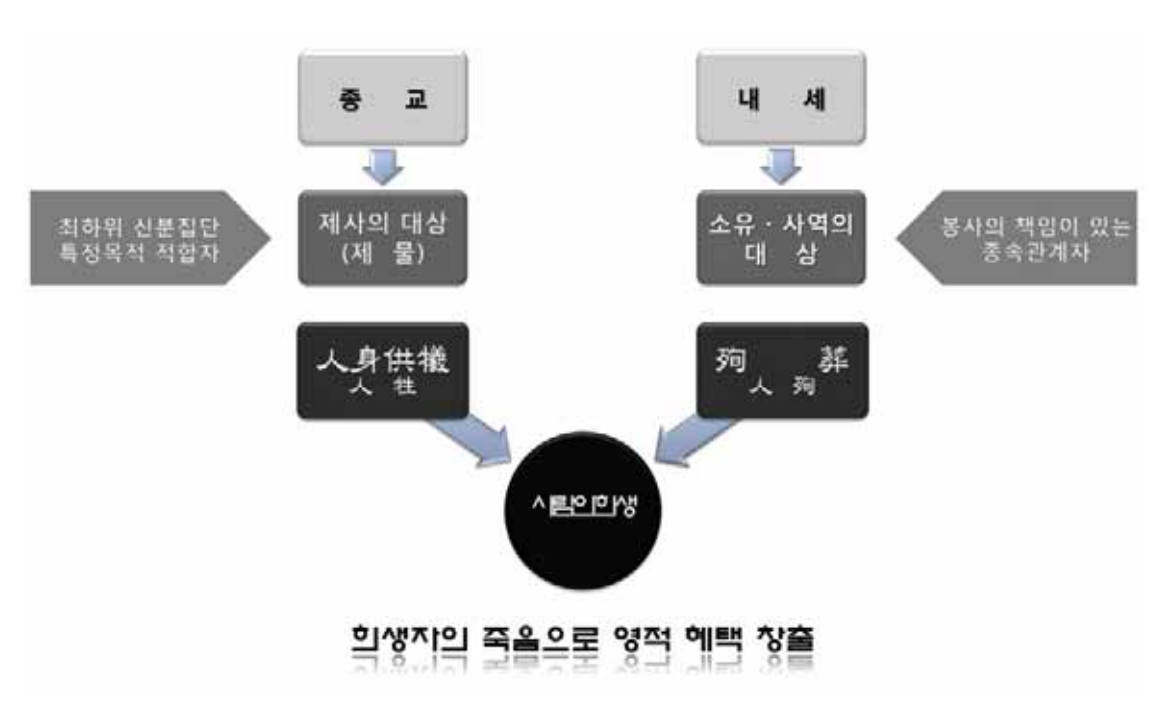
殉葬 中國 新石器時代 가 . 來世

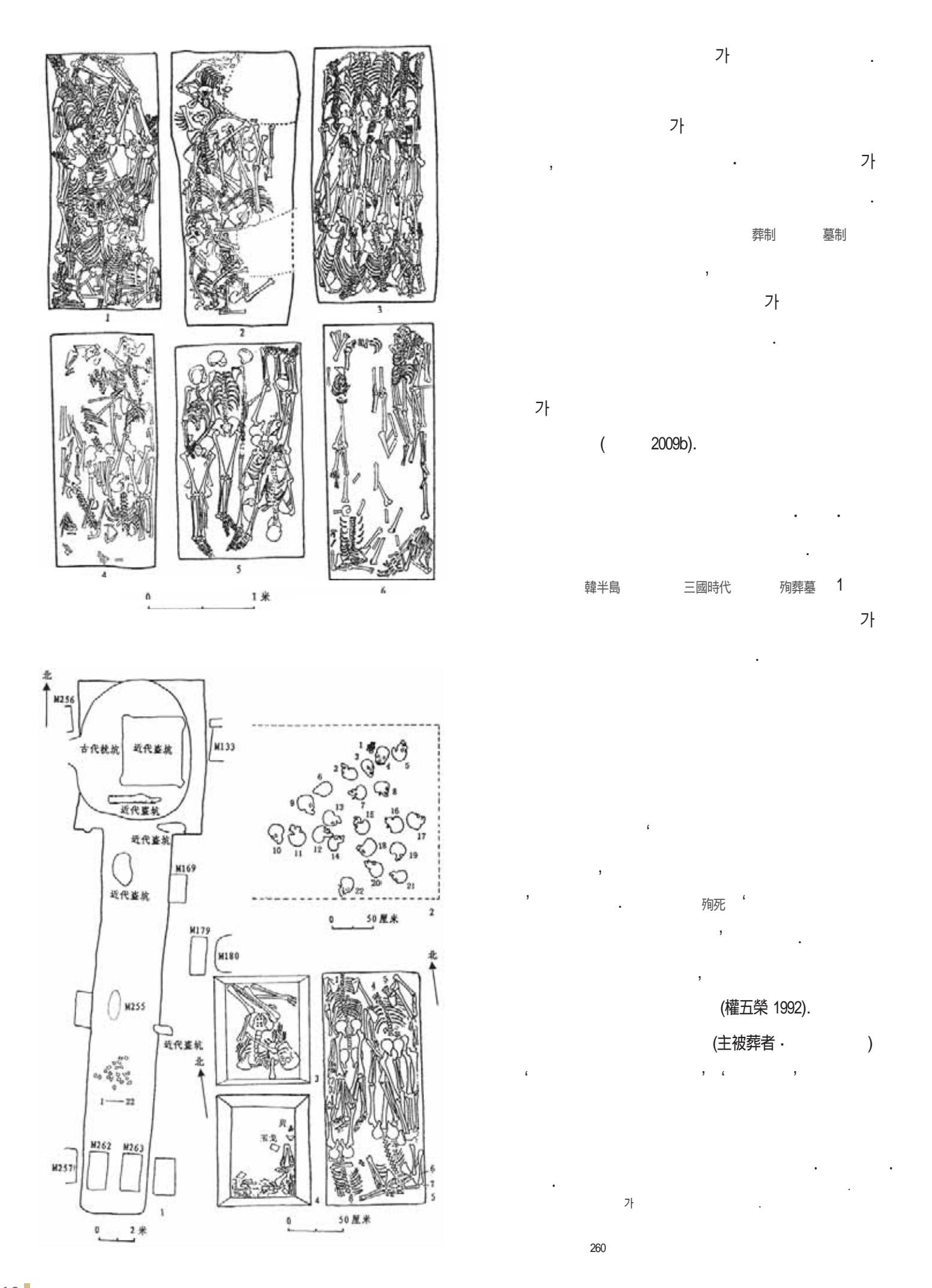
南家文化 (3,000~2,000B.C.)男女合葬,・・・・・(黄展岳 2004),Abydos가ン가

(Old Kingdom Tomb・2,800B.C.) 가 .

(Galvin 2005 · Fagan 2007). 5,000 靈長類

, 가





 金秀桓 2005).
 가
 가

, 가

,

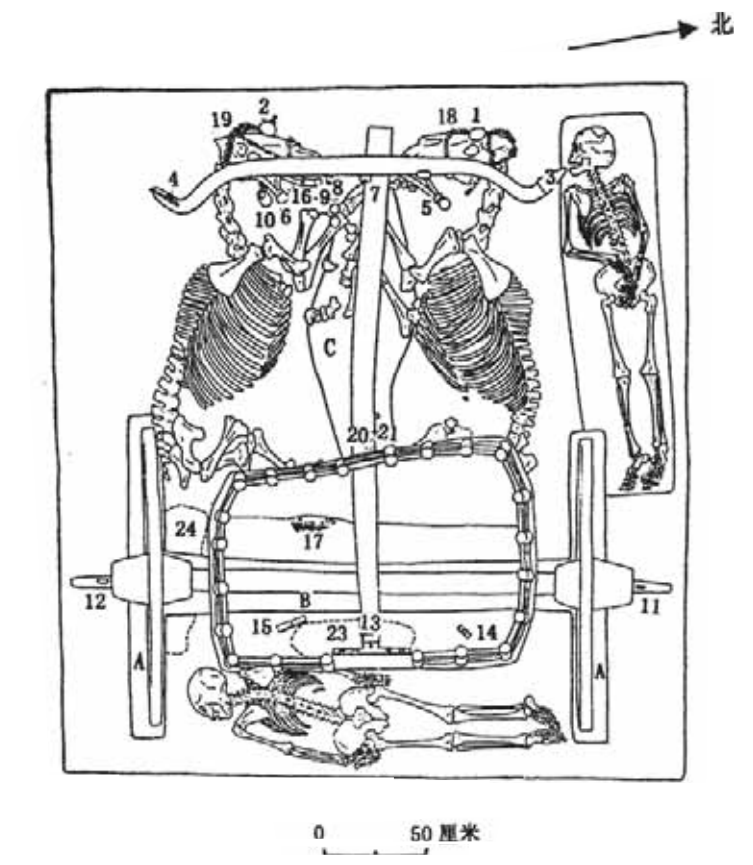
.

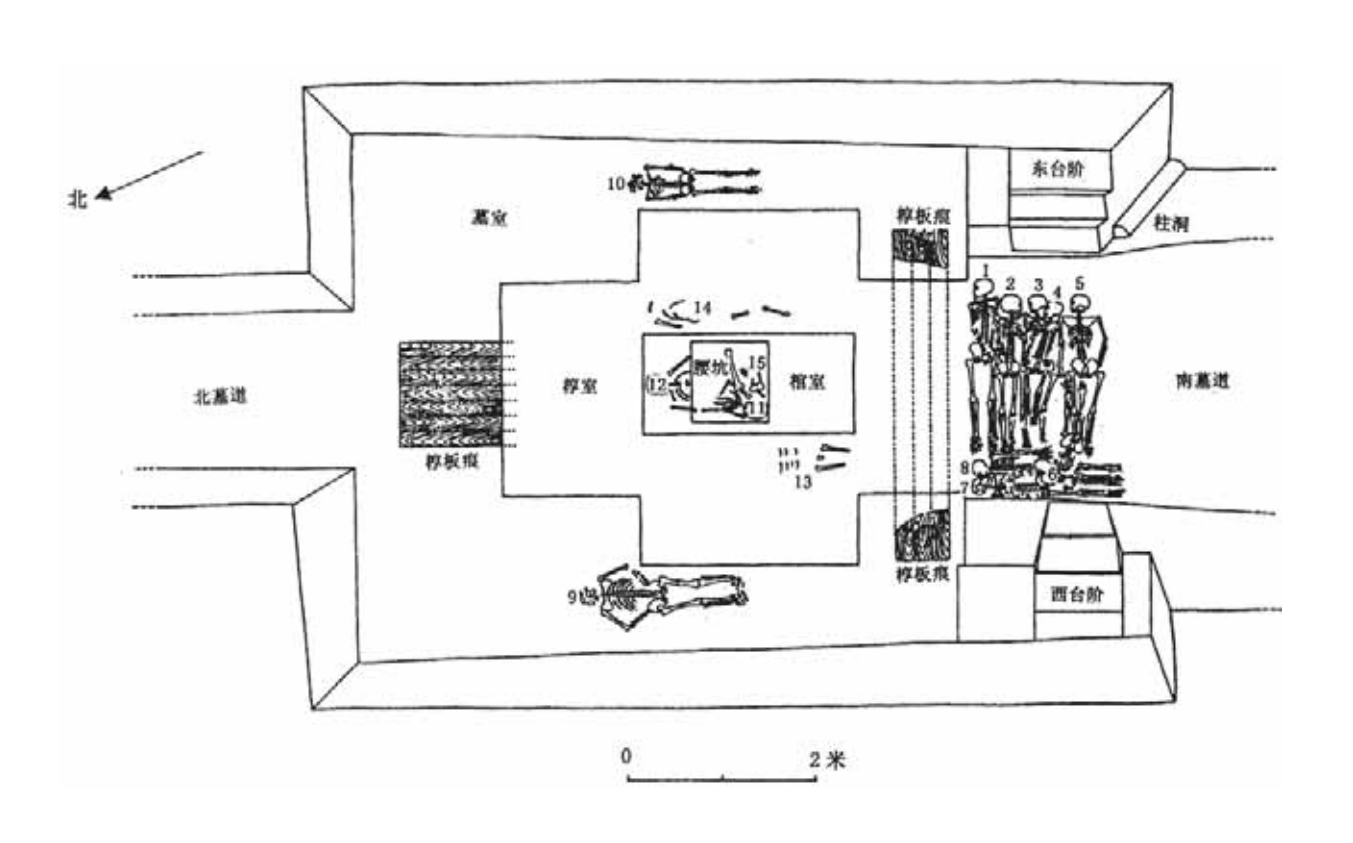
가 . , , 가 .

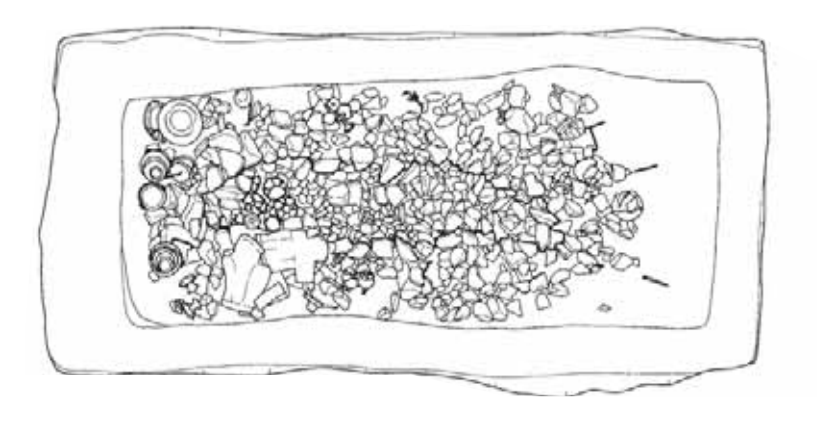
祭祀祭物

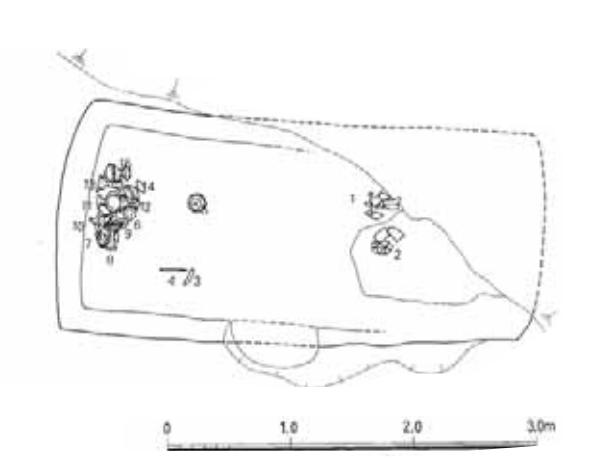
人身供犧 가 , 人牲

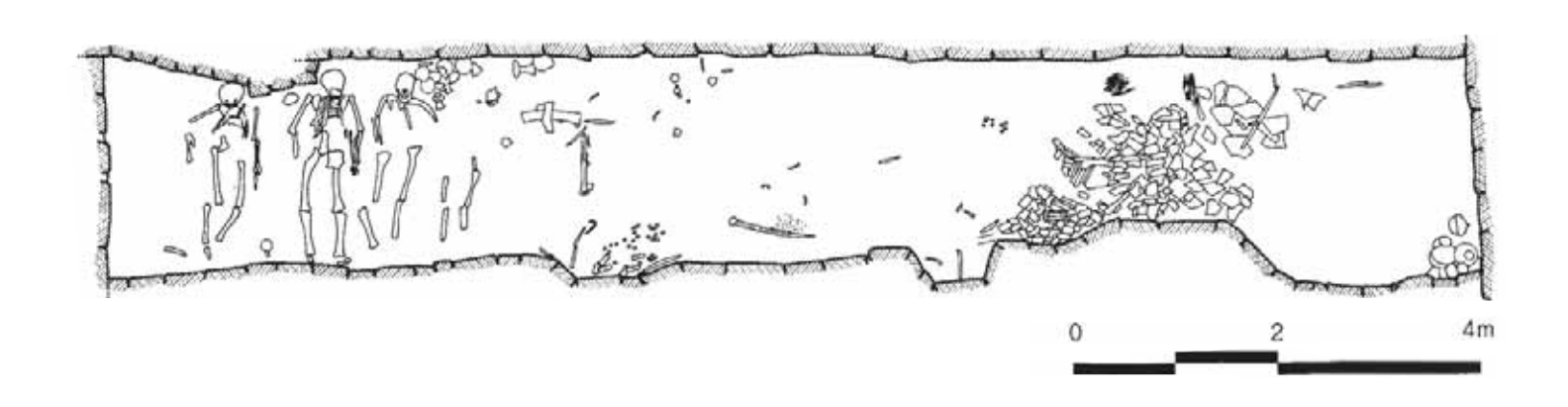
가 가 52

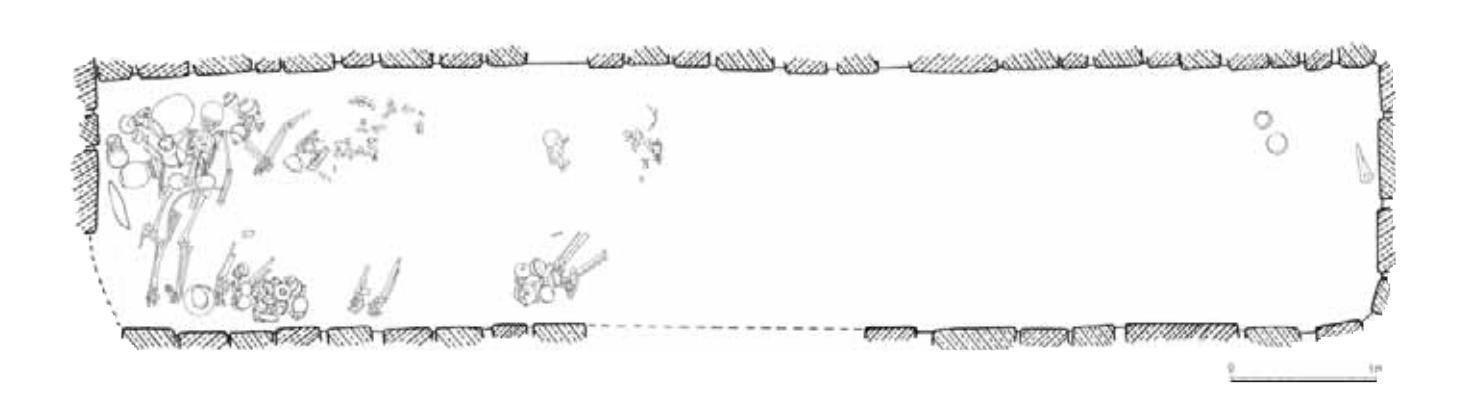




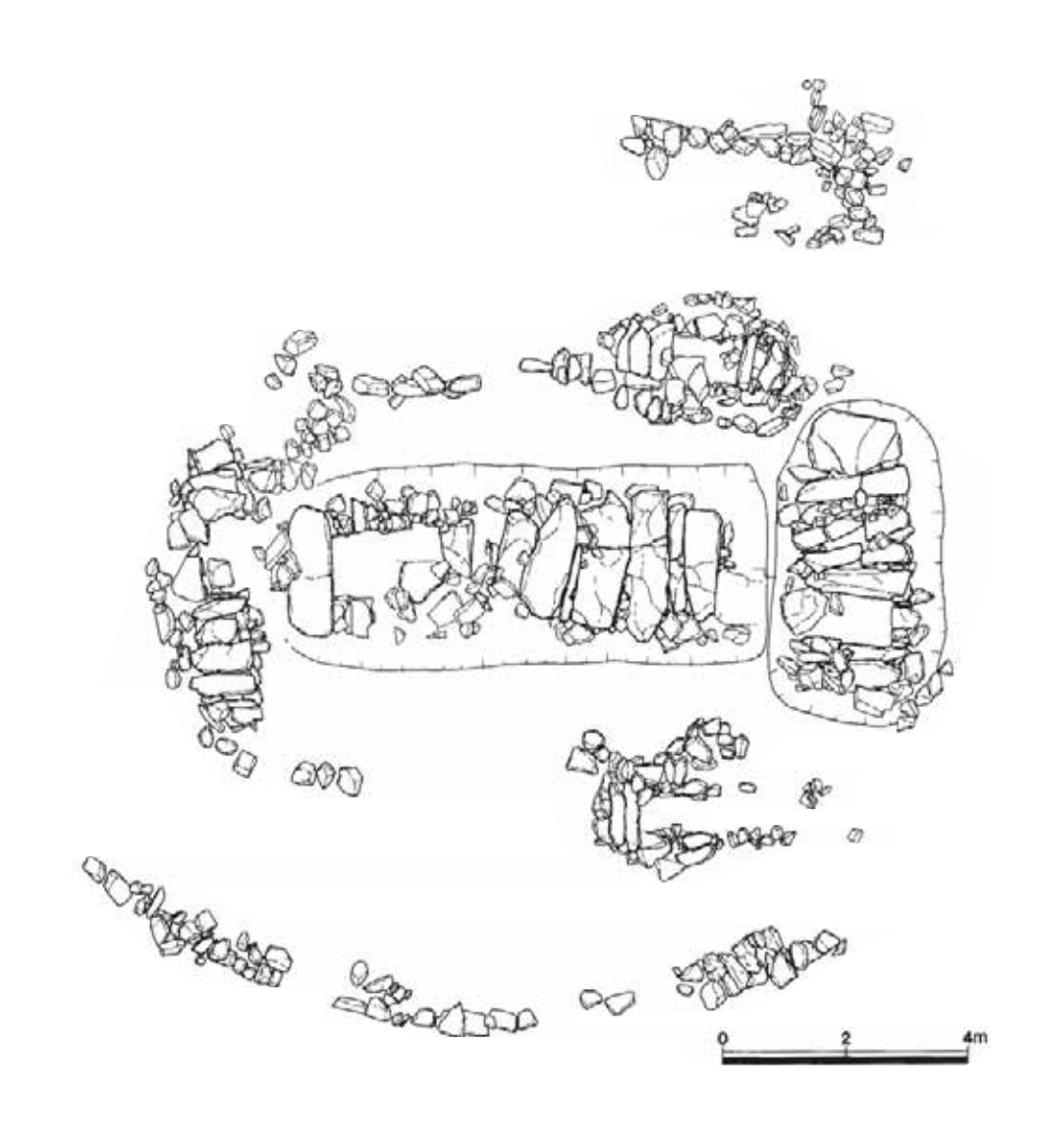


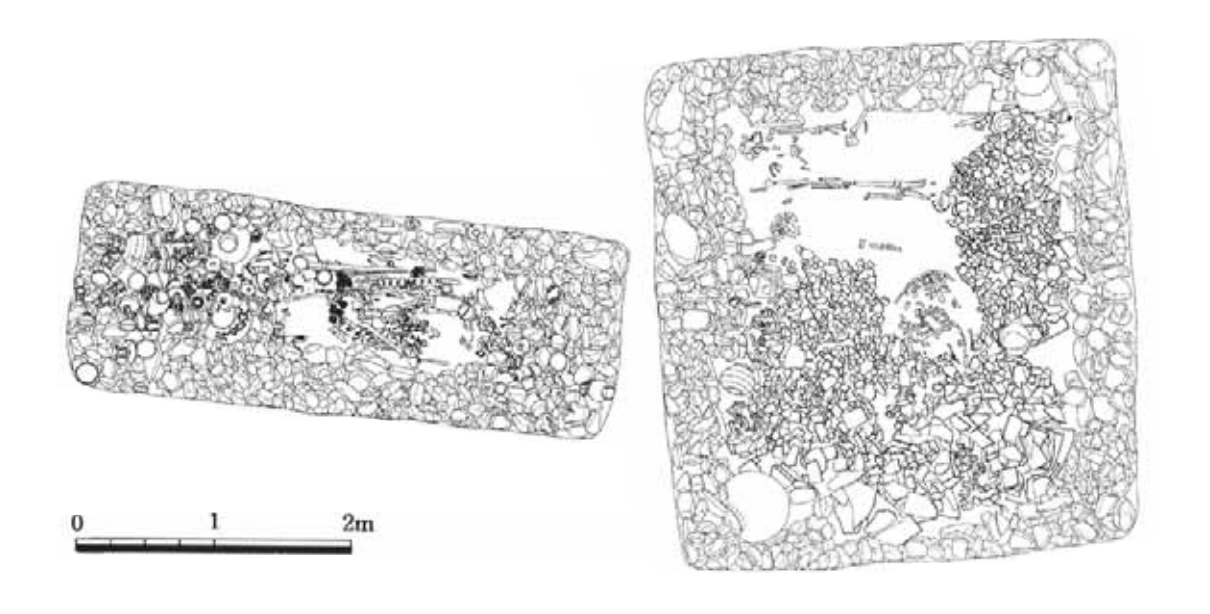






30 () C -1 ()

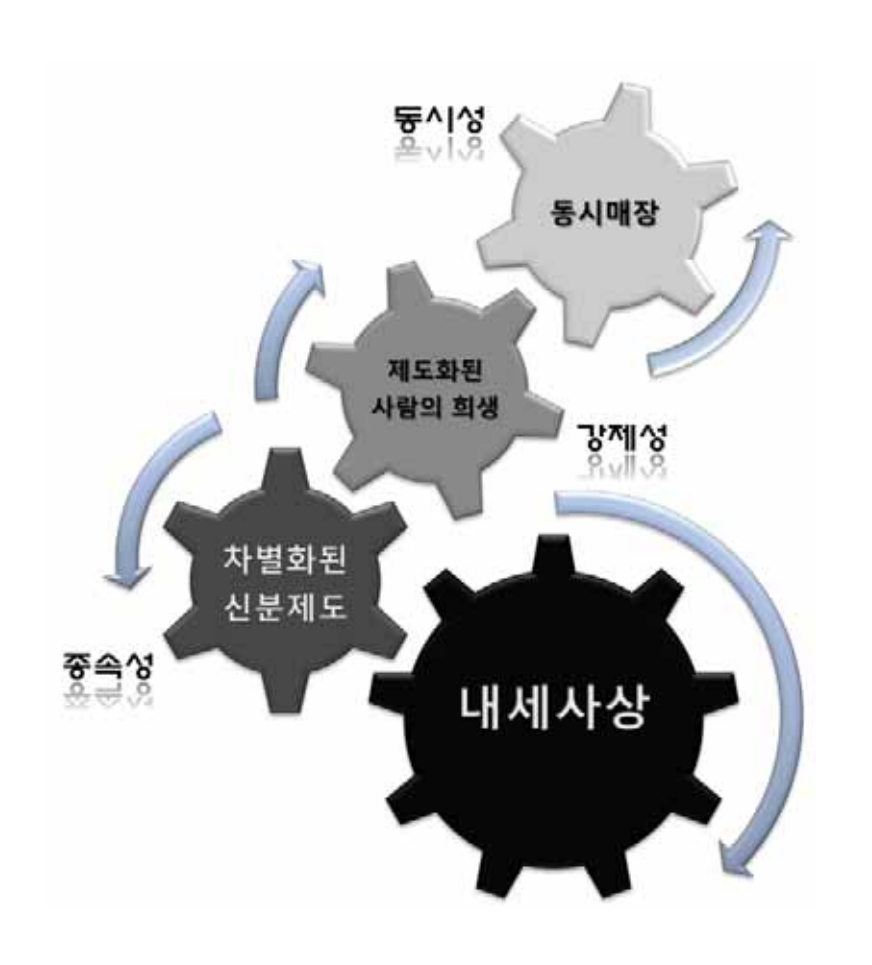




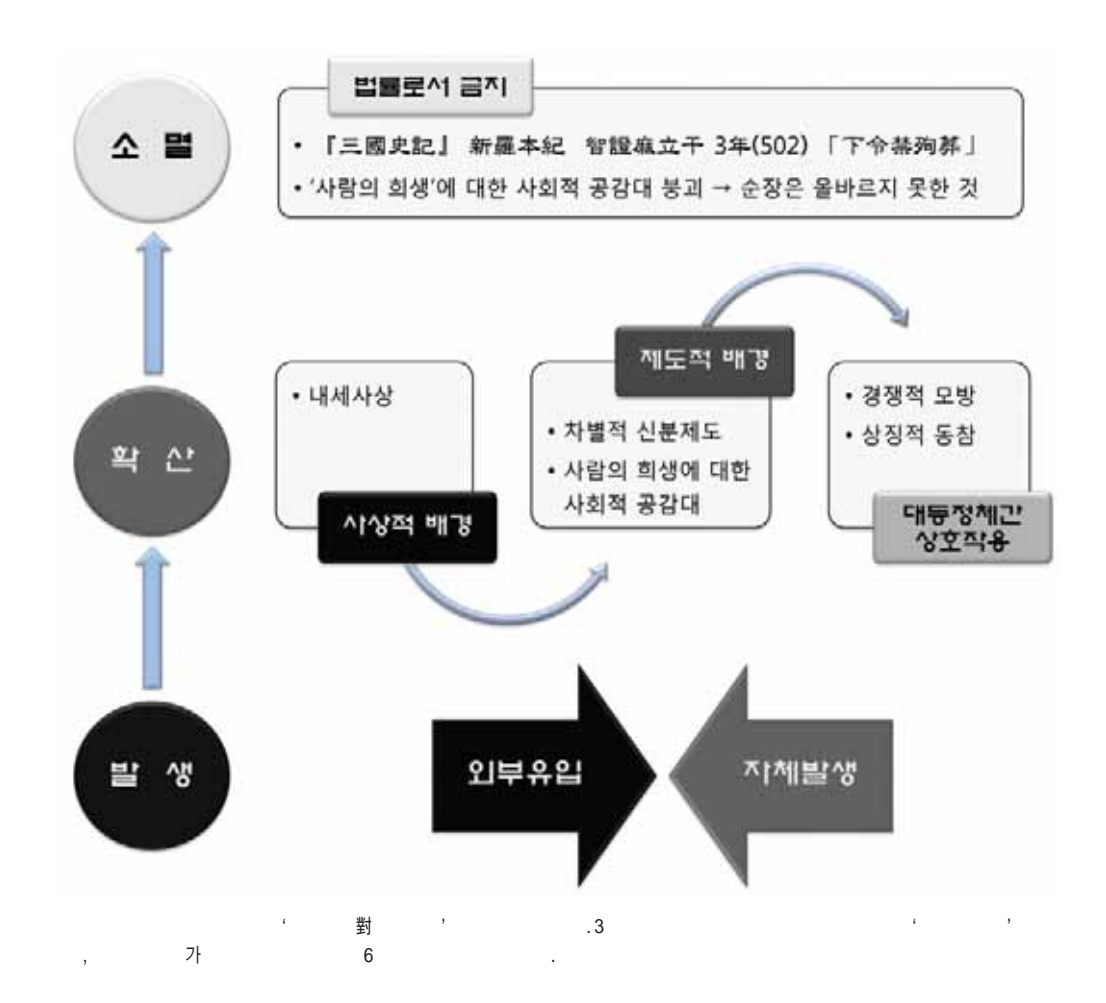
金海 大成洞· 良洞里 東萊 福泉洞 咸安 道項里 昌寧 松峴洞 池山洞 慶山 가 가 堂 墓祭 (高崇文 2009)3, 殷代 殷墟 王陵區 殉葬槨 가 武官村北地 260 公共祭祀地域 土壙 殷代 殷墟 가 郭家庄 52 南區 馬車坑 西周代 河南 鹿 가 邑 太淸宮 長子口墓 가 가 人殉

, 가 .

(高崇文 2009).



7)(朱容立 1988, 權五榮 가 1992, 金世基 2003, 金秀桓 2005). 가 가 가 (權五榮 1992). 殉殺• 生死與奪• () 가 가 가 .))가 가 . 高句麗本紀 東川王 22 (248) 條 '殉死' 對 가 social stigma 가 加耶 가 對 가 (申敬澈 1989 - 1992 -俗 가 2000, 李在賢 1994). 3 陶質土器 (6), 가 銅鍍 • 鐵製甲 騎乘用 馬具 9) 毁器 12) 近侍 者・ 가 가 高句麗• 百濟 가 夫餘 가



(崔鍾圭 1991, 洪潽植 1998, 辛勇旻 2000). ,

가 가

가

, 가

· 가 ¹⁴⁾.

フト フト 対等政體間 相互作用 peer-polity interaction ¹⁵⁾

가 , (權鶴洙 2003). 가

, . 가 가 가 ¹⁶. 가

가 가 가 가 가 가 502 가 가 가 18) 가 가 가 가 가) 戰國時代 周代 諸侯國 秦獻公

> 사상적 기반 사상적 기반 사용적 기반 사용적 기반 원리 전체적 기반 원제적 기반 원제적 기반

97

384

가 가 20) ·가 가 21) 가 가 5,000 가 가

가

對 , 3 6 가 가 가 가 1) (人柱) (Tenochtitlan) (1487) (80,400) (Iphigeneia)

 4) 97
 , (周

 代) 가 가 (殷代)
 .

5) (東	(夷)	『 (三國志)	』 (魏書)			가		
(東夷	(夫餘條) 「殺」	人殉葬 多者百數 厚葬 有槨無棺」		가		가		
,	, , , ,		首百數''					
	, ,	, »,	3 H XX		•		가	
	_,			_,		,	71	,
	009 7 7 가	•		가				
P	(三國史記)』 (高	高句麗本紀) (東川王) 22 (248	3)「王薨 葬於柴原					
號曰 東	[川王 國人懷其恩德 莫不哀傷	易近臣欲自殺以殉者衆 嗣王以爲非禮	禁之 至葬日 至墓					
自死者	甚多 國人伐柴 以覆其屍 遂名	7.其地曰柴原。						
		(古朝	鮮) (高	12)	29	(大	形單獨槨式墓) 1	
一両面)				가		3	,	4
句麗)	(• 1967, 權五榮 1992).	(最始發点)) '	(金秀桓 2003).		
6)		₽ _a	(新羅本紀)					
0)	(知260-1-11)	-		13)				
		三月 下令禁殉葬 前國王薨 則殉以男		3		(黑色磨研土	器)•	(赤褐色軟質土器)
焉」	. 『 (史記)	」。 (秦本紀) (秦獻公)		• (7	灰色軟質土器)・		灰靑色硬質土器)	
	(止從死) '	, (周代) (諸	侯國)	(*		淳發 2001)		
(秦)	384		(高崇文			7 7 59 2001)	,	
2009).			,		(原三國時代)			
2000).								
7)	1980	~90				_		
,				14)	가		l(pristine state)가	
71		•			2	가(secondary	state)	,
가				. 2	2 가	가		가
	가				가		(1990).
(多個	體性)	(金秀桓 2005).	가	(稻作農耕),			,	,
	(•)		(1111772471);				71
			가 .			•		가
	,			•				
8)	(橫穴式石室)	(橫口式石槨)	가	45)		,		
,	,	가		15)		•	•	
								가
		71	· (8÷ ±±)	가			(competiti	on) •
		가	(陪葬)	(competitive em	ulation) • (v	warfare) •	(transmiss	ion of innovation)
		『 』 (列傳) (金陽約	扁) 「陪葬于太宗	• (s)	ymbolic entrair	nment)・가	(ceremo	onial exchange of
大王之	陵」			values) •	(flow of comr			and ethnicity)
							(lariguage a	ind ethnicity)
				(Re	enfrew & Bahn	2004).		
9)	가		,					
	가			16\	71			
	(金秀桓 2005).			16)	가 .			,
	(1117) 11 1000).				가			가
	71							(權
	가	•		鶴洙 2003).				
	가							
		가						
				17)		3	6	
10)	-			,				
, 가								
11	•	٦١		18)				
	• ,	가		. •,				-
			,	_•				
				가				
							기	
11)	가 '	,						

가

가

가 , 가

15 가 가 가 가 가

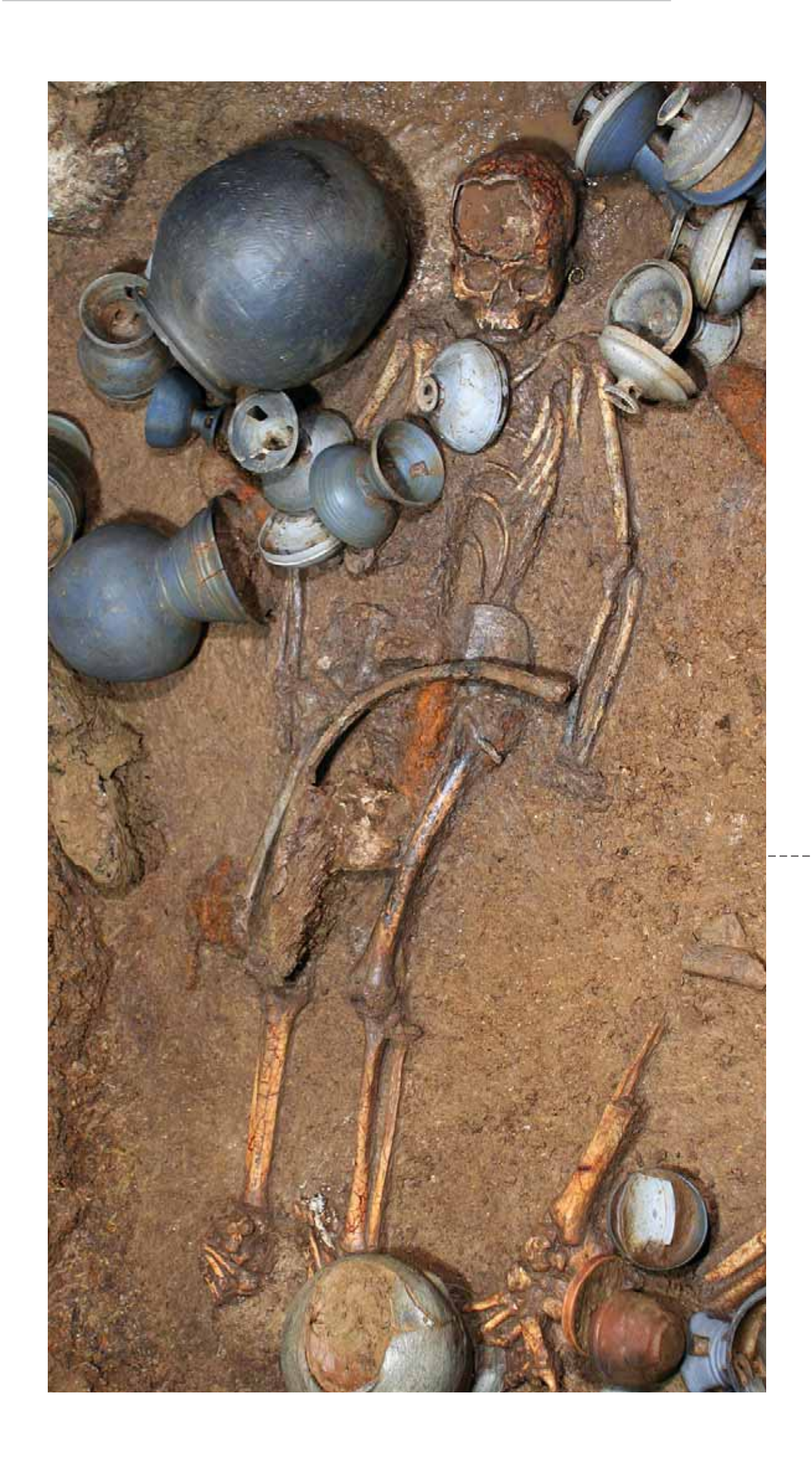
가 2008 1 31 , 2008 4 4 가 context 가 가 skeletal remains

15 가 가 2003

가 commingle 가 가

forensic anthropology physical anathropology* 가 biological profile

가 ,



. 50cm 7



. 4 • 3

.

, 가 . , 가 가 .2008 4 3 15

4 • 3 , Full HD

15

. 가 가



가 44-03 가 가 가 , 3 가 . 44-03-003 3 가 . 가 가 82 • 72 • 73 • 74 . 82-04 82-04-001 가 가 skull fragments ' (CT) 가 가 50cm (30~31). . 74 (64

```
(CT · coumputed
                           3 • 4
                                                           tomography)
                            , 가
                                                             가
                                      3 • 4
 commingled
  1 · 2
                                              44-03
              34-02
                                                                                                               가
           가
                                   가
                            U(undetermined)
              가
                         22-01
              , 가
              가
                                                                           65
         가
                                                                  157
                                                   가
3~4
                                                                                                     2008 9 5
          8
  65
                                                                                                       가
                                                                                           가
  2008 7 3
                   가
                                                                                   Standard operating procedures
                                                                           가
                                                                                           Hawaii
                                                                                                    Hickam
                                                                                                        FBI
                                                                                           , 4 • 3
               22-01
                                                                        15
```

기

22-01

. 34-02

가 21 14 22 23, 33, 24, 34 34 가 가 가 가 가 가 가 가 가 , 가



· , 가 .

. HI • EA • FTIR

.

가 . 가 가 .

按平尹 , 楊州 , 大田 議龍山 鶴峰將軍

2003). 가 가 .

, 가 . 가 가 . 가

.
Bog people 가

Bog people 가 , 가 .

) ((~10⁻¹²‰) TL/OSL(thermoluminescence/optically stimulated luminescence) 가 ¹⁴C 14**C**가 ¹⁴C 50,000 2005). 가 가 14**C** 가 activity, At $A_t = A_0 \exp(-\lambda t)$ $t = -\frac{1}{\lambda} \ln \left(\frac{A_t}{A_0} \right), \quad \lambda = \frac{0.693}{t_{1/2}}$ $\therefore t = -8033 \times \ln \left(\frac{A_t}{A_0} \right) yr$ 가 1950 14CO2 (before present) . 1950 photosynthesis 000

Oxalic acid (NBS OXALATE SRM4990C)

2000).

가

 $t_{1/2}=5,568yr$

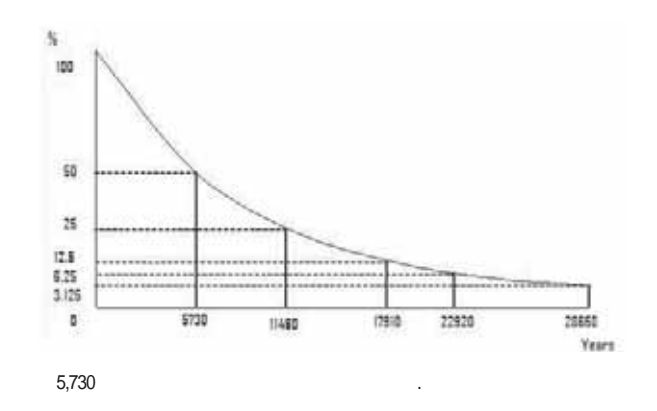
가

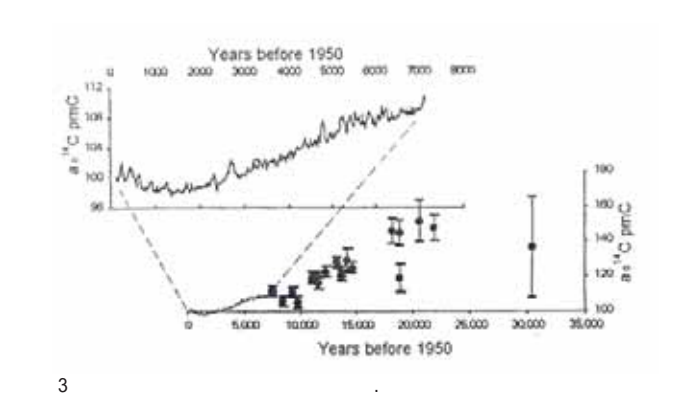
¹⁴C

ΒP

$$BP(yrs) = -8033 \times \ln\left(\frac{pMC}{100}\right)$$

$$pMC = \left[\frac{\left(\frac{^{14}C}{^{12}C}\right)_{S, corr}}{\left(\frac{^{14}C}{^{12}C}\right)_{OX-II, corr}}\right]$$





pMC(percent modern carbon)

¹⁴C/¹²C . S OX-II

. (¹⁴C/¹²C)corr isotopic

fractionation

¹⁴C . . .

PDB(Peedee Beleminte • 0‰)

-25‰ .

.

(Damon 1989)

. 19

가

¹⁴C 0.03%/yr (Suess 1955),

1950 1964

¹⁴C 가 .

가 (De Vries

1958).

calibrated curve 3

Holocene ,

U/Th IntCal04 (Reimer

et al. 2004)가 .

bone diagenesis

(FT-IR · fourier transform infrared spectroscopy)

, (HI · histological index) ,

(C.I. Smith et al. 2007).

가 .

.

. ,

	5	
	5	
15	22-01-006-01	
15	34-02-001	
15	44-03-002	
15	73-04-002	가
15	1	
15	2	

15 4 22 , 44 , 73 34

 舒川
 玉南里
 5

 (
 2007)
 가

0.5M 가 가

. 120 10 .

Millard (1993) Hedges *et al.* (1995)

6 (0 ~ 5)

가

HI 4 ~ 5

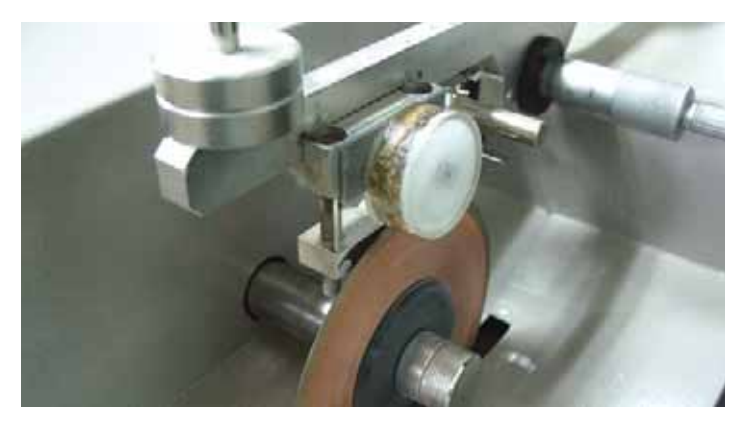
가 HI 0 (Robert E.M. *et al.* 1995).

() . 가

. 가











Index	Approximate % of intact bone	Description
0	<5	No orignal features identifiable, except that Haversian canals may be present
1	<15	Haversian canals present, small areas of well - preserved bone present, or lamellae structure is preserved by the pattern of destructive
2	<50	Some lamellae structure is preserved between the destructive foci
3	>50	Some osteocyte lacunae preserved
4	>85	Bone is fairly well preserved, with minor amounts of destructive foci
5	>95	Very well preserved, virtually indistinguishable from modern bone

^{*} HI, modified from Millard (1993) and Hedges et al. (1995), was referenced by Handbook of Archaeological Science (2004).

가 lacuna, canaliculi

cytoplasmic process,

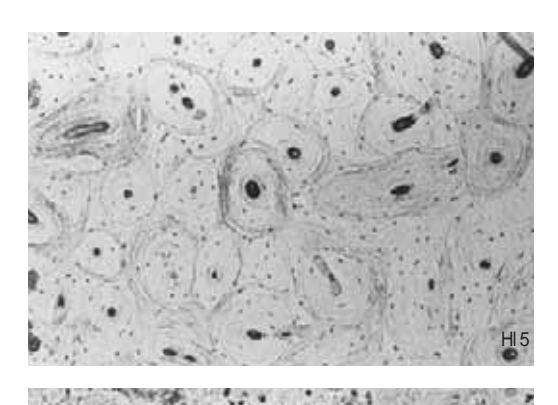
HI 4

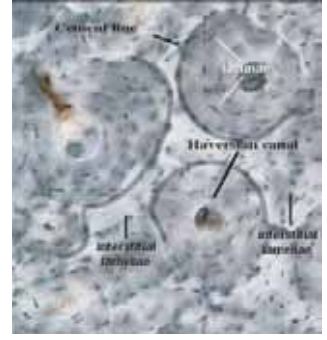
2 가 HI1

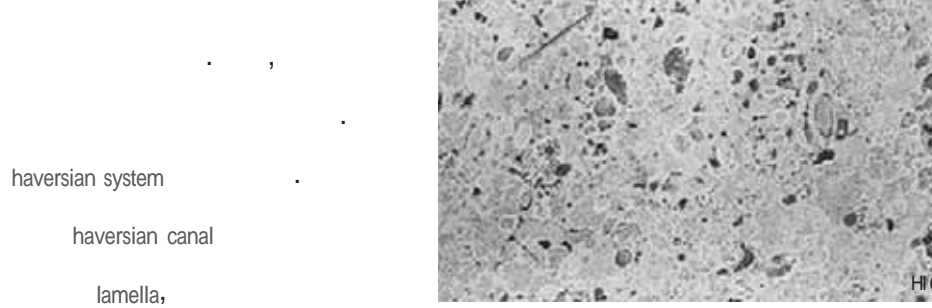
> 가 HI0 HI 4~5

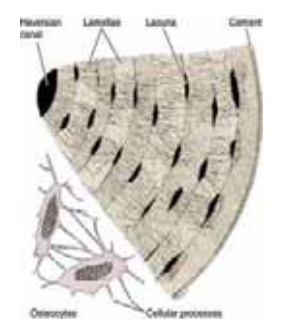
2,500

가









haversian canal

22-01-006-01(HI 1)
34-02-001(Hi 1)
44-03-002 (HI 1)
73-04-002 (1)
5 (FI4-)
5 (H/4- f)

	15		HI1,
HI4			

	5 ()	5 ()	22	34	44	73
С	14.40	12.71	3.45	3.34	3.78	3.40
N	4.69	3.94	0.68	0.66	0.73	0.67
C/N	3.58	3.76	3.92	5.90	6.04	5.92

automatic elemental analyzer

가

C, H, N, S, O

1,800

(TCD \cdot thermal 100ppm ~ 100% conductivity detector)

10mg 가

> 가 10%

> > 3%

(FT-IR)

FT-IR

12,900cm⁻¹ 10cm⁻¹ wave number ,770nm

 $1,000\,\mu m$

BI edges BE MBI 7 (%) FT-IR (Ina Reiche et al. 2003). MBI 가 FT-IR Wavenumber(cm⁻¹) Wavenumbers [cm-1] 가 FT-IR 1,640cm⁻¹ 1,540cm⁻¹, (Ca₁₀(PO₄)₆(OH)₂), 70% 1,220cm⁻¹ 20 ~ 30% 10% Type (Gianfrate et al. 2007). , , , . 1,030cm⁻¹ 565cm⁻¹, 605cm⁻¹ 가 calcite 가 가 Type 가 22, 34, Quality indicator(C/N atomic ratio : $2.9 \sim 3.5$)7 44, 73 가 가 (2009). Type 가 가 가 가 75 0.01M 16 가 22 34 NF: F1:5μm (Millex-SV filter unit, Millipore) 가 F2: (Amicon Ultra-30kDa 4 centrifugal filter, Millipore)

가





















()

					Lab	No.			¹³ C(‰)	Conventional 14C yr BP.
AMS(accel	erator mass spec	trometry)			S08-0)03-NF n	on filter		-17.8	190±40
(6mg	(CuO) 100mg,	(Ag) 1cm	5	S08-0	003-F1 5	iμm filter		-18.0	220±40
	ang -	가 muffle furnace	850		S08-0	003-F2 30k	Da cutoff		-20.5	210±40
2		가			S08-0	004-NF n	on filter		-17.8	310±40
	,	·		5	S08-0	004-F1 5	iμm filter		-16.5	220±40
	,				S08-0	004-F2 30H	Da cutoff		-18.8	270±40
		-4	40 ,	*				ndom error		
			,	1. graphite	Longin		()	combu	ustion, redu	ction
				2.				AMS	S	
		AMS .	가 AMS	3. Libby ¹⁴ C radiocarbon			³C=-25‰	BP(years be	fore prese	nts, Conventional
			catalytic reduction							
method	(Kim <i>et al.</i> 2000); Lee <i>et al</i> . 2000).	,							
(CO ₂)	(O ₂)									
, ,	. ,	(Co) (Fe)			C (%)	N (%)	C/N	C (%)	N (%)	C/N
				NF	34.78	13.74	2.95	31.66	12.30	3.00
			14 ¹⁴C	F1	34.26	13.00	3.07	38.05	14.4	33.08
	가 ¹² CH ₂	¹⁴ N	6	1. C/N : atomic	c C/N ratio.					
14	,		AMS	35%					(v	an Klinken
				1999).				30%		
									,	가
				C/N	2.	.95 ~ 3.08				•
		2						, 5μm		
									,	
		15	4	フ	ŀ					
	,		2		. 44				C/N	2.94 ~
	가			3.36	2.9 ~ 3.5					
		5μm	가							, ¹² C beam
가				current,	¹³ C				13(C AMS

가

		22	34	44	73
atomic C/N ratio	NF	3.07	3.05	2.80	3.21
atomic C/N ratio	F1	3.36	3.26	2.97	3.09

가

¹³C -19±2 or 3% (Walker 2005).

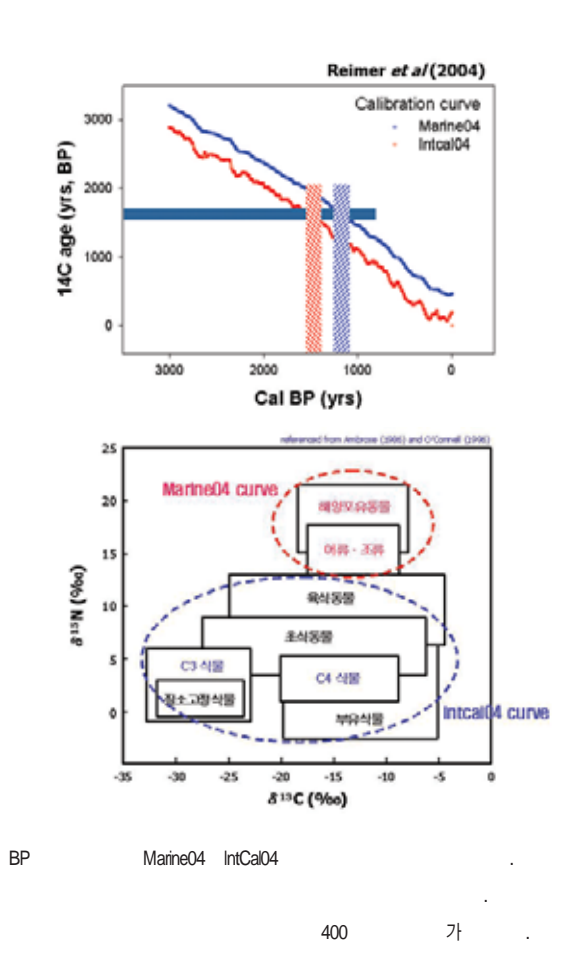
5μm

가

yield

¹³C -19‰ 가

. ¹3C (‰)



				Conventional	Calibated a	ge(BC/AD)
	Lab No.		13 C (‰)	¹⁴ C yr BP.	1 SD(68.2%)	2 SD(95.4%)
22-01-006-01	KR09-94	non filter	-8.5	2,120±70	350BC (9.2%) 310BC 210BC (59.0%) 40BC370	BC (95.4%) 20AD
22-01-000-01	KR09-94-F1	5μm filter	-7.1	1,680 ± 50	260AD (10.0%) 290AD 320AD (58.2%) 420AD	230AD (89.6%) 460AD 480AD (5.8%) 540AD
	KR09-95	non filter	-15.5	1,590 ± 40	420AD (68.2%) 540AD	390AD (95.4%) 570AD
34-02-001	KR09-95-F1	5μm filter	11.1	2,020 ± 80	160BC (5.0%) 130BC 120BC (63.2%) 70AD	350BC (95.4%) 250AD
44-03-002	KR09-96	non filter	-15.5	1,660±50	260AD (6.6%) 280AD 320AD (59.3%) 440AD 490AD (2.4%) 510AD	250AD (95.4%) 540AD
	KR09-96-F1	5μm filter	-7.0	$1,740 \pm 60$	230AD (68.2%) 390AD	130AD (95.4%) 420AD
1	KR09-98		-27.5	1,550 ± 40	430AD (68.2%) 560AD	420AD (95.4%) 600AD
2	KR09-99		-24.6	1,540 ± 40	430AD (68.2%) 570AD	420AD (95.4%) 610AD
1.		() AMS		. Longin	combustion, r	eduction graphite .
3. yrs.		(Conventional radiocarbon a	ge) BP(years before presen	(fractionation) ts) .	¹³ C=-25‰	. Libby ¹°C 8033 random error
4. Calibration	Reimer et al(2004)	Oxcal v3.10				

KR09-095 1590±408P KR09-098 1550±408P_ KR09-098 1540±408P _ R_Combine (dt=2 T=0.9(5% 6.0)) KR09-095 1590±40BP KR09-098 1550±408P KR09-098 1540±408P R_Combine_R_Com CalBC/CalAD 200CalAD 400CalAD 600CalAD 800CalAD Calibrated date 15 Intcal04 Oxcal 95% 420~560 34

· ·

400

IntCal047 . Oxcal

15

2 SD(95.4%) 420 ~ 560AD .

15 4

. 가 ,

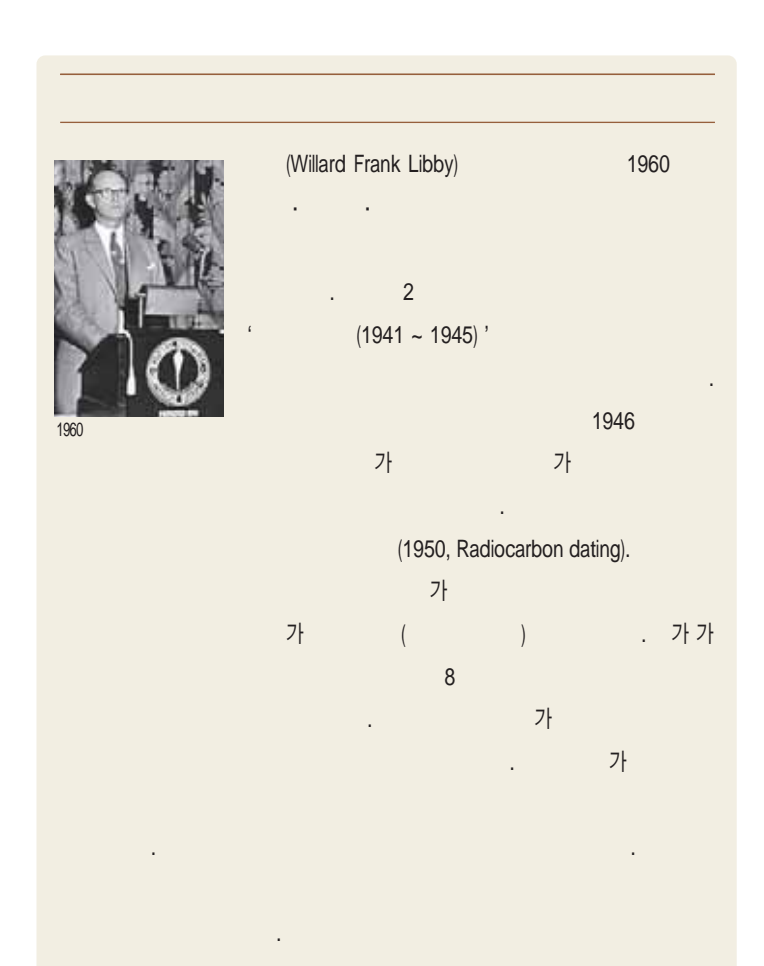
.

, 15

4 (22 · 34 · 44 · 73) 2

, HI 1

, 5μm 가 . 30%



, 가 C/N 2.95 ~ 3.08 .

. 34

. 34 가 1,590±40BP

가 . 34 2

2 SD(95.4%) 420 ~ 560AD .

IntCal04 .

, ,

.

가 ,

가 . ,

·

,

.

•

DNA 1980 가가 가) DNA ancient DNA, protein, 가 15 biomolecules가 lipid 가 . 2008 1 3 가 (2005; 2006; 2008a, b; 2009). 2008; 2007 15 1500 DNA 가 2008 가

. . .

「가

가(3) DNA (2)가

22-01-003	right femur
22-01-006	left tibia
34-02-001	right tibia
34-02-002	left tibia
44-03-001	right tibia
44-03-002	left tibia
73-04-001	right tibia
73-04-002	left tibia
	8 (4 *)

* (4)

DNA 15 4 , 12 ' 73-04 ' ' 22-01 '

가

가 DNA

가

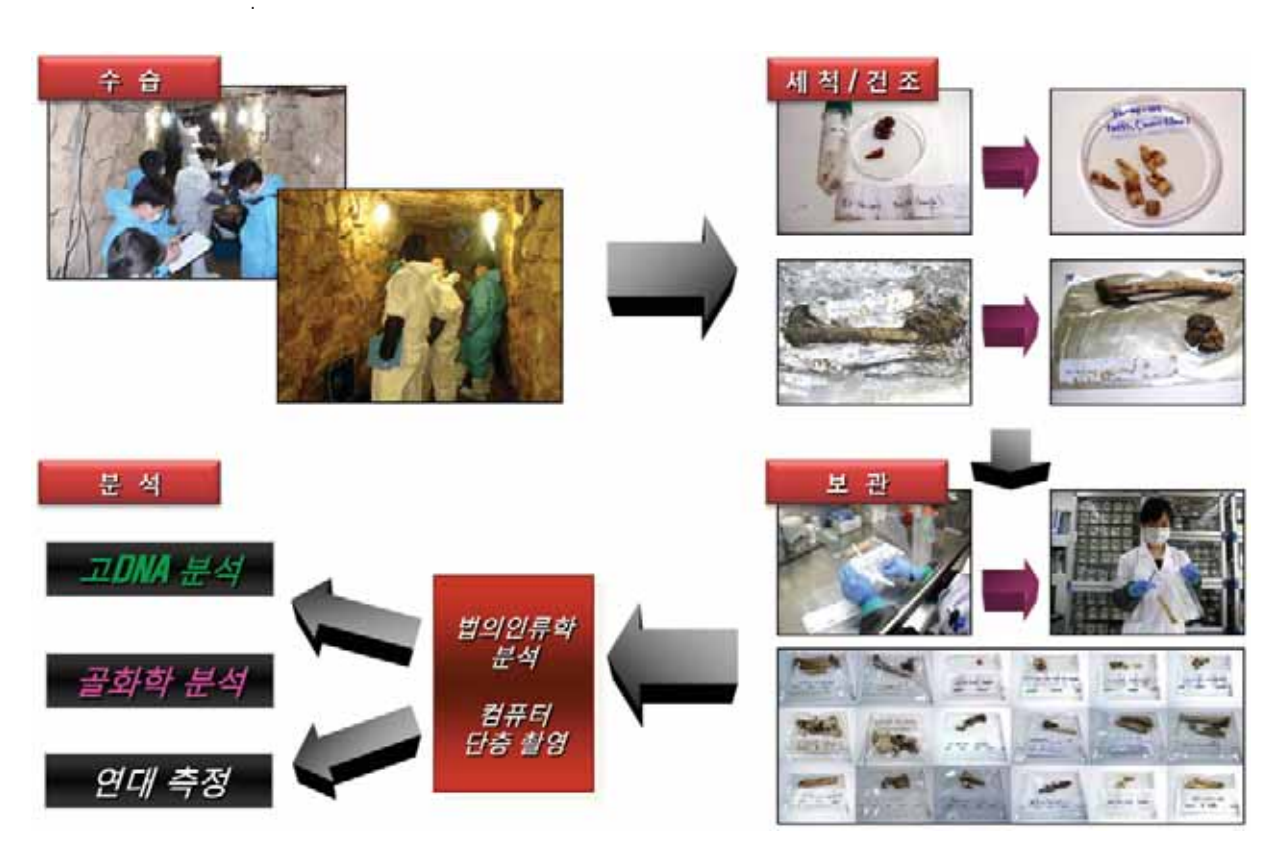
DNA

DNA (CT)

DNA DNA

DNA

40%



DNA PCR

			(5-23)	(bp)
		H1-3F	CACCATTAGCAC CCAAAGCT	470
		H1-3R	CAGGTGGTCAAGTATTTATGGT	176
		H1-4F	GCCAGCCACCATGAATATTGT	450
	10.6	H1-4R	TGGCTTTGGAGTTGCAGTTG	153
	HVR I	H1-6F	CCCCATGCTTACAAGCAAGT	
		H1-6R	GGGATTTGACTGTAATGTGCTAT	166
		H1-7F	CAACTGCAACTCCAAAGCCA	
	H1-7R	GAGGATGGTGGTCAAGGGAC	172	
	H2-1F	CACCCTATTAACCACTCACG		
DNA	H2-1R CCTGTAATA		CCTGTAATATTGAACGTAGGTGCGAT	171
	-	H2-4F CCCTATGTCGCAGTATCTGT		
		H2-4R	TCTGTGTGGAAAGTGGCTGT	165
	HVR 2	H2-6F	GGCGAACATACTTACTAAAGTG	
		H2-6R GTTTGGCAGAGATGTGTTTAAG		170
		H2-7F	CTTAAACACATCTCTGCCAAAC	
		H2-7R	TGAGATTAGTAGTATGGGAG	153
		H3-1F	ATCTTTTGGCGGTATGCACTTTTA	
	HVR 3	H3-1R	GTGTCTTTGGGGTTTGGTTG	166
X, Y		Amel01F	CCCTGGGCTCTGTAAAGAATAGTG	X=106
		Amel01R	ATCAGAGCTTAAACTGGGAAGCTG	Y=112

		DNA	DNA				
DNA			DNA	Rohland ((2007) 500mg		,
			50µl		Ü	-20	
,		1mm					
(,)						
	6%	sodium hypochlorite		DNA(mtDI	NA · mitoch	ondrial DN	NA)
15 ,	2~3	1			PCR(j	oolymerase	chain reaction)
		40		(Applied	Biosystems,	Veriti™)	
DN	IA				DNA	Ą	(HVR · hyper
(Freezer Mil	I 6770, SPEX)		variable region	n) HVR1, HV	R2, HVR3	PCR	
, DNA	collagen	-20	(DNA)		,	HotStart
			Taq(Qiagen)		PCR	12.5pmol	forward/reverse
			prime	r 2μ ℓ	1uni	t, 2.5mM (dNTP 3μl, 10×
			buffer 5μl, 1με	g/µl BSA 5µl	가	50μθ	!

. PCR DNA 95 15 , 95 20 . 58 30 . 72 30 72 10 (HDA-GT12, eGene) PCR purification kit(Qiagen) DNA (ABI Prism 3100, Applied Biosystems) revised Cambridge Reference Sequence, rCRS (Andrews et al. 1999).

amelogenin sex determination 95 20 , 50 20 , 72 30 40 72 10

DNA

DNA PCR

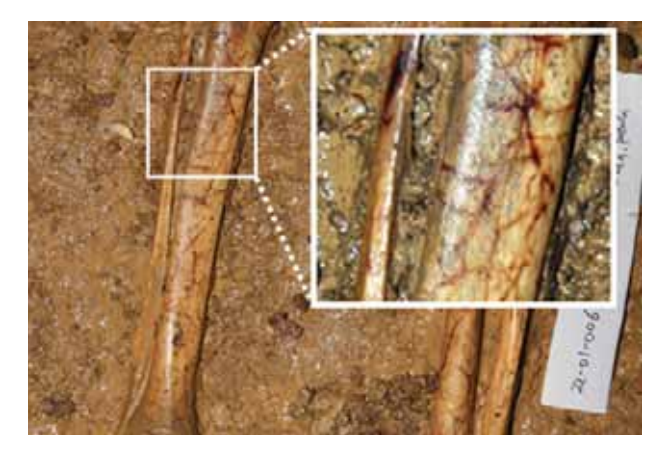
2 DNA DNA

DNA () () DNA

Login (Brown et al. 1988; Richards & Hedges, 1999).

200mg demineralization, gelatinization, lyophilization

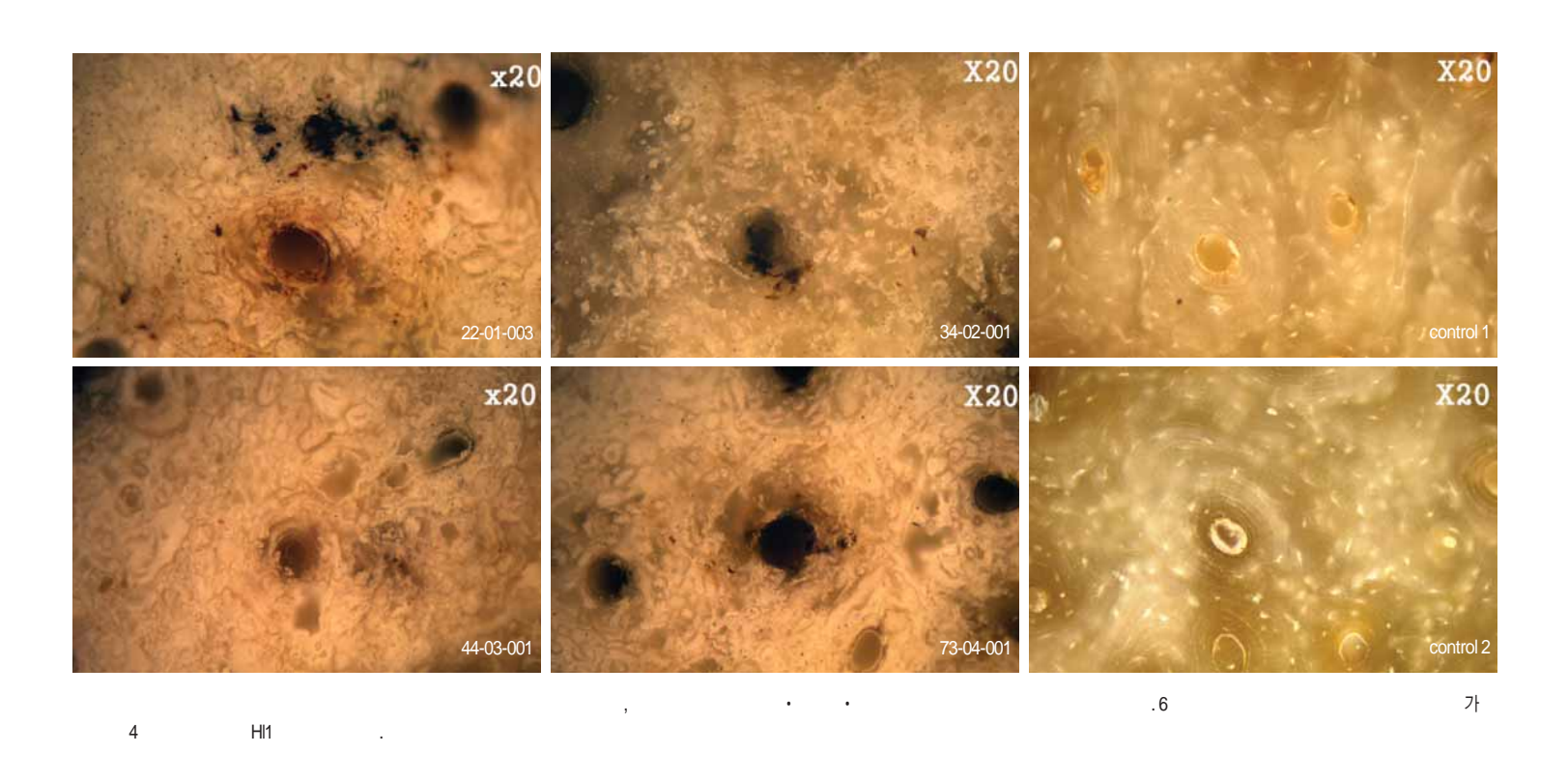








' 22-01 ' , '22-01'



CN (NA Series 2, CE Instruments)7} (BX51, Olympus)

(continuous-flow stable isotope ratio mass spectrometer with elemental analyzer, Micromass (Axiotech 100HD, Carl Ltd.) 1,030 Zeiss)

(He)

CO₂(g) N₂(g) (C) (N) (13C, 15N)

 $(\%) = [(R_{sample}/R_{standard}) - 1] \times 1000$ 15 4

R $^{13}\text{C}/^{12}\text{C}$ $^{15}\text{N}/^{14}\text{N}$, standard PDB(Peedee , 7) Belemnite), atmospheric(air) N_2 . .

Beiemnite), atmospheric(air) N₂ .

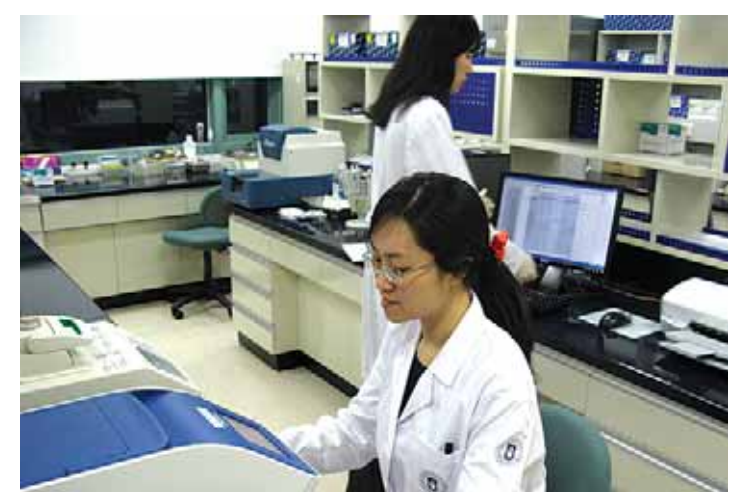
가 .

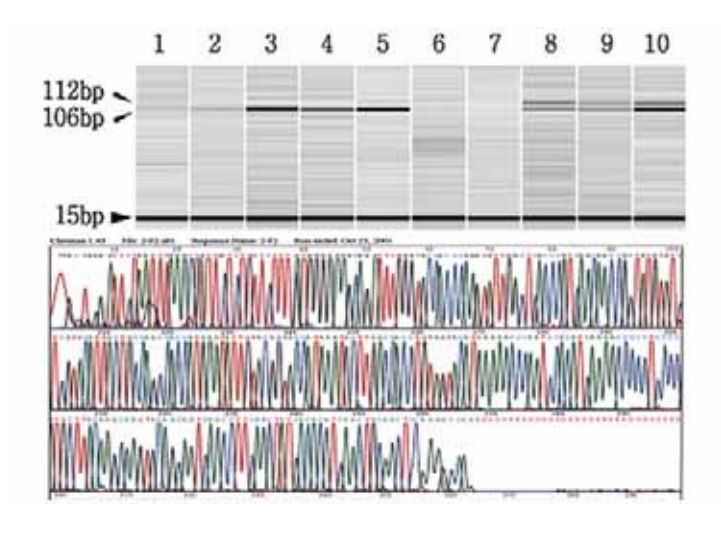
가 ,

(PBS \cdot phosphate buffered saline) .









DNA DNA (DNA), DNA ,

DNA DNA (DNA), DNA ,

15 22-01 (M cont.: , F cont.:). XY

71 106bp 112bp 71 , XX 71

106bp . 22-01 106bp

Marker 22-01-006 M cont. F cont.

200 bp ►

150 bp ►

100 bp ►

haversian system , , ,

赤松 . 가 , 15

haversian canal

가 .

(hydroxyapatite - Ca₁₀(PO₄)₆(OH)₂)

, 가 lamellae

lacunae

compact bone

osteocyte가

canaliculi

4

.

DNA

	HVR 1 (16024-16365) (+16000)				HVR 2 (73-340)			
	1-120	121-230	231-320	321-410	15-130	131-230	231-342	403-568
22-01-003	NA	223	NA	NA	NA	NA	NA	NA
34-02-001	86	183C(NA)	rCRS	rCRS	73	rCRS	263	(NA)
44-03-001	rCRS	183C 189 223	261	rCRS	73	rCRS	NA	523d 524d
73-04-001	86	183C(NA)	rCRS	(NA)	73	rCRS	263	(NA)

· ' C ' transversion

· ' NA '

· ' (NA) '

·' d '

· C-stretch

DNA DNA osteoblast, . 가 DNA osteoclast DNA가 DNA 1 (2n) 가 DNA 가 DNA(nDNA · nucleus DNA . DNA (1995) 6 DNA) DNA (0~-5)(HI · histological index) 가 가 가가 (Hedges et al. 1995). DNA DNA 10 가 () 20 DNA 4 haplogroup DNA haversian canal 가 ' 22-01 ' (22-01-003)' 22-01 ' 가 가 가 . 6 DNA **PCR** 가 4 HI1 ' 22-01 ' control 1 2 가 HI 4 (22-01-006) 가 DNA 가 . 가

DNA

	DNA			¹³ C(‰)	15N(‰)	%C	%N	C/N	(%)
:	가	,	22-01-006	-17.4	9.1	39.7	14.2	3.3	2.7
		. , ' 34-02 ' ' 73-	34-02-001	-18.1	9.4	40.5	14.3	3.3	1.6
04 '		가	44-03-001	-18.5	9.84	0.1	14.1	3.3	2.4
	, 가	가	73-04-001	-19.5	12.64	0.8	14.1	3.4	0.7
DNA ' 34-02 ', ' 73-04 ' B4	'34-02 ',' 16086 '44- 가	44-03 ', ' 73-04 ' 7	16.0 ¬ 14.0 ¬ 12.0 ¬ (%) N 10.0 ¬ 8.0 ¬ 4.0 ¬ -24		-22	-20 δ¹³ C	44-03 34-02 22:	-01 -16	-14).
Υ	, X Amel01F Amel		·				가 , C4	PEP	
106bp, Y	112bp		С	3			13 CO 2		
	、 XY 기	 		С	3		4~-22‰		
106bp 112bp	가	, XX	, C ₄	13(9‰ C₃			
가	106bp		Сз	,	, ,	,			
' 22-01 ' ,	106bp		, (C4 ,		, , (, 가	, , ¹³ C가 Ambrose	1990).	5‰ ¹⁵ N
CAM .	. C ₃	C ₃ , C ₄ ,		被食者		捕食者 Iges and F		'† 3~5‰ 007).	·
cycle .	, C ₄	PEP		(C	/N) '		フ	· ,	
(PEP carboxylase)		4	(2	2.9~3.6)		(DeNi	ro 1985)		

```
0.7~2.7% '73-04-001' ' 가 '
(1~20%)
                      (van Clinken 1999),
             6%
                                                                 15
                                                      가
                                       ¹³C -19.5∼
                                                                                   가
-17.4‰
                             ^{13}C=-18.4 ± 0.9‰
                                                                 ' 22-01 '
                                                                                가 가
Сз
                 C_3
                                                                   가
                                                                                 3
                                                                               . '22-01'
                                             ^{15}N
                                                         가가
9.1~12.6‰
                                ^{15}N=10.2 ± 1.6‰

    DNA

                                                                                         가
                                                               가
 가
                    가
                                 가
                                                        가
                                10km
             가
                                                                                           가
                                                         . DNA
 ' 73-04 '
                                           ( <sup>13</sup>C=
              3
-18.0 \pm 0.6\%
           ^{15}N=9.4 ± 0.4‰)
                                    <sup>13</sup>C
                                            1,2‰
   , <sup>15</sup>N
                                             가
              3‰
                                    ' 73-04 '
                                                                                   4
   3
                                                                                  가
                                             Сз
                 가
                                             가
   ' 22-01 '
                                                                                               가
                              ' 73-04 '
                 가
          C_4
                                                                               DNA -
                                                           가
                         15
                                                            가
                                                                       가
                       가
                                                                                     가
                     가가
```

2 15 가 가 가 .

. . .

. 1

10 , 4 , 7t , 7t , 7t , 4

(MNI · Minimum Number of Individuals) (GMT · Grand Minimum Total)

. 65 가 , , 157

= MAX (L, R) = L + R - P L: , R: , P:

10 (31).

1 .

. 가

,

. 가 가 가

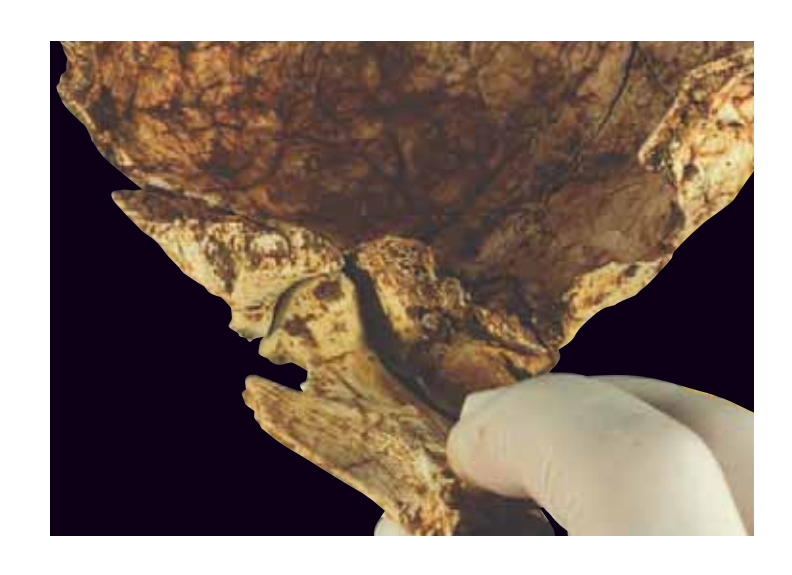
가

가

4 4 2 3 2
1 1 2 1
1 2 1
2 3 2
2 2 2
4 4 4 4
4 4
4 4
4 4
4 4







 $(31 \cdot 41 \cdot 42 \cdot 72 \cdot 82)$ $(34 \cdot 44 \cdot 73 \cdot 74)$ $(34 \cdot 44 \cdot 73 \cdot 74)$ 34 · 44 · 74 73 $(31 \cdot 41 \cdot 42 \cdot 72 \cdot 82)$ 가 82 - 72 73 · 74 가 82 · 72 · 73 · 74 32 - 41 - 42 , 34 • 44 가 가 34 44 U(undetermined) U1 U8 32-U1 가 , 42-U3 32-U1 (42-U1) 42-U3 가 32-U1 32-U1 42-U3가 34 32-U1 · 42-U1 · 42-U3 · 34 42-U2 32-U1 . 41-U7 42-U3 42-U2

. 42-U6





32-U1 · 42-U1 · 42-U3 · 34 42-U2 · 41-U4 · 42-U6 · 41-U7 · 44 82 · 72 · 73 · 74

가

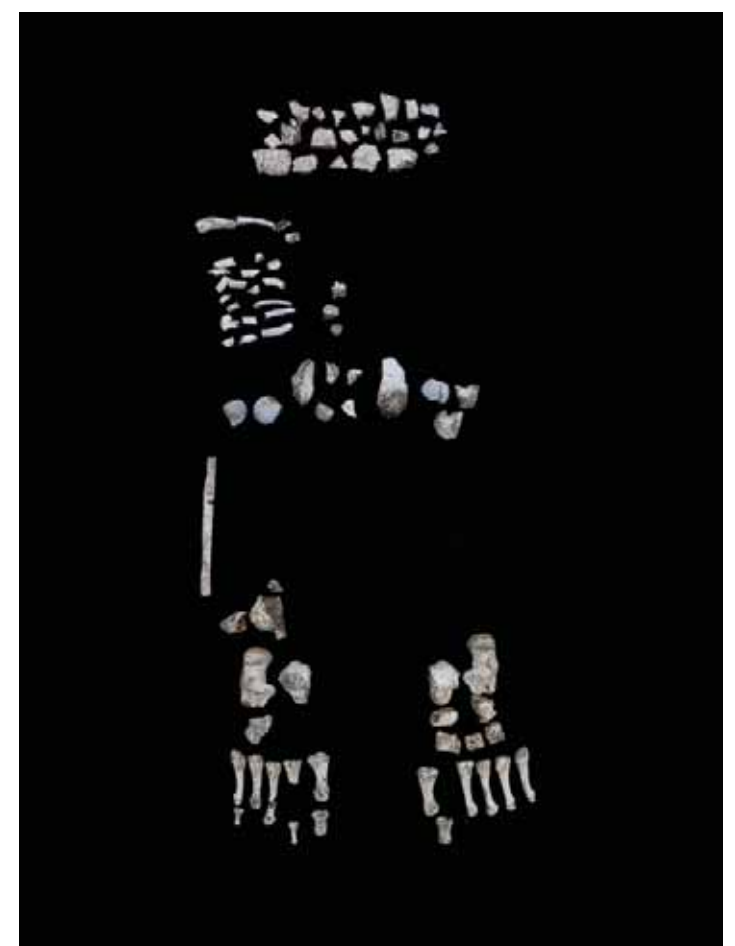
. 41-U4 . 42-U2 · 41-

U4 · 42-U6 · 41-U7 42-U2 · 41-U4 · 41-U6 - 41-U7 - 44 15



가

74



74 15 가 , 2 가 , 3 가 가 가 가 , 3 가 , 3 2 가 가 . 가 가 가 가 가 가

most likely number of individuals

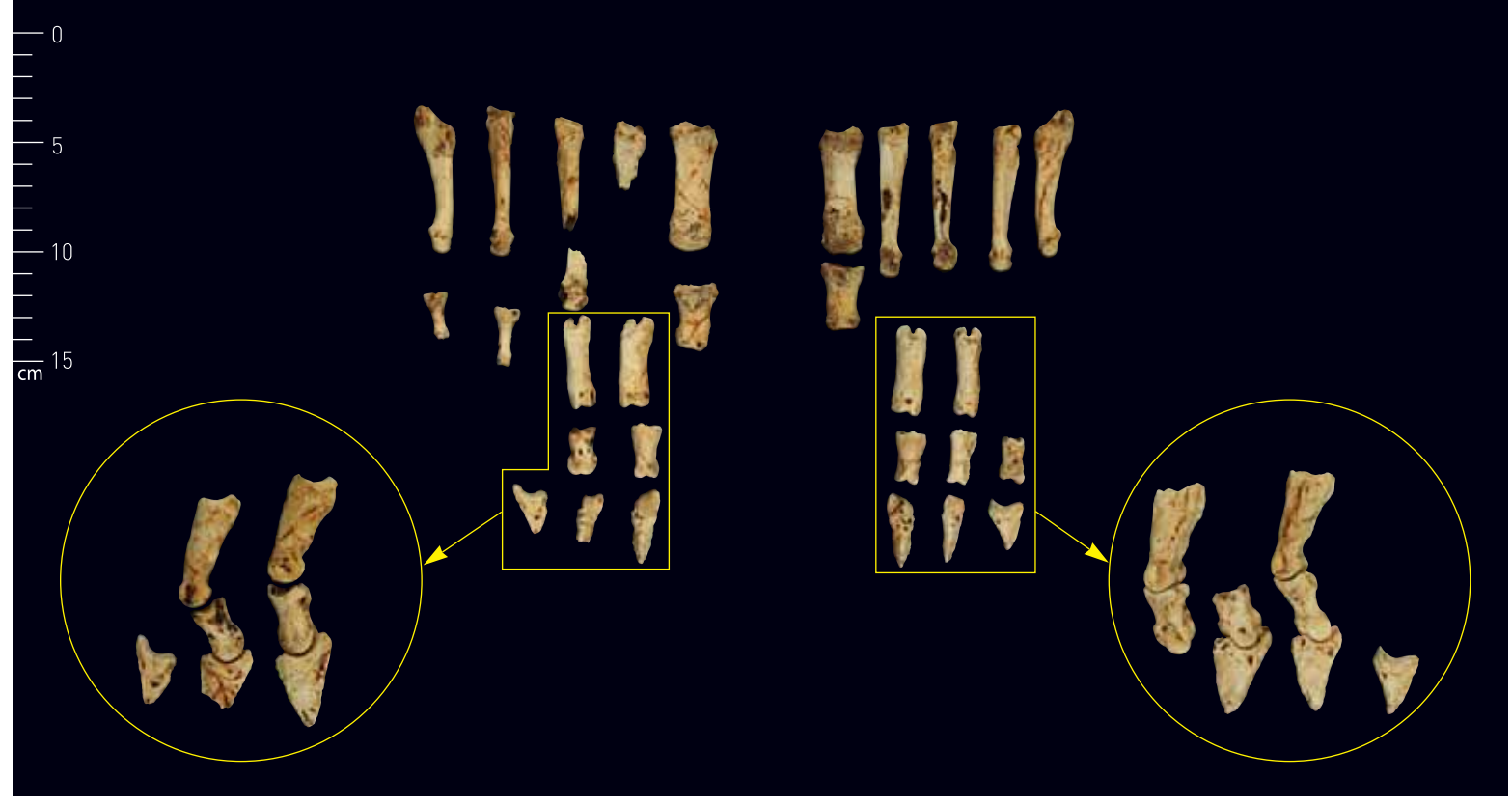
Lincoln index

63

가









. 가

가 가 22 $=L \times R/P$ 가 $= [(L +1) \times (R + 1) / (P +1)] + 1$, P: . 32 · 41 · 42 가 가 가 가 74 가 가 가 , 32 -41 - 42 15 2 4 , 42-U5 가 42-U8 가 , 74 가 | 가 , 가

42-U5 • 42-U8



가

가

가



• • •

. 4 - - - 15~17

가

•

가 .

.

, ,

, 4

82 · 72 · 73 · 74

. , nuchal crest, mastoid process,

supraorbital margin, glabella ,

mental eminence , greater sciatic notch, subpubic angle, preauricular

sulcus, 가 ischiopubic ramus .

가 talus

•

suture closure , epiphyseal closure

가 non-metric method metric method , , 가 가 , Forensic Anthropology Data Bank 가 .











82 · 72 · 73 · 74

42-U2 • 41-U4 • 42-U6 • 41-U7 • 44

가 .

가 .

フ











32-U1 • 42-U1 • 42-U3 • 34

, 가 .



22



가 ,



32-U1 • 42-U1 • 42-U3 • 34

가



mental eminence7 가 15~17 22-01 adolescent Trotter(1970)가 가 38.7 cm 152.0cm~159.6cm postcranial skeleton , 22-01 porotic hyperostosis bone remodeling bony reaction 22-01 porotic hyperostosis 22-01 가 . , 22-01 가 22-01 bony reaction bone remodeling 2 가 soleus 가 가 가 가 가 가

가





 (parietal bone)
 (porotic hyperostosis).

 .
 7† (soleus muscle)
 (bony reaction).

, 4 , 22-01

1 primary interment . , 15-17 가 ,

· 가

가 .

, death due to injury
가 . natural death가

, death due to poisoning

death due to fatal neck compression가 가

. 2 4 ,

.





39.05~42.38 ,

, 가 ,

16.03~16.65

가 (1991) Lee (2009)

. 22-01 .

.

가 . _____

. 14 가 가

, 가

Takei 39.05 , Yun (2007) 42.38 . 기

가 , , 3 가 . ,

. ()

25 10

가



(enamel hypoplasia).





22-01

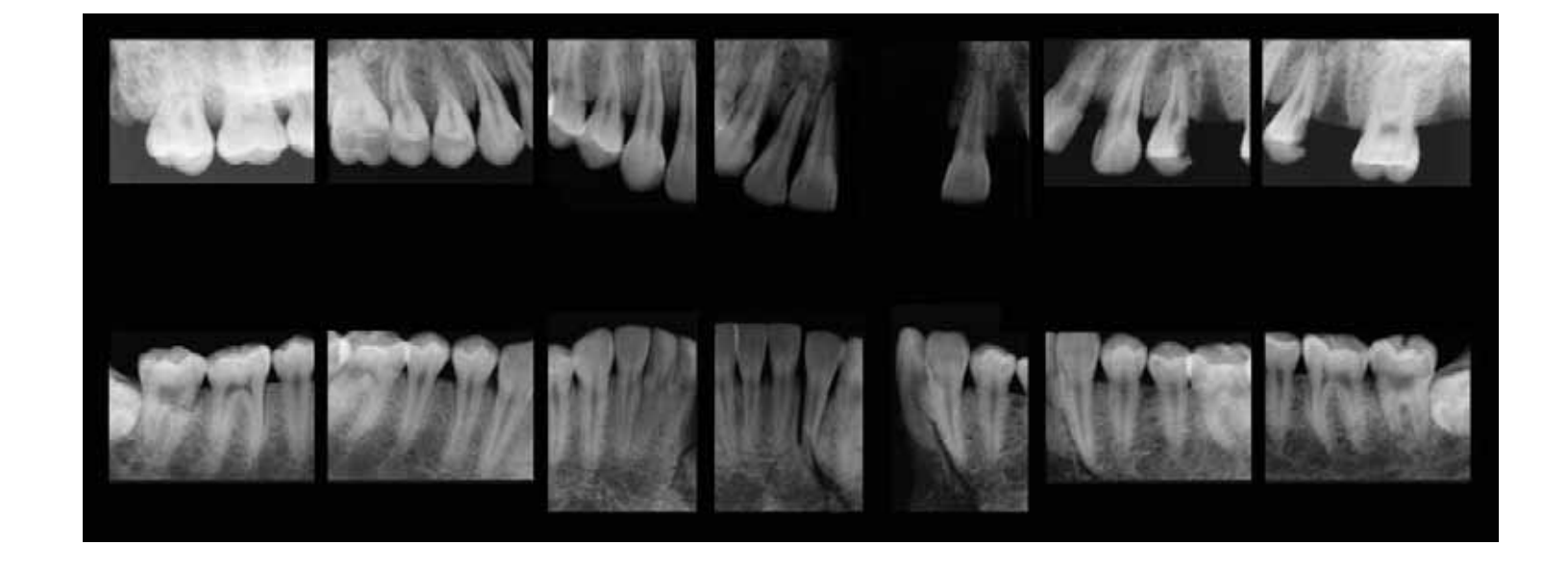
	17	16	15	14	13	12	11	21	22	23	24	25	26	27
CL(mm)	7.89	7.26	7.77	8.40	10.18	10.40	11.40	11.04		10.91	8.72	-	7.84	-
MDL(mm)	10.45	10.43	6.74	7.36	7.89	7.90	8.19	8.27	-	8.01	-	-	10.69	-
BLL(mm)	11.75	11.52	9.27	9.65	8.78	6.58	11.27	-	-	8.98	9.80	-	11.76	-
RL(mm)			-	-		11.80	10.79	11.36		13.58		-	-	
	47	46	45	44	43	42	41	31	32	33	34	35	36	37
CL(mm)	6.36	6.29	7.62	8.73	11.35	10.10	8.96	8.99	10.00	11.24	8.57	7.03	6.46	7.77
MDL(mm)	11.18	11.01	6.82	6.75	6.83	6.24	5.09	5.20	6.38	7.19	7.15	6.64	10.83	11.39
BLL(mm)	10.32	10.74	8.21	8.01	8.17	6.52	5.66	5.82	6.46	8.32	8.14	8.13	10.62	10.42
RL(mm)	-		-	-	-	-	-	-	-			-	-	11.08
* CL:		- M	DL:		· B	LL:			RL:					

(1991) 16.39 , Lee (2009) 16.03~16.65 ...

(1998)

가





39.05~42.38 가 가 가 가 , 16 16 가 Brothwell(1989) 가 22-01 . Romero(1970) 가 . B/2 . Fox(1992) 가

78

가

가



(CT) 3D 가 16 5~25% 16 152.0~159.6cm 16 2004 iceman bog body 가 (2001) 가 가 15 가 , Mimics(version 10.0, Materialise, Belgium) 3 108 가

가

3

Altair, U.S.A.)

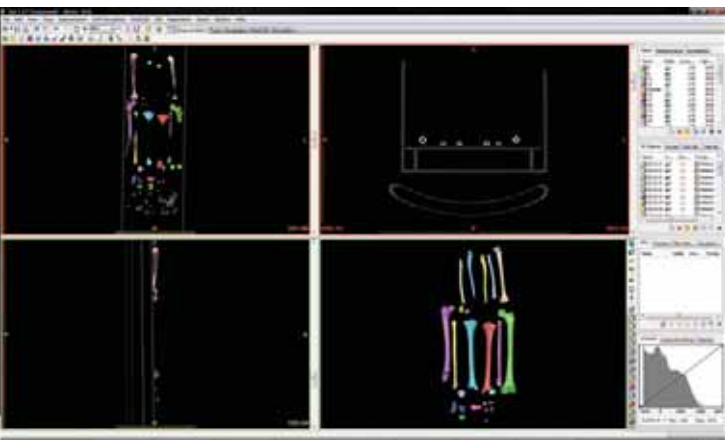
22

. 22

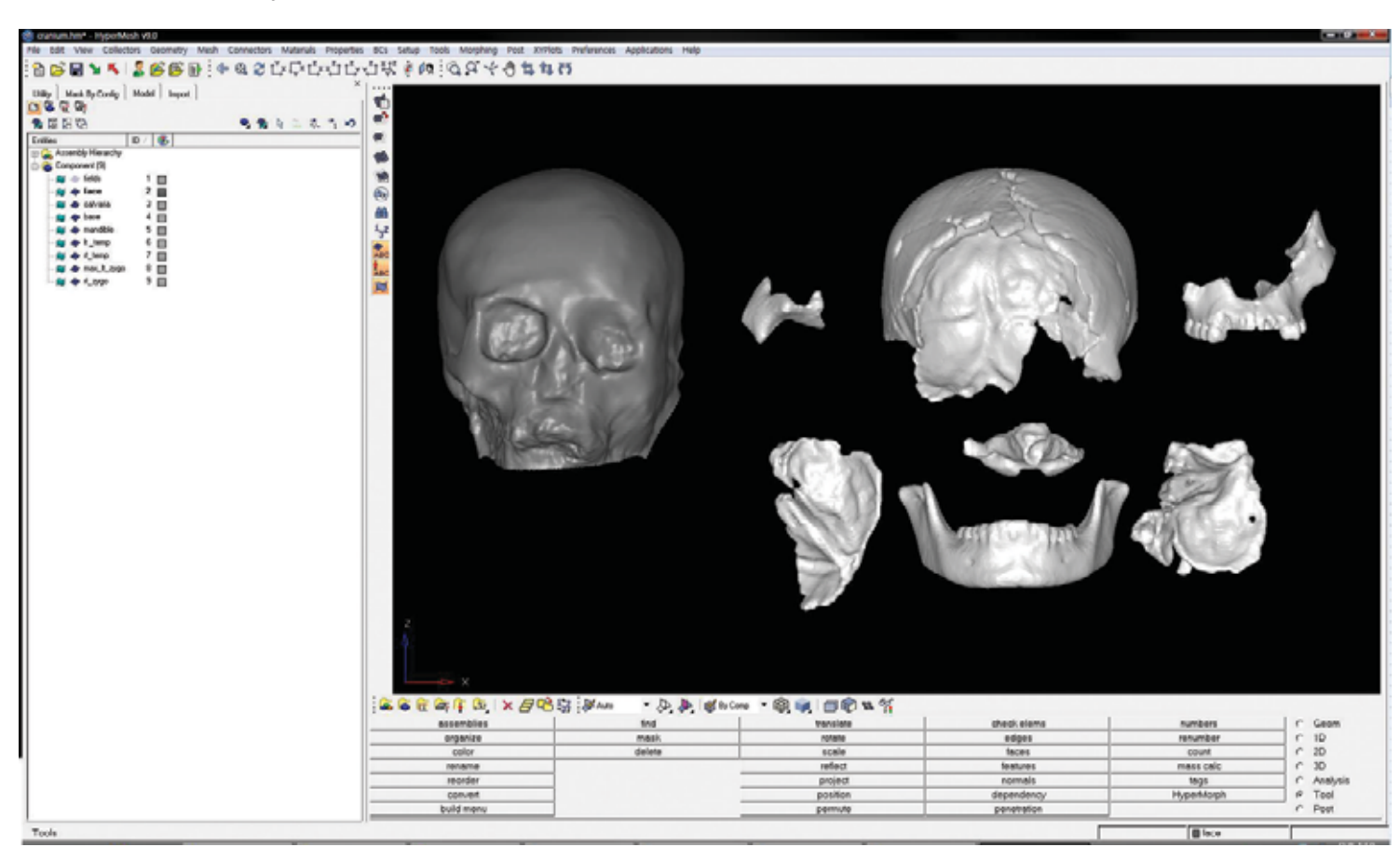
79

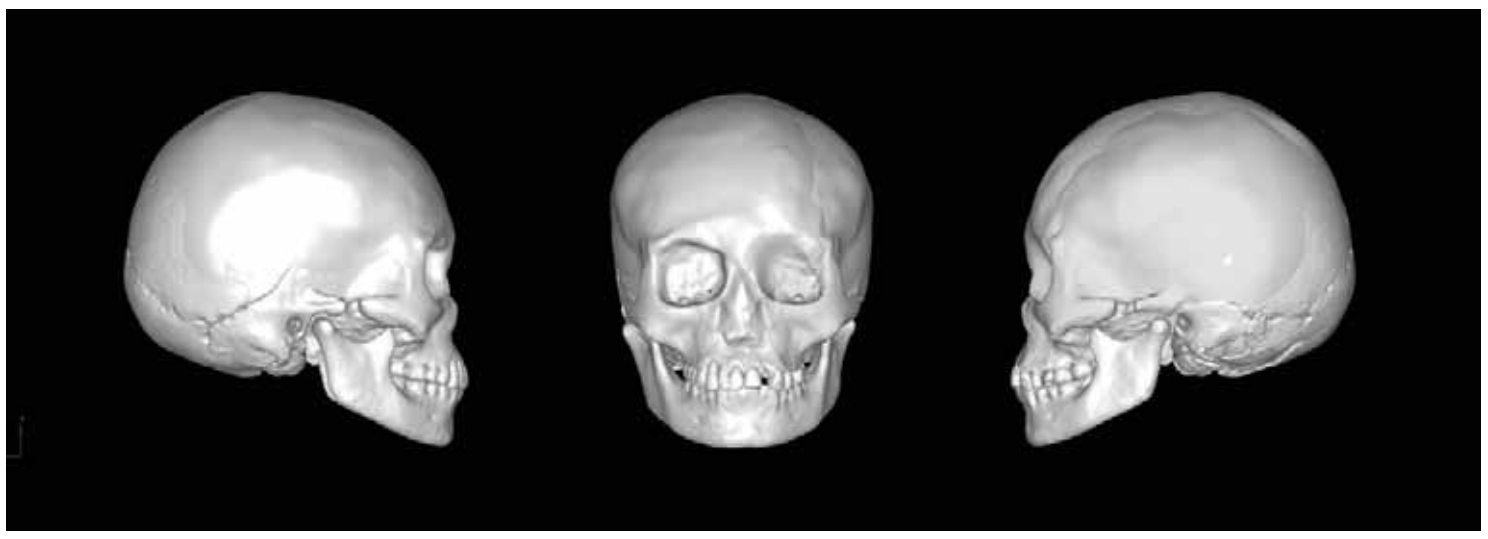
. Hypermesh(version 9.0,

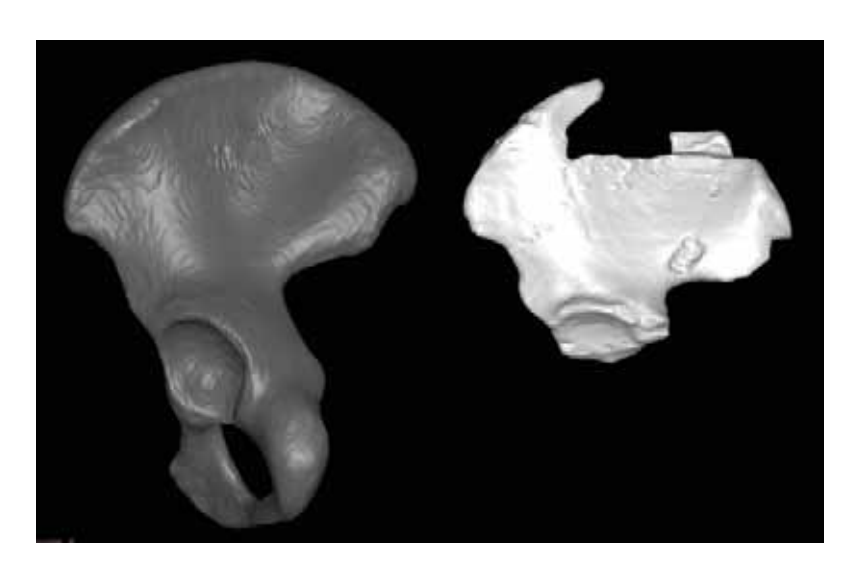




3 .









가 22 . . . 22-01 . 가 가 , 가

, ,

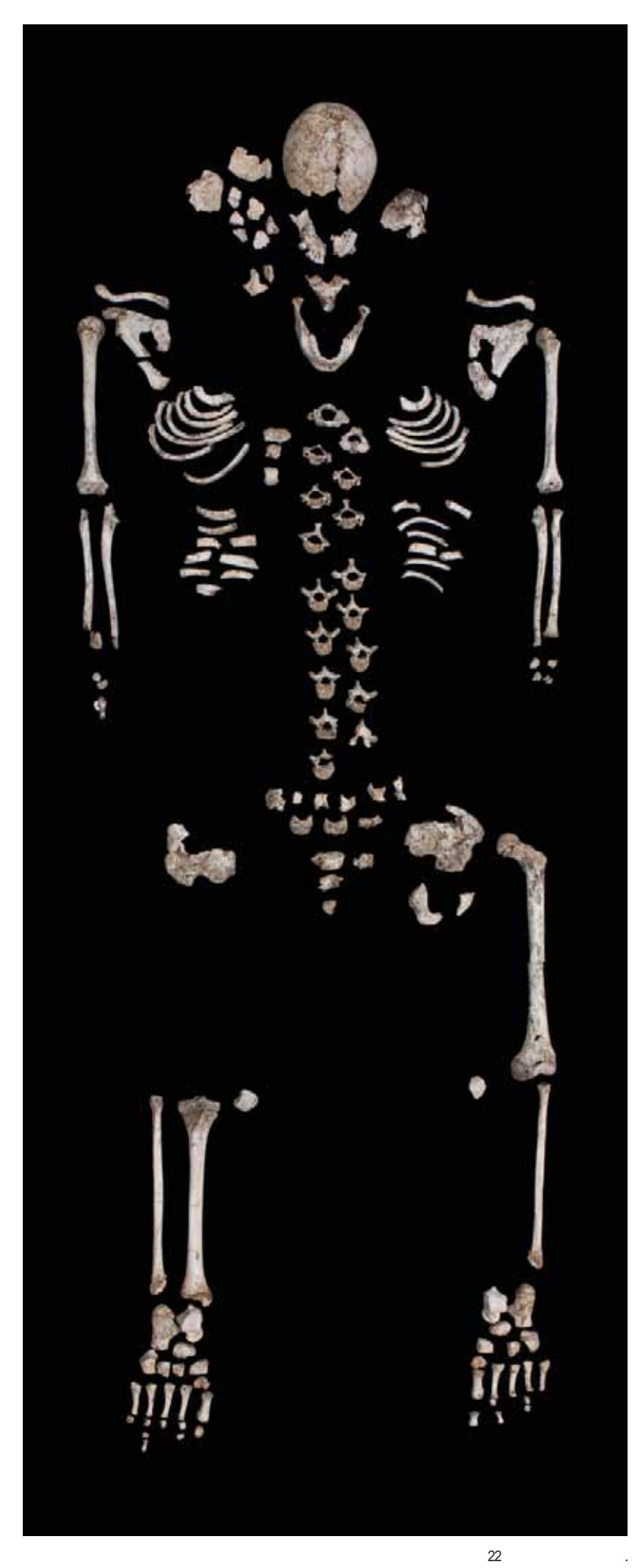
가 (KISTI)

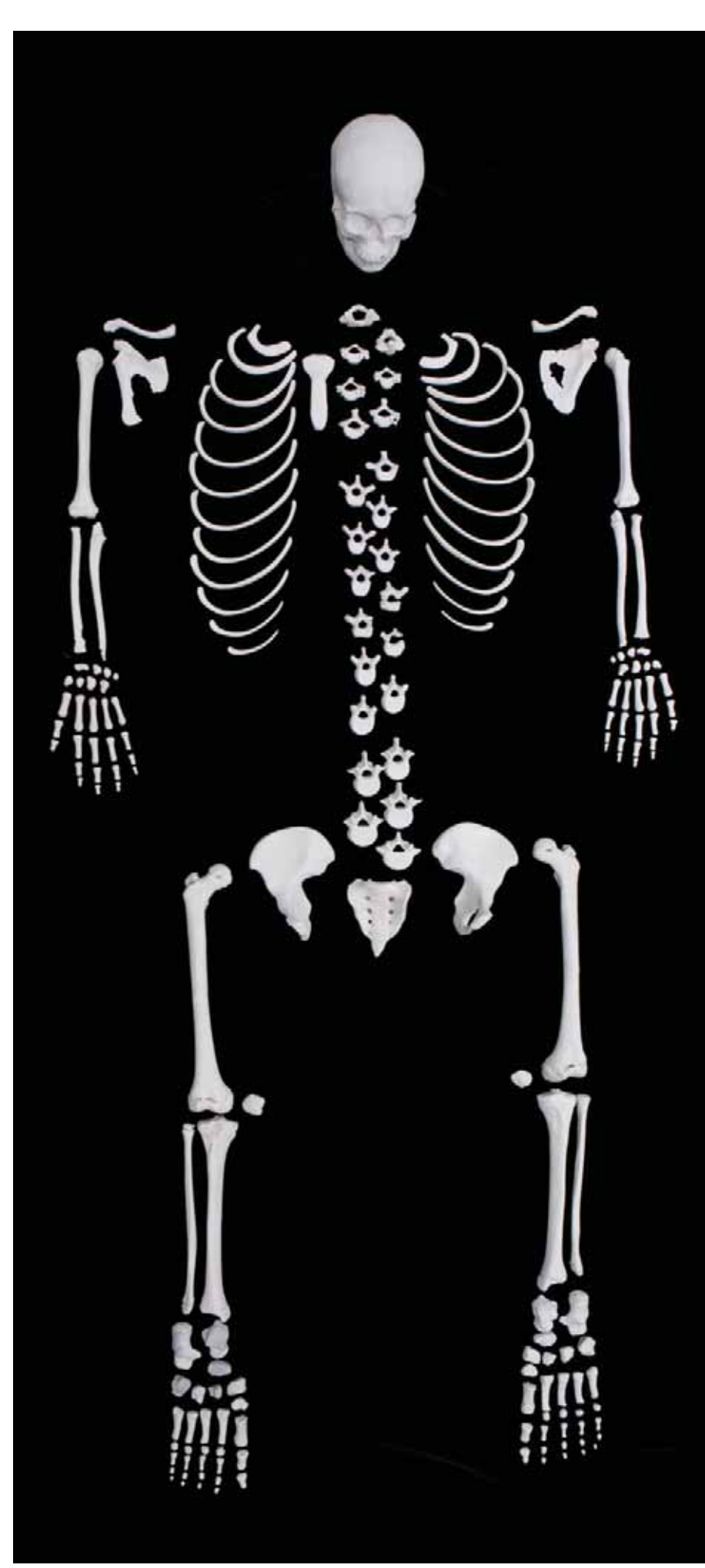
DIGITAL KOREAN(DK)

DK · ·

ok 가



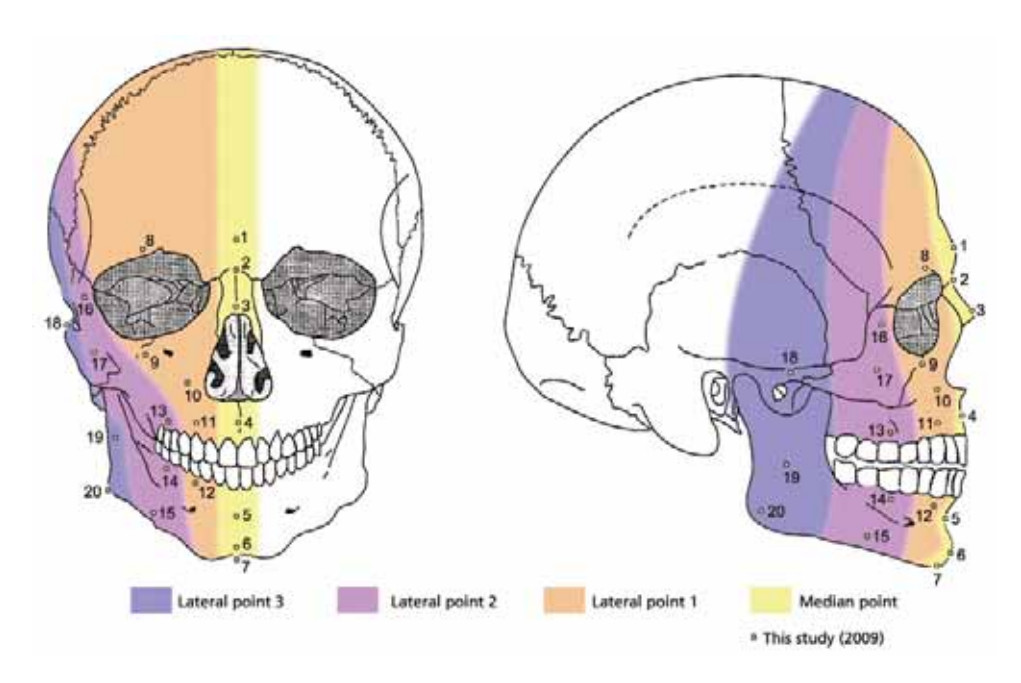


















			(20 n=40	09)	Manh (200 n=35(14	00)	Wilki (20 n=25(1	02)	Step (20	08)
		-								
	1	glabella	6.59	1.42	4.60	1.04	5.20	1.20	5.50	1558
	2	nasion	4.12	1.15	5.40	0.88	5.00	1.31	8.00	2754
	3	rhinion	2.93	0.66	1.80	0.51	2.50	0.82	2.50	719
	4	mid-philtrum	9.22	0.95	9.40	1.46	10.90	1.49	15.00	2485
	5	mentolabial sulcus	9.54	1.29	9.70	1.79	11.10	1.02	11.00	1687
	6	pogonion	8.30	1.29	8.70	1.75	11.00	1.92	11.50	3020
	7	gnathion	6.87	1.55	5.50	1.36	7.30	1.39	7.50	679
	8	mid-supraorbital	7.50	1.31	5.70	1.47	6.20	1.16	6.00	246
	9	mid-infraorbital	9.89	2.59	6.00	1.25	7.50	1.21	7.00	521
	10	lateral nose	12.78	2.04	7.70	1.78	-	-	8.00	104
mm	11	supra-canine	9.55	1.40	10.30	3.22	-	-	11.00	104
	12	supra-M1 (M2)	15.19	3.28	26.80	4.96	16.20	3.15	27.00	104
	13	infra-canine	10.81	1.44	9.80	2.40	-	-	10.50	104
	14	infra-M1 (M2)	13.81	2.53	23.20	4.58	14.50	2.84	23.00	104
	15	mid-mandible	8.92	1.93	13.40	2.76	9.60	2.19	12.50	104
	16	lateral orbit	8.15	1.97	4.50	0.85	7.80	1.52	-	-
	17	zygomatic	13.47	2.96	9.50	1.85	-	-	-	-
	18	zygion	8.47	2.69	6.80	1.88	8.40	2.19	8.00	147
	19	mid-masseter	18.23	2.63	-	-	21.50	3.91	19.50	142
	20	gonion	9.50	3.45	17.00	2.67	-	-	17.00	109

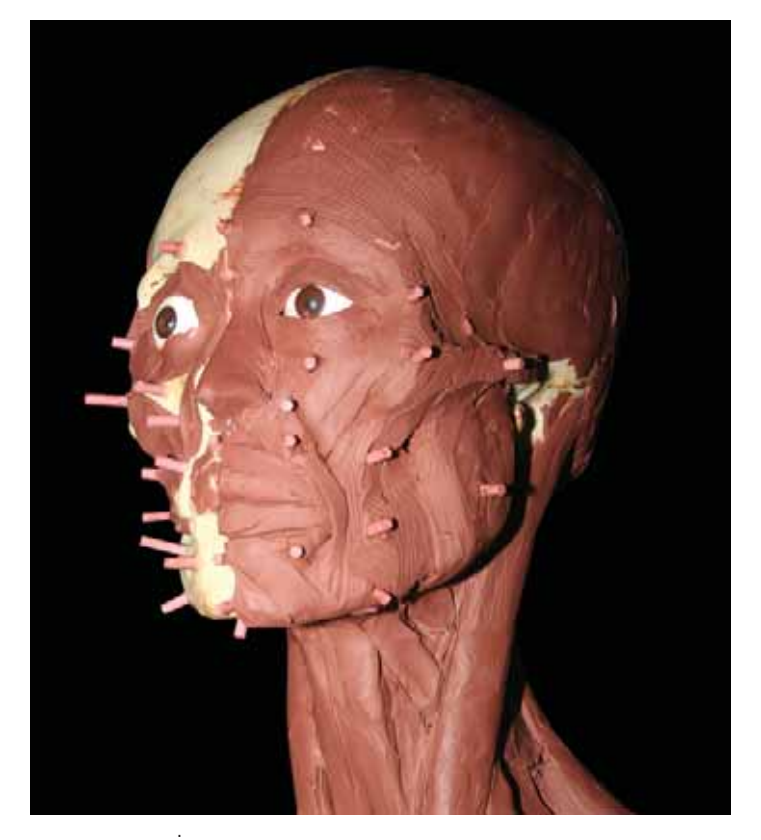
. 22 108 58 DK 119 177

.

STL(stereolithography) , (KISTI)

3 rapid prototype 가



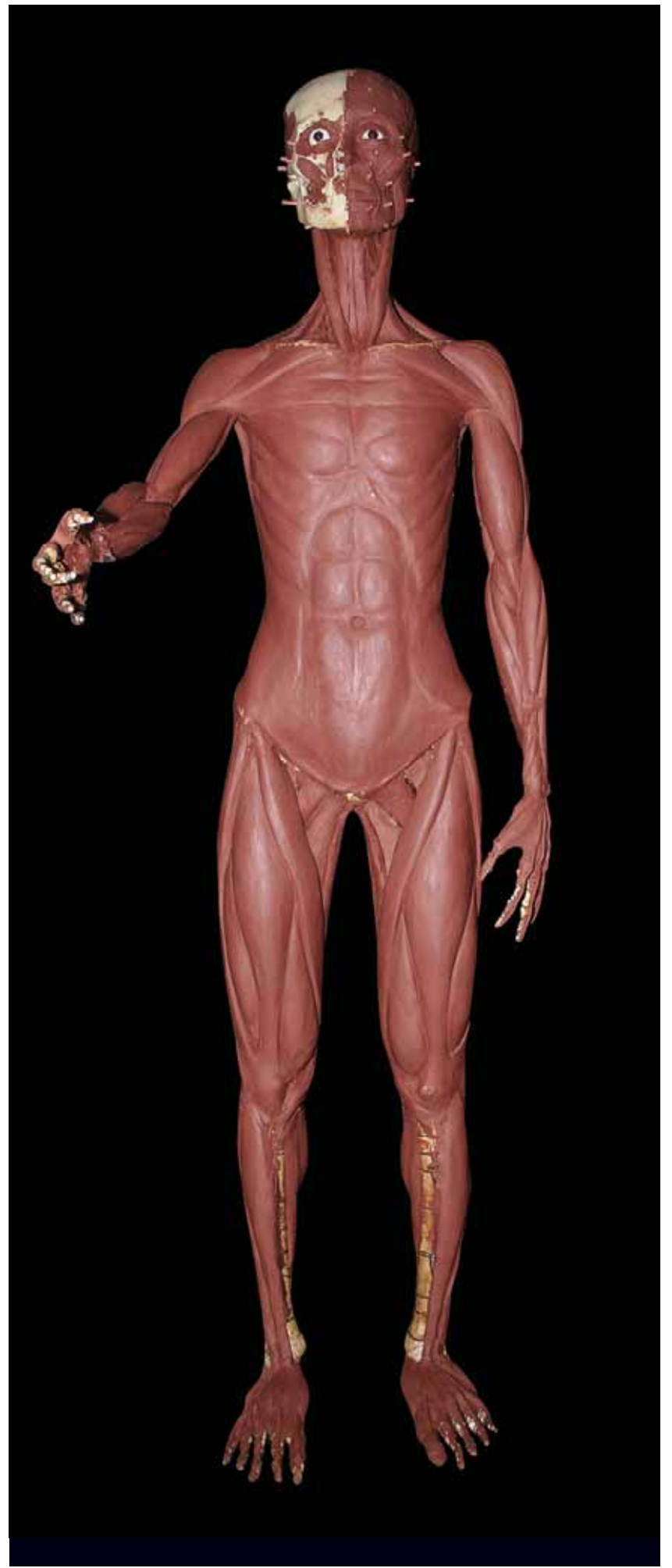


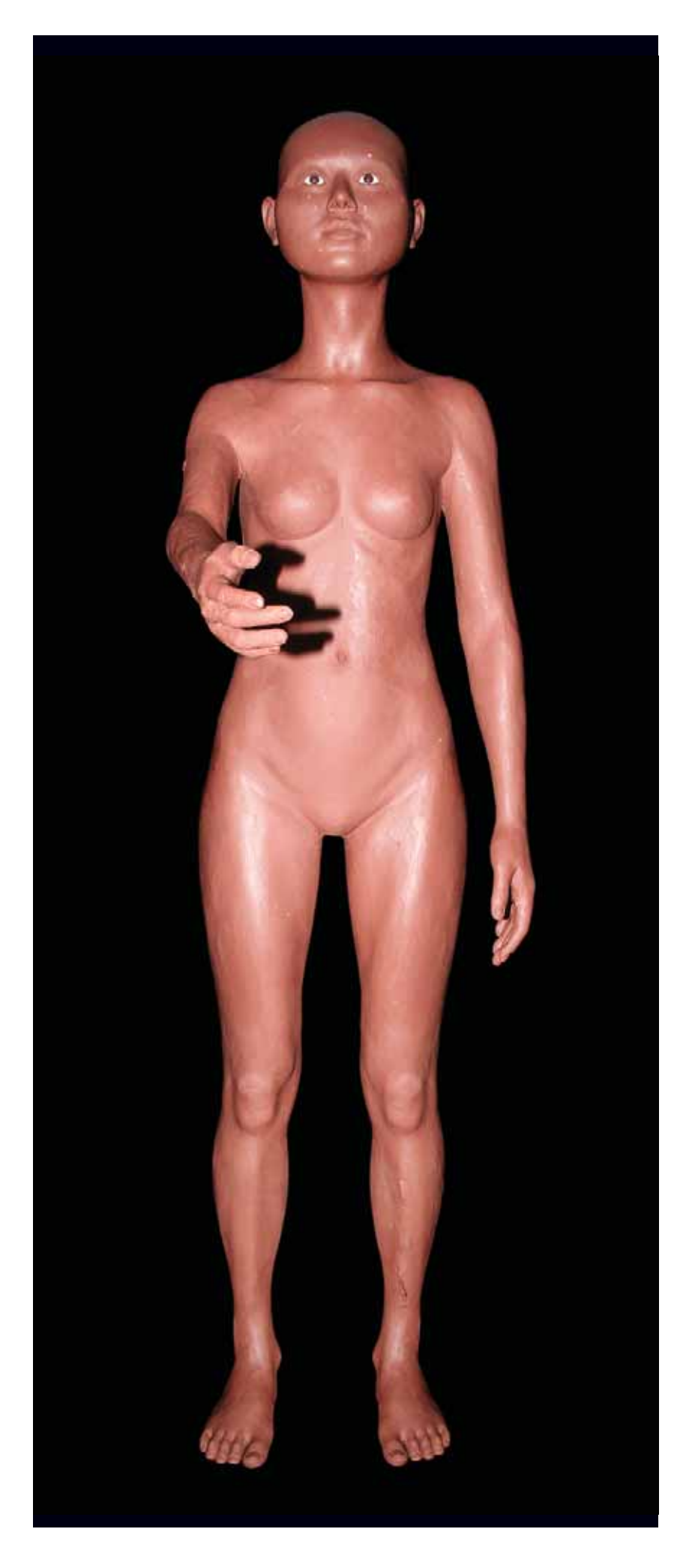




(CT) 3D , (RP)











.

. 3

16 16 40

Manhein • Wilkinson • Stephan
, 20
.

가 . 가 .

. 3

.

3 . . .



가

가 1920 Gerasimow Russian anatomical Krogman Gatliff 가 1970 american anthropometrical 2 3 death mask Neave 가 가 Neave Manchester 가 (2001) soft tissue facial reconstruction " facial 20 approximation " (KISTI) 가 His(1895) Bach Kollman(1899) 16 가 가 가 가 . 1900

가 Manhein Stephan 80.5cm, 31.5cm 가 12~18 5 48.5cm 1 17~18 16 25 Wilkinson 가 mid-masster 19.3cm 16 (2000)8.3 7.9 54.5cm 21.5in 16 가 66.7cm(26.2in) 16 head width-length index 가 가 head height-width index hyperbrachycrany 가 metriocrany facial index 78,35 hypereuryprosopy , 85.40 bizygomatic diameter 가 가 facial height가 upper facial index 46.48 euryeny 54.20 meseny 152.0~ 159.6cm . 2004 5 159.6cm 16 가 25 가 156.4cm 25 가 가 15 58.5cm 가 가 가 151.5cm ,

153.5cm

.

가 .

가

, |가

(22

(22	
	mm
Maximum Cranial Length	166.00
Maximum Cranial Breadth	146.00
Bizygomatic Diameter	130.00
Maximum Cranial Height	143.00
Cranial Base Length	96.00
- Basion-Prosthion Length	85.58
Maxillo-Alveolar Breadth	65.10
Maxillo-Alveolar Length	42.30
Biauricular Breadth	121.00
Upper Facial Height	60.43
Minimum Frontal Breadth	95.17
Upper Facial Breadth	101.24
Nasal Height	47.17
Nasal Breadth	24.25
Left Orbital Breadth	32.51
Right Orbital Breadth	40.36
Left Orbital Height	38.18
Right Orbital Height	37.11
Biorbital Breadth	86.49
Interorbital Breadth	16.31
Frontal Chord	102.61
Parietal Chord	136.33
Occipital Chord	92.45
Foramen Magnum Length	33.14
Foramen Magnum Breadth	27.07
Left Mastoid Length	23.70
Right Mastoid Length	26.29
Facial height	101.85
craniofacial height	193.41
Chin Height	23.16
Body Height at Left Mental Foramen	21.69
Body Height at Right Mental Foramen	22.04
Body Thickness at Left Mental Foramen	10.27
Body Thickness at Right Mental Foramen	10.40
Bigonial Width	101.07
Bicondylar Breadth	126.01
가 Left Minimum Ramus Breadth	34.96
가 Right Minimum Ramus Breadth	37.13
가 Left Maximum Ramus Breadth	45.49
가 Right Maximum Ramus Breadth	46.92
가 Maximum Ramus Height	48.41
Mandibular Length	76.41
Mandibular Angle	131.52

(22

Cranial index	Maximum Cranial Breadth	/	Maximum Cranial Length	88.0	hyperbrachycrany	86	hyperbrachycrany
Cranial breadth-height index	Maximum Cranial Height	/	Maximum Cranial Breadth	97.9	tapeinocrany	90.6	tapeinocrany
facial index	Facial height	/	Bizygomatic Diameter	78.3	hypereuryprosopy	85.4	mesoprosopy
Upper facial index	Upper Facial Breadth	/	Bizygomatic Diameter	46.5	euryeny	54.2	mesoprosopy

* (2000)

16 (:mm)

						16					
				1	5	25	50	75	95	99	
1535.00	1595.84	52.13	1464.00	1483.00	1509.50	1563.50	1592.50	1630.50	1688.50	1715.00	1723.00

						16					
				1	5	25	50	75	95	99	
193.41	204.62	25.51	169.00	169.00	176.00	185.50	192.50	231.50	248.00	260.00	264.00

						16					
				1	5	25	50	75	95	99	
315.00	354.70	18.02	294.00	304.00	323.50	342.50	355.50	366.50	381.00	397.00	415.00

						16					
				1	5	25	50	75	95	99	
485.00 0	536.86	22.94	480.00	486.00	498.00	519.50	537.50	551.50	572.50	591.00	624.00

						16					
				1	5	25	50	75	95	99	
155.00	173.13	7.93	153.00	153.50	160.50	166.50	172.50	177.50	185.50	192.50	194.00

						16					
				1	5	25	50	75	95	99	
75.00	74.56	4.04	65.00	65.50	67.50	71.50	74.50	76.50	80.50	84.00	8
						16					
				1	5	25	50	75	95	99	
545.00	671.34	59.73	535.00	562.00	589.00	631.00	666.50	700.50	780.00	850.00	9:
가											
						16					
				1	5	25	50	75	95	99	
805.00	869.79	37.18	790.00	794.00	807.50	841.50	869.50	894.50	930.50	953.00	10
						16					
				1	5	25	50	75	95	99	
215.00	234.09	10.53	207.00	207.00	213.00	225.50	234.00	241.50	248.50	251.50	2
						16					
				1	5	25	50	75	95	99	
100.00	90.05	4.91	80.00	80.00	80.50	85.50	90.00	93.50	99.00	101.50	1
(/)										
(/	,					16					
				1	5	25	50	75	95	99	
7.94	7.80	-	6.53	6.60	6.81	7.04	8.27	8.43	8.58	8.66	
	71										
	가	(/ ×100)								
						16					
04.00	20.04		20.72	1	5	25	50	75	95	99	
31.60	33.64	-	32.79	32.77	32.99	33.23	33.75	33.82	33.91	34.46	3
	가	(가	/ ×100)							
						16					
				1	5	25	50	75	95	99	

* 5



가

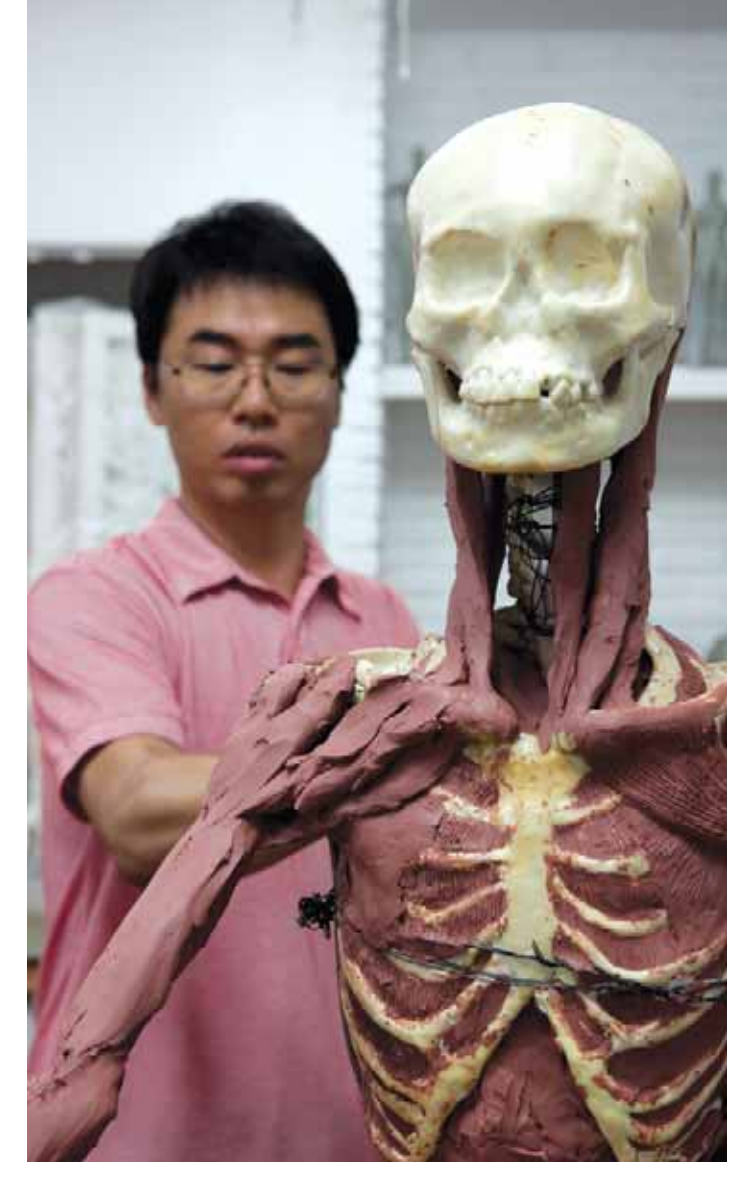
.

가 .

가 , 가 ,

. 가 가 가





가 가



가 . 가

, 가 1 .

. .

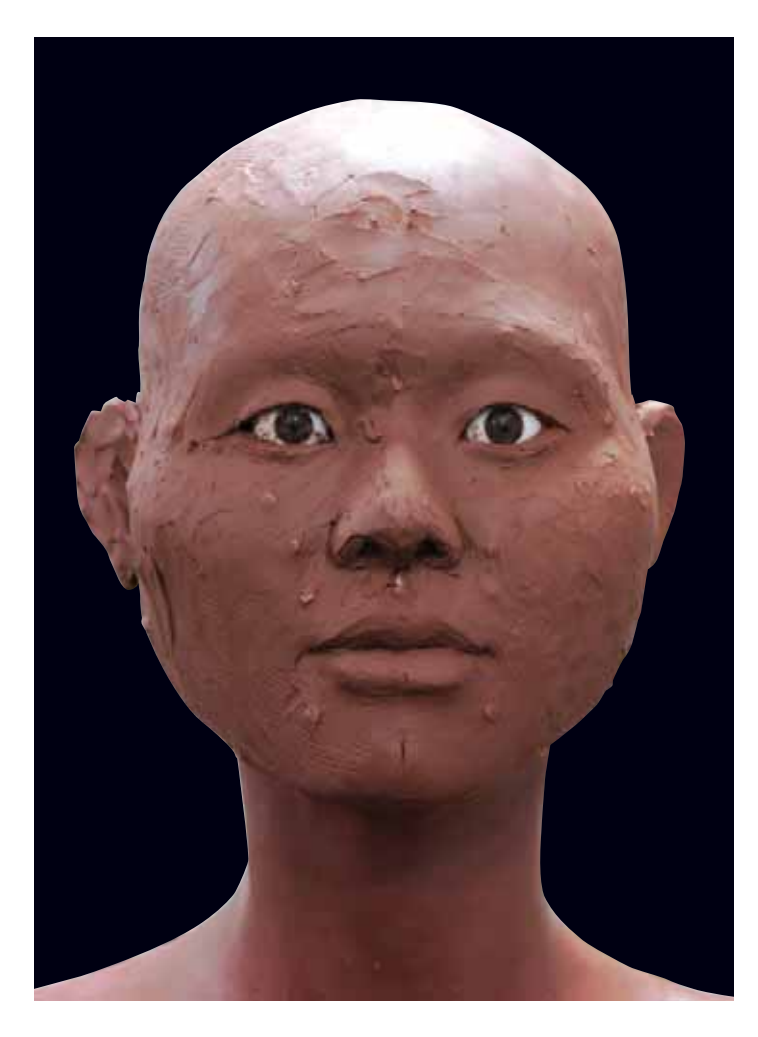
가 .

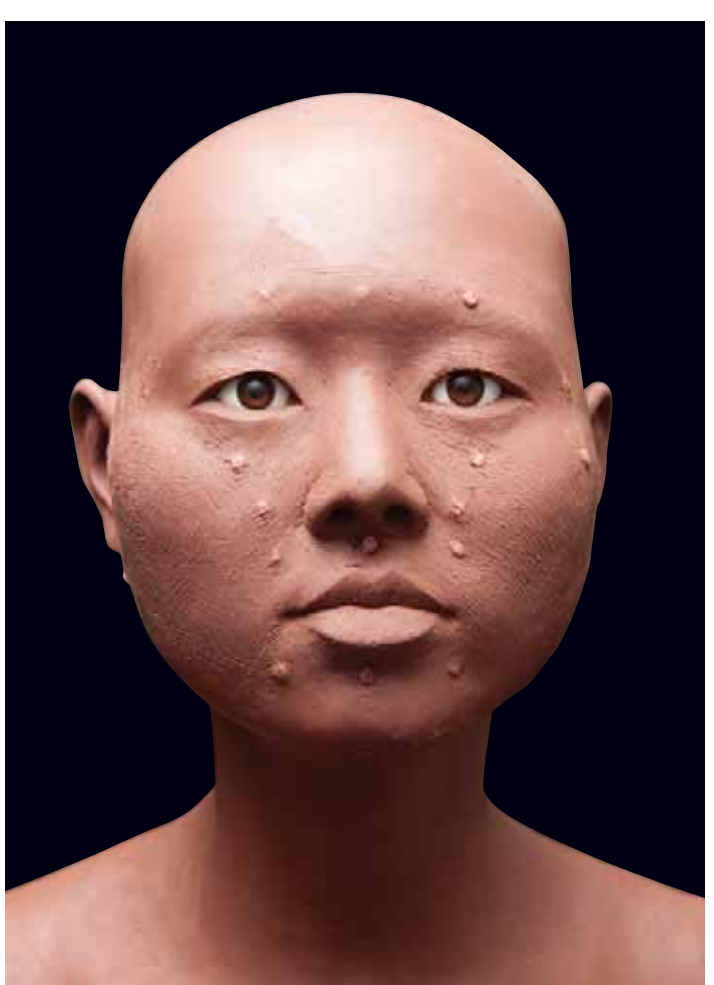
가

•

가







. 가

.

.

, 가 가 .







.

FRP 1 가 .
. FRP , , , , FRP . , ,

. 가

·
, , ,
가
가







| BH



가

가 15 . 가. 가 가 가가 33 16 15 松峴, 12 가 561 가 가 가 가 , 가 6

가 가 가 Н • EA · FTIR 74-04 가 가 가 15 가 95% 420A.D. ~ 560A.D. 가 가 . DNA DNA 22-01 34-02 73-04 mtDNA . 4 가 가 22-01 mtDNA 15~17 152.0cm ~ 159.6cm 가 C_4 **C** 3 , 73-04 Сз 가 () 가 가 10 4

가

가 가 가 가 15 가 22-01 3 22-01 가 39.05~42.38 가 가 16.03~16.65 가 가 가 15 152.0~ 135cm 159.6cm 153.5cm 151.5cm 16 가 5~25% 15 16 松峴'

가

6

가 가 가 153.5cm ' 松峴' 가 가 가 가 가 1,500 16 15 松峴, 가 가 가 가 가 | 가

權五榮 1992,「 旬葬」、『韓國古代史論叢』4, (財)駕洛國史蹟開發研究院 權鶴洙 2003,「가 社會發展 動因 發展段階」。『가 27 2003, 가 金秀桓 2005,『金官加耶 殉葬墓 研究』 1967,^r _л1967-2 2006, Г 7 -6 • 7 朴淳發 2001,『漢城百濟 誕生』 申敬澈 1989,「三韓・三國・統一新羅 釜山」、『釜山市史』1, 釜山直轄市市史編纂委員會 1992,「金海 禮安里 160號墳 對 -古墳 發生 」、『伽耶考古學論叢』1,(財)駕洛國史蹟開發研究院 」。『金海 大成洞古墳群』』。慶星大學校博物館 研究叢書 第4輯 2000, 4. 辛勇旻 2000,「金海地域 北方民族征服論」」。『嶺南考古學』26, 嶺南考古學會 1990,₽ 2009а.^г 」,『가 』 7 가 가 2009b,「葬制 墓制 」,『 6 李在賢 1994,「嶺南地域 木槨墓 構造」。『嶺南考古學』15, 嶺南考古學會 2003,『弁·辰韓社會 考古學的 研究』 崔鍾圭 1991.「 三韓社會 構造 特徵」『韓國古代史論叢』。(財)駕洛國史蹟開發研究院 洪潽植 1998,「墓制 比較 加耶 古代日本」。『加耶史論叢-加耶 古代日本』。金海市 Galvin, John 2005, ABYDOS: Life and Death at the Dawn of Egyptian Civilization J, National Geographic; Vol. 207 Issue 4 Renfrew, Colin and Bahn, Paul 2004, Archaeology J, Thames & Hudson 高崇文 2009 「殷周時代 殉葬 」 『 가 』, 7 가 가 黃展岳 2004,『古代人牲人殉通論』文物出版社 2007,『昌寧 松峴洞 古墳群』 國立昌原文化財研究所 2004. 『咸安道項里古墳群』。 學術調查報告書 第26輯 釜山大學校博物館 1996,『釜山福泉洞古墳群』。 研究叢書 第19輯嶺 南大學校博物館 1999.『慶山 林堂地域 古墳群』。 學術調査報告 第25冊 嶺南埋葬文化財研究院 1998,『高靈 池山洞30號墳』 學術調查報告 第13冊

- Ambrose, S. H. 1986. Stable carbon and nitrogen isotope ananlysis of human and animal diet in Africa. Journal of Human Evolution 15, 707-731.
- C.I. Smith, C.M. Nielsen-Marsh, M.M.E. Jans, M.J. Collins 2007, Bone diagenesis in the European Holocene I: patterns and mechanisms. Journal of Archaeological Science 34, 1485-1493.
- Damon, P. E., Cheng, S., and Linick, T.W. 1989, Fine and hyperfine structure in the spectrum of secular variations of atmosphere 14C. Radiocarbon 31, 704-718.
- De Vries, H.I. 1958, Variation in concentration of radiocarbon with time and location on earth. Kon Ned Akad Wet Proc. Ser 61, 94-102.
- D. R. Brothwell and A. M. Pollard 2004. Handbook of Archaeological science JOHN WILEY & SONS. LTD.
- G. Gianfrate, M. D'Elia, G. Quarta, L. Giotta, L. Valli, L. Calcagnile. 2007. Qualitative application based on IR spectroscopy for bone sample quality control in radiocarbon dating. Nuclear Instruments and Methods in Physics Research B 259, 316-319.
- Ina Reiche, Lidia Favre-Quattropani, Colette Vignaud, Herv ´e Bocherens, Laurent Charlet and Michel Menu1 2003. Amulti-analytical study of bone diagenesis: the Neolithic site of Bercy(Paris, France).

 MEASUREMENT SCIENCE AND TECHNOLOGY 14, 1608?1619.
- Kim, J.C., Lee, C.H., Kim, I.C., Park, J.H., Kang, J., Cheoun, M.K., Kim, Y.D., and Moon, C.B. 2000, A new AMS facility in Korea. Nuclear Instruments and Methods in Physics Research B 172, 13-17.
- Lee, C., Kim, J.C., Park, J.H., Kim, I.C., Kang, J., Cheoun, M.K., Choi, S.Y., Kim, Y.D., and Moon, C.B. 2000, Progress in sample preparation system for the Seoul National University AMS Facility.

 Nuclear Instruments and Methods in Physics Research B 172, 454-457.
- M. Walker. 2005, Quaternary dating method, p26 (John Wiley & Sons, Ltd).
- Millard, A. R. 1993. Diagenesis of Archaeological Bone: the Case of Uranium Uptake. Unpublished D.Phil.

 Thesis University of Oxford
- O 'Connell, T. C. 1996. The isotopic relationship between diet and body proteins: implications for the study of diet in archaeologiy. D. Phil. Thesis. University of Oxford.
- Reimer, P.J., Baillie, M.G.L., Bard, E., Bayliss, A., Beck, J.W., Bertrand, C., Blackwell, P.G., Buck, C.E., Burr, G., Cutler, K.B., Damon, P.E., Edwards, R.L., Fairbanks, R.G., Friedrich, M., Guilderson, T.P., Hughen, K.A., Kromer, B., McCormac, F.G., Manning, S., Bronk Ramsey, C., Reimer, R.W.,

- Remmele, S., Southon, J.R., Stuiver, M., Talamo, S., Taylor, F.W., van der Plicht, J., and Weyhenmeyer, C.E. 2004. IntCal04 terrestrial radiocarbon age calibration, 0 ~ 26 Cal Kyr BP. Radiocarbon 46, 1029-1058.
- Robert E. M. Hedges and Andrew R. Millard 1995. Measurements and relationships of diagenetic alteration of bone from three archaeological sites. Journal of Archaeological Science 22, 239-250.
- Suess, H.E. 1955, Radiocarbon concentration in modern wood. Science 122, 415-417.
- van Klinken, G. J. 1999. Bone collagen quality indicators for palaeodietary and radiocarbon measurements. Journal of Archaeological Science 26, 687-695.

- Ambrose, S. H., 1990, Preparation and characterization of bone and tooth collagen for isotopic analysis, Journal of Archaeological Science 17: 431-451.
- Andrews, R.M., Kubacka, I., Chinnery, P.F., Lightowlers, R.N., Turnbull, D.M., Howell, N. 1999,
 Reanalysis and revision of the Cambridge reference sequence for human mitochondrial DNA.
 Nature Genetics, 23: 47.
- Brown, T. A., Nelson, D. E., Vogel, J. S., J. R. Southon, 1988, Improved collagen extraction by modified Longin method, Radiocarbon 30: 171-177.
- DeNiro, M. J., 1985, Postmortem preservation and alteration of in vivo bone collagen isotope ratios in relation to palaeodietary reconstruction, Nature 317: 806-809.
- Hedges, R. E. M., Millard, A. R., A. W. G. Pike, 1995, Measurements and relationships of Diagenetic Alteration of Bone from Three Archaeological Sites, Journal of Archaeological Science 22: 201-209.
- Hedges, R. E. M. and L. M. Reynard, 2007, Nitrogen isotopes and the trophic level of humans in archaeology, Journal of Archaeological Science 34: 1240-1251.
- Richards, M. P. and R. E. M. Hedges, 1999, Stable isotope evidence for similarities in the types of marine foods used by Late Mesolithic humans ar sites along the Atlantic coast of Europe, Journal of Archaeological science 26: 717-722.

Rohland, N. and M. Hofreiter, 2007, Ancient DNA extraction from bones and teeth, Nature 2: 1756-1762. van Klinken, G. J., 1999, Bone Collagen Quality Indicators for Palaeodietary and Radiocarbon Measurements, Journal of Archaeological Science 26: 687-695.

- Bradley JA, Lyle WK. Estimation of the most likely number of individuals from commingled human skeletal remains. Am J Phys Anthropol. 2004;125:138-151.
- Brothwell DR. The relationship of tooth wear to aging. Age markers in the human skeleton. Springfield. 1989:303-316.
- Buikstra JE, Ubelaker DH. Standards for Data Collection from Human Skeletal Remains. Fayetteville, Arkansas: Arkansas Archaeological Survey Report Number 44. 1994.
- Cox M, Flavel A, Hanson I, Laver J, Wessling R. The scientific investigation of mass graves. Cambridge. 2008.
- Fox CL. Information obtained from the microscopic examination of cultural striations in human dentition. Int J Osteoarchaelogy. 1992;2:155-69.
- Lee SS, Byun YS, Park MJ, Yoon CL et al. The chronology of second and third molar mineralization in Korean population and application to forensic age estimation. Proceedings of 4th Mediterranean Academy of Forensic Sciences meeting. 2009.
- Lee UY, Chung IH, Park DK, Kim YS et al. Sex determination of talus in Korean using discrimination function analysis. Proceedings of 60th American Academy of Forensic Sciences meeting. 2008.
- Manhein MH, Ginesse AL, Barsley RE, Musselman R et al. In vivo facial tissue depth measurements for children and adults. J Forensic Sci. 2000;45:48-60.

- McKern TW, Stewart TD. Skeletal age changes in young American males. Natick, Massachusetts:

 Quartermaster Research and Development Command Technical Report EP-45. 1957.
- Meindl, RS, Lovejoy CO. Ectocranial suture closure: A revised method for the determination of skeletal age at death based on the lateral-anterior sutures. Am J Phys Anthropol. 1985;68:57-66.
- Neville BW, Damm DD, Allen CM, Boquot JE. Environmental effects on tooth structure development.

 Oral & maxillofacial pathology, Saunders. 1995:44-46.
- Park DK, Park KH, Ko JS, Kim YS, Chung NE, Ahn YW, Han SH. The role of forensic anthropology in the examination of the Daegu Subway Disaster (2003, Korea). Journal of Forensic Sciences. 2009;54:513-519.
- Romero J. Dental mutilation, trephination and cranial deformation. Physical anthropology, Handbook Med Am Indians 9. 1970:50-67.
- Saukko P, Knight B. Knight 's forensic pathology (3rd ed.). London, UK: Arnold. 2004.
- Stephan CN, Simpson EK. Facial soft tissue depths in craniofacial identification (Part II): An analytical review of the published sub-adult data. J Forensic Sci. 2008;53;1273-1279.
- Takei T. Age estimation from dental attrition and state of dental treatment by application of the theory of quantification type I. J Nihon Univ Sch Dent. 1984;26:119-32.
- Trotter M, Gleser GC. A re-evaluation of estimation of stature based on measurements of stature taken during life and of long bones after death. Am J Phy Anthropol. 1958;16:79-123.
- Ubelaker DH. Human Skeletal Remains: Excavation, Analysis, Interpretation (3rd ed). Washington, D.C.: Taraxacum. 1999.
- Walker PL. Porotic hyperostosis in a marine-dependent California Indian population. Am J Phys Anthropol. 1986;69:345-354.
- Walker PL, Johnson JR, Lambert PM. Age and sex biases in the preservation of human skeletal remains.

 Am J Phys Anthropol 1988;76:183-188.
- Wikinson CM. In vivo facial tissue depth measurements for British children. J Forensic Sci. 2002;47:459-465.
- Wikinson CM. Forensic facial reconstruction. Cambridge. 2004
- Yun JI, Lee JY, Chung JW Kho, HS et al. Age estimation of Korean adults by occlusal tooth wear. J Forensic Sci. 2007;52:678-83.



Abstract ___

```
1500 16
                                     15
                          가
 6
                               15
                                          4
                                                             2008 7
                                                                       2009 11
               가
12
    가
                가
                                                                              ( ).
                        DNA
                 ). 가
                              가
       (
                                                                   ).
(CT) · 3
              . 3
                                                                                 1,500
 6
                         X-ray
                                                         16
                                                                                 가
       가 153.5cm
                        16
                                                5~25%
         2
                         가
                                         mtDNA
                                          가
   <sub>近侍者</sub>가
                    가
                                                                              가
```

113

| 가

The Life and Death of a 16 Year Old Girl in Ancient Korea:

Reconstruction of human skeletons from the ancient burial at Songhyeon-dong, Changnyeong

The present study aims to seek the historical identity of human skeletons recovered from a burial at Songhyeon-dong, Changnyeong. In so doing, the research attempts to understand and reconstruct diverse aspects of ancient human culture from a broad perspective. Various scholars from archaeology, paleopathology, forensics, human anatomy, genetics, chemistry, physics and even fine arts participated in the interdisciplinary and multidisciplinary research of human skeletal remains recovered from burial number 15 at Songhyeon-dong, Changnyeong, which is the first in this kind in Korea. The present report summarizes this multidisciplinary research was carried out from July 2008 to June 2009 and supervised by Gaya Natural Research Institute of Cultural Heritage (GNRICH).

GNRICH studies the social and political background of burial practice of ancient Korea focusing on human sacrifice associated with the burial practice in Gaya (Archaeology section). Laboratory for Preservation Science of National Research Institute of Cultural Heritage attempts to extract DNA from the skeletal remains in order to determine sex and possible kin relations of the individuals buried as a sacrifice to accompany the dead. Researchers also conduct carbon and nitrogen isotope analyses which provide evidence of ancient diets (Genetics and Chemistry section). Laboratory for Applied Anatomy at Catholic Medical University analyzes pathological and forensic evidence of the skeletons leading to the body reconstruction (Forensic, Anatomy, Arts section). Korea Research Institute of Archaeological Science of Chungcheong Research Institute of Cultural Heritage provides the result of AMS radiocarbon dating and presents the calibration result along with relevant interpretation (Physics section). Also, analyses employing such techniques as CT, three dimension scanning and digitalizing and even the cutting edge technology used in Hollywood movies offer a valuable means on which we can reconstruct the 1500 year old human remains.

Four individuals were thought to have been buried as human sacrifice with the dead, and the archaeological excavation reveals that they were buried in a female-male-female-male order in the early 6th century AD. Evidence shows that the sacrificed were either poisoned or suffocated to death. The carbon and nitrogen isotope analysis suggests that rice, barley, bean and meat were primary diet sources rather than wheat, millet and other cereals.

The female buried near the entrance of the tomb wore an ear-ring on her left ear, and her occipital shows the evidence of porosity indicating that she suffered from anemia. The tibia and fibula retain evidence of the repetitive and abrupt locomotions. Based on X-ray analysis of teeth and skeletons, we determine that she died at around 16. The reconstruction of whole body was processed from the manufacture and refitting of replicated bones and addition of layers of muscle and skin, which culminates in the production of a life size model of a young girl. The reconstruction estimates that she was rather short, 153.5 cm tall, which can be grouped into the lower 5-25 percentile compared with modern day Korean women. Among other features, she had a relatively long neck, particularly short arms and wide flat face.

The two sacrificed males buried likely share the common matrilineal clan. The Haplogroup mtDNA extracted from the remains is also observable in both Joseon Dynasty and modern day Korean people, while it is commonly recognized in Southeast Asians.

In Korean history and archaeology, many discussions and debates have been centered around the social and political structure of ancient Korean burial customs including the human sacrifice practice recognized in several Gaya tombs. The archaeological and other evidence from Songheyon-dong suggests that the sacrificed were buried with the dead in order to accompany the upper class people to the afterlife. The fact that the sacrificed wore an ear-ring and had relatively good diets also indicates that the buried were not necessarily from the lowest class or slaves.

The present research shows that various disciplines can contribute to archaeology and our knowledge of past human culture, while complying with the demand of modern issues.

English translation by SEONG, Chuntaek

1500年前16歳女性の生活と死

-昌寧松峴洞 15号墳出土殉葬人骨の復元研究-

この研究は過去の人間の身体的特徴に歴史正体性を付与し、人間に対する多様な理解と解釈を基に古代社会の文化を幅広く復元しようと企画したものである。古代人骨資料を総合的に研究するため考古学・法医学・解剖学・遺伝学・化学・物理学・造形学など人文学および自然科学の専門家達が共に参加した韓国最初の学際間融合研究である。

6世紀前後韓国の慶尚南道昌寧郡昌寧邑松峴洞15号墳に埋葬された4体の殉葬人骨を対象に2008年7月から2009年 11月まで総12ヵ月間文化財庁国立加耶文化財研究所責任運営機関研究課題として行われた。

国立加耶文化財研究所が主管機関として韓半島古代社会の殉葬の意味と思想的背景について研究を担当した(考古学)。国立文化財研究所保存科学室はDNAを抽出し性別と親縁関係を究明し、炭素と窒素同位元素分析で食生活を分析した(遺伝学・化学)。カトリック医科大学のカトリック応用解剖研究所は、法医学的に殉葬人骨を收拾・記録、解剖学・病理学的特徴を分析し、人体復元研究を行った(法医学・解剖学・造形学)。忠清文化財研究所韓国考古科学研究所は、分析した食生活方式を考慮し放射性炭素年代測定(AMS)の合理的暦年代変換を試みた(物理学)。そしてコンピューター断層撮影(CT)・3次元精密スキャン・3次元モデリングなど先端科学技術はもとよりハリウッド映画の最新特殊扮装技法まで総動員し1500年前の埋葬された殉葬人骨の総合的な復元研究を試みた。

6世紀前後に死亡した4名の殉葬者は墓の入り口から女性-男性-女性-男性の順に埋葬されており、中毒または窒息死させた直後に殉葬したものと判明した。そして蜀黍・稷・粟などの雑穀よりは米・麦・豆と肉類などを主に摂取した比較的良好な栄養状態であった。

墓の入り口側に埋葬された殉葬女性は、左耳にだけ金銅耳飾をしており、後頭部の骨から多孔性骨過多症が確認され 貧血があったことが分かった。また脛骨と左右腓骨からは生前にふくら脛の急激な反復運動を推定することができる反応 骨も確認することができた。歯のX-ray検査と骨格の分析からこの女性は16歳であることが判明した。この女性の人体復元 は法医学と解剖学的研究成果を基に複製骨の製作→複製骨の組み立て→筋肉の復元→皮膚層の形成→シリコン全身 像製作の順に行った。身長が153.5cmで現代の満16歳の韓国人女性と比較すると、下位5~25%に属する小さい体型で、 首が長く腕の長さが特に短く、広くて扁平な顔の女性である。

男性殉葬者2名は同一母系血族である可能性が高い。検出したmtDNA Haplogroupは朝鮮時代の人骨と現代の韓国人でも現れており、一般的には東南アジアに広く分布することでも知られる。

韓国では古代社会の殉葬者の社会的性格について多くの論議がある。しかし今回の研究では墓の主人公の従属関係者である近侍者が来世でも引き続き奉仕することができるよう殉葬させたことが分かった。また殉葬女性が金銅耳飾をし、栄養状態も良好であったことは、殉葬者が単純に最下階層の身分だけではないことを示唆するものである。

今回の研究を通して考古学資料を科学的・客観的に研究することができる多様な学問分野と融合し考古学研究が解放型共同研究として過去の歴史知識はもとより現代社会の論点にも積極的に寄与することができるものと期待する。

距今1500年前,一位年仅16岁女性的生与死

昌宁松岘洞15号墓殉葬人骨的复原研究

此项研究的目的在于给予过去人类的身体特征以具体的历史性,并在对人类生活的认识及理解基础上进行复原古代文化的整体性。研究的主要领域是古代人骨的综合性分析,为进行研究课题投入考古学、法医学、解剖学、遗传学、化学、物理学及造型学等多种学科的综合研究力量。

于2008年7月至2009年11月由韩国文化财厅下属国立加耶文化财研究所对庆尚南道昌宁郡松岘洞15号墓进行学术发掘。发掘结果此墓推定年代为约6世纪前后的加耶墓葬。为此项调查研究由韩国多数研究机关和高校的专家分别承担了个别研究项目,如由国立加耶文化财研究所进行关于在朝鲜半岛古代社会殉葬的含义及其思想背景的研究课题。由国立文化财研究所保存科学室(科技考古部)分析人骨的DNA导出性别和亲缘关系,并通过同位元素分析构出当时人们的饮食生活。由基督大学(The Catholic University of Korea)医科学院应用解剖研究所通过法医学的分析方法整理记录殉葬所遗留的全部人骨,并从解剖学和病理学的角度进行复原人体的形质特征。由忠清文化财研究院附属韩国考古科学研究所引用已有的关于人们饮食生活的信息进行放射性炭素断代,并借用高科技的复原手段如电脑断层摄影(CT)、三维精细扫描、电影所用的模型技术等造出人骨的原貌和身体特征。

墓葬共出土4具人骨,从墓葬的入口开始人骨的排列为女性、男性、女性、男性的次序。人骨的死因推测为中毒或窒息,人骨的营养状态比较良好,而且能判断出他们的主要食物是米、麦、豆及肉类。

位于墓葬入口部位的女性佩戴一件金铜耳环,在枕骨发现多孔性骨质增生症可知这女性患有贫血症。在胫骨和左右腓骨发现反应性骨质以此推定生前有过反复而激烈的运动现象。通过牙齿的磨损和X光照片判别出女性的年龄为16岁左右。在骨骼特征的基础上进行复原女性的整体面貌。首先制作各部位的复制人骨,此后按照一般人体的骨骼特征组装各部位的复制人骨。人骨组装之后,以人工肌肉和皮肤移植于骨骼。最后用硅质复原材料模拟全身。结果,女性的身高约为153.5cm,与现代韩国女性的身高指数相对比,属于矮身指数5-25%之内。身体特征为长脖子、短胳膊、扁平脸形。

两名男性殉人很可能是同样的母系血族。从DNA观察结果看,同样的基因也观察到朝鲜时代和现代韩国人的形质因素,这种基因一般分布于东南亚地区。

过去韩国学界曾多次探讨关于在古代殉葬的社会背景。这次的发掘比较清楚的表明作为墓主的侍从的身份与墓主同时下葬以侍侯来世。尤其从殉人的服饰和身体状态看被殉者并不是最下层阶级的奴婢或贱人,而是在当时社会被殉者有一定的地位和身份。

通过此项研究,考古学应引进邻接科学领域才能做出有益的社会贡献,进而能够形成历史研究的核心学门。

Жизнь и Смерть 16-летней Девочки в Древней Корее:

Реконструкция человеческих скелетов древнего погребения из кургана Сонхендон, р. Чаннен.

В данном исследовании мы стремится найти историческую идентичность человеческих скелетов, раскопанных в кургане Сонхендон, р. Чаннен. Авторы пытаются понять и восстановить разнообразные аспекты древней человеческой культуры с помошью мультидисциплинарных исследований. Археологи, палеопатологи, судебные эксперты[forensics], анатомы, генетики, химики, физики и даже искусствоведы участвовали в междисциплинарных и мультидисциплинарных исследованиях человеческих скелетов, из кургана, н. 15 из Сонхендон, р. Чаннен, являющегося первым подобным на территории Кореи. Настоящее мультидисциплинарное исследование было выполнено и организовано Кая Национальным Научно-исследовательским институтом Культурного наследия (далее КННИКН) в период с июля 2008 по июнь 2009.

КННИКН занимается изучением социальных условий, политической обстановки и идеологические аспекты на основе погребального обряда госдарства Кая, сосредотачиваясь на сопроводительных человеческих жертвоприношениях (секция археологии). В Лаборатории сохранения и реставрации Национального Научно-исследовательского Института культурного наслелия извлекают ДНК из остатков скелетов, чтобы определить пол и родственные связи жертв. Для анализа древних диет, исследователи также проводят анализ изотопов углерода и азота (секция генетики и химии). Институт топографической анатомии Католического университета проводит анализ патологических и судебных экспертиз скелетов, а так же приводит реконструкцию облика погребенного человека (секция судебного анализа, анатомии, и изящьных искусств). Институт археологии Центра культурного наследия Чунчон обеспечивает результаты радиоуглеродного датирования ускорительным аппаратом(АМS) и представляет калиброванные даты из кургана (секция физики). Кроме того, исследования, использующие такие методы как, компьютертную томографию (СТ), 3D-сканирование, 3D-моделирование и даже, ультрасовременную технологию, используемую в Голливудских кинофильмах, являются ценным средством, благодаря которому мы можем восстановить 1500-летние остатки человека.

Как предполагалось четыре человека были похоронены в качестве человеческой жертвы погребенным в кургане. Археологические исследования показывают, что они были похоронены в начале 6-го в.н.э. Жертвы были положены по очередности от входа в следующем порядке - женщина-мужчина-женщина-мужчина. Анализ причин смерти показывает, что жертвы были отравлены или задушены, и были похоронены сразу после смерти. По анализу изотопов углерода и азота можно сделать вывод что основными источниками диеты были рис, ячмень, бобы и мясо, а не пшеница, просом и другие хлебные культуры.

Женщина, похороненная около входа в могилу, носила сережку в левом ухе. Пористости на затылочной части ее черепа указывают на то, что она страдала от анемии. Состояние голени и малой берцовой кости свидетельствуют о частых и резких передвижениях и нагрузках, таких, как частое стояние на коленях. Рентген зубов и анализ скелета показывают, что она умерла примерно в 16 лет. Реконструкция тела была произведена путем изготовления копируемых костей и дополнения слоев мускул и кожи, которая достигает высшей точки в производстве модели размера молодой девочки. Реконструкция показывает, что она была невысокого роста - 153.5 см высотой, который может быть сгруппирован в более низкие 5-25 процентилей по сравнению с современными кореянками. Среди других особенностей у нее были относительно длинная шея, короткие руки и ноги, и широкое плоское лицо.

Двое принесенных в жертву мужчин вероятно являются родственниками по материнской линии. Гаплогруппы mtDNA извлеченные из данных скелетов также прослеживаются у скелетов Династии Чосон и у современных корейцев. В то же время данная гаплогруппа является обычной в Юго-Восточной Азии.

Среди историков и археологов Кореи было много обсуждений и дискуссий по поводу социальной и политической структуре у жертв. Но, данная работа, касающаяся кургана Сонхендон предполагает, что жертвы находились в подчиненном положении по отношению к хозяину кургана, и были похоронены вместе с ним, чтобы сопровождать его в загробном мире. Тот факт, что одна из жертв носила сережку в ухе, и имела относительно хорошую диету также, указывает, на то, что жертвы не обязательно могли быть представителями самого низкого класса или рабами.

Данная работа показывает, как различные дисциплины могут применяться в археологии и расширить наши знания о древних культурах, а не только о современных обществах.

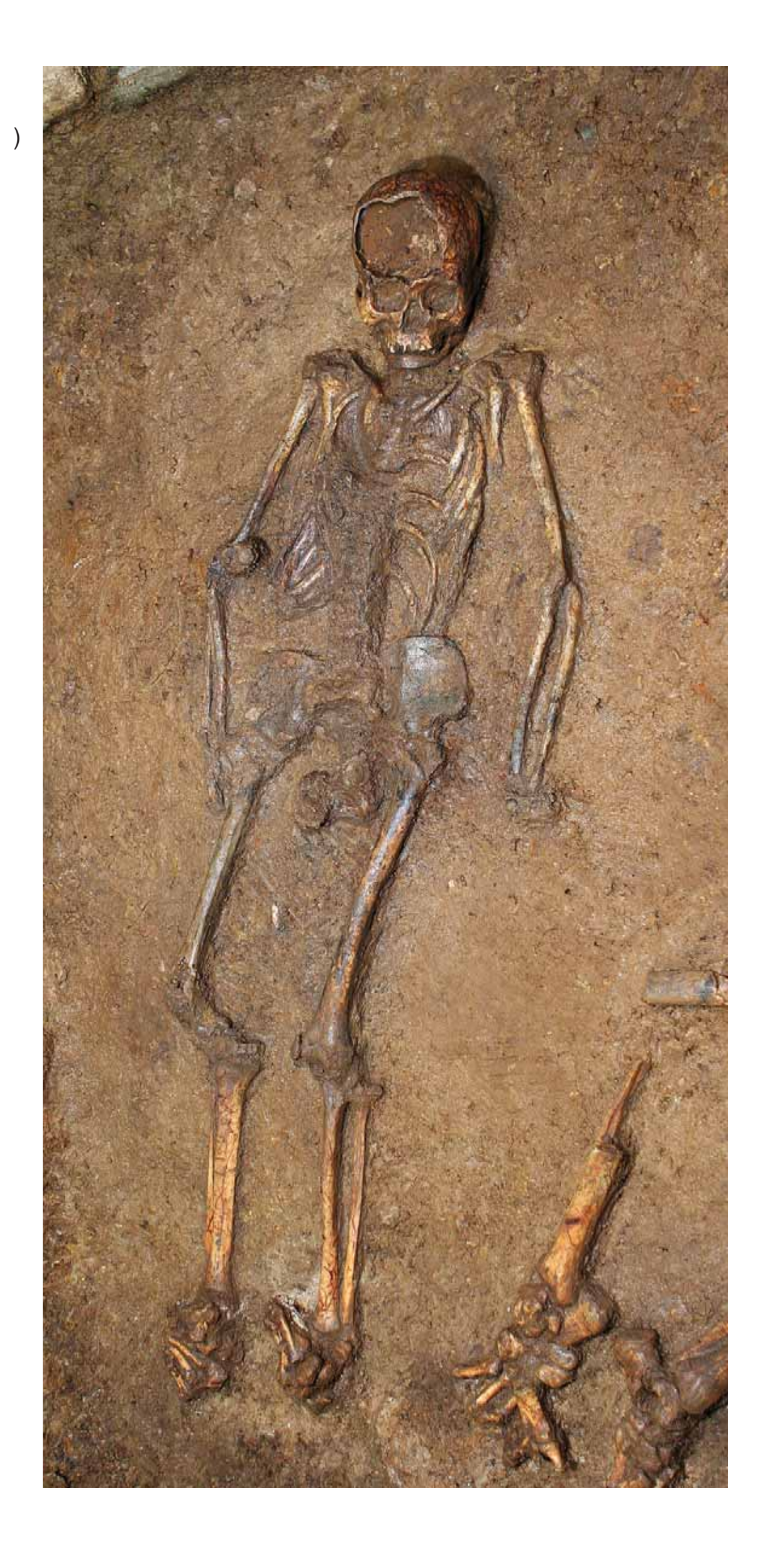
Перевод сделан Кан Ин Уком





3D Scan





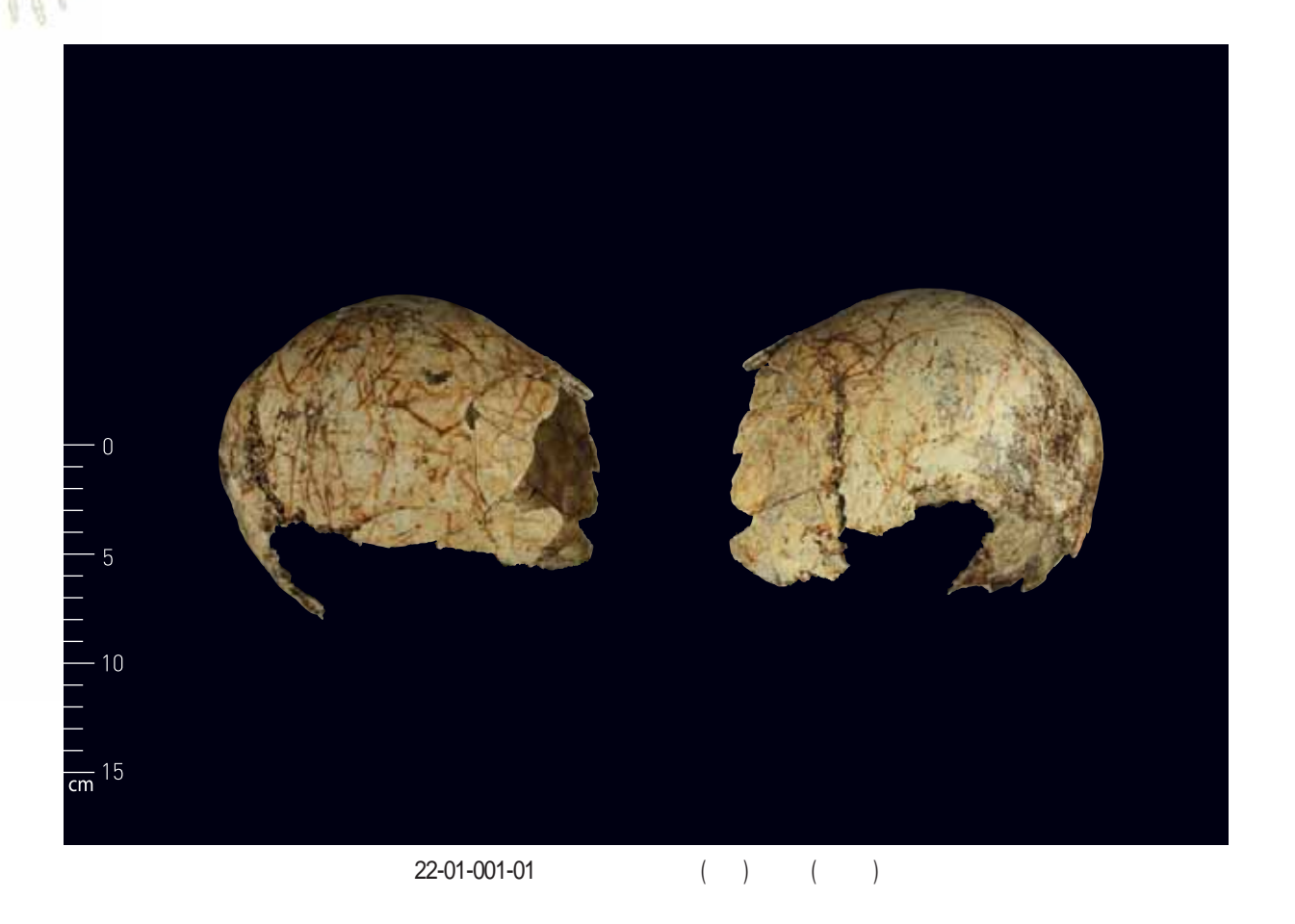


22-01-001-01	calvarium	22-01-008-09		left 3rd metatarsal bone	
22-01-001-02	left temporal bone	22-01-008-10	left 4th metatarsal bone		
22-01-001-03	right temporal bone	22-01-008-11		left 5th metatarsal bone	
22-01-001-04	occipital bone, sphenoid bone	22-01-008-12		left 1st metatarsal bone proximal end	
22-01-001-05	maxilla, left zygoma	22-01-008-13		left 2nd metatarsal bone distal end	
22-01-001-06	right zygoma	22-01-008-14		left 3rd metatarsal bone distal end	
22-01-001-07	mandible	22-01-008-15	가	left 1st proximal phalanx	
22-01-001-08	skull fragments	22-01-008-16	가	left Proximal phalanx	
22-01-002-01	tooth	22-01-008-17	가	left proximal phalanx proximal end	
22-01-002-02	tooth	22-01-009-01	righ	ht humerus	
22-01-002-03	tooth	22-01-010-01	left h	umerus	
22-01-002-04	tooth	22-01-011-01	right	radius proximal end fragments	
22-01-002-05	tooth	22-01-011-02	right	ulna distal end fragments	
22-01-002-06	tooth	22-01-012-01	left radi	ius	
22-01-003-01	right femur	22-01-012-02	left ulna	3	
22-01-004-01	left femur shaft	22-01-013-01	righ	ht carpal bone	
22-01-004-02	가 left femur lateral condyle	22-01-013-02	가	right proximal phalanx	
22-01-004-03	left femur head	22-01-013-03	가	right proximal phalanx fragments	
22-01-005-01	right tibia	22-01-014-01	가	left carpal bone fragments	
22-01-005-02	right fibula	22-01-014-02	가	left carpal bone fragments	
22-01-005-03	right patella	22-01-014-03	가	left carpal bone fragments	
22-01-006-01	left tibia	22-01-014-04	가	left carpal bone fragments	
22-01-006-02	left fibula	22-01-014-05	가	left Proximal phalanx proximal end	
22-01-006-03	left patella	22-01-015-01	left ili	um	
22-01-007-01	right calcaneus	22-01-015-02	righ	ht ilium	
22-01-007-02	right talus	22-01-015-03	left is	chium	
22-01-007-03	right navicular	22-01-015-04	left p	left pubis	
22-01-007-04	right medial cuneiform	22-01-015-05	hip bone fragments		
22-01-007-05	right intermediate cuneiform	22-01-015-06	sacrum fragments		
22-01-007-06	가 right lateral cuneiform	22-01-016-01	left cl	lavicle	
22-01-007-06-01	right cuboid	22-01-016-02	righ	ht clavicle	
22-01-007-07	right 1st metatarsal bone	22-01-016-03	stern	um fragments	
22-01-007-08	right 2nd metatarsal bone	22-01-016-04		right scapula fragments	
22-01-007-09	right 3rd metatarsal bone	22-01-016-05	left so	capula	
22-01-007-10	right 4th metatarsal bone	22-01-016-06	cervical vertebra, C1, atlas		
22-01-007-11	right 5th metatarsal bone	22-01-016-07	cervical vertebra, C2, axis		
22-01-007-12	right 1st metatarsal bone proximal er	d 22-01-016-08	cervical vertebra, C3		
22-01-007-13	right 2nd metatarsal bone distal end	22-01-016-09	cervical vertebra, C4		
22-01-007-14	right 3rd metatarsal bone distal end	22-01-016-10	cervical vertebra, C5		
22-01-007-15	right 4th metatarsal bone distal end	22-01-016-11	C	cervical vertebra, C6	
22-01-007-16	right 5th metatarsal bone distal end	22-01-016-12	C	ervical vertebra, C7	
22-01-007-17	가 right proximal phalanx	22-01-016-13	tho	racic vertebra, T1	
22-01-007-18	가 right proximal phalanx proximal	22-01-016-14	tho	racic vertebra, T2	
22-01-007-19	가 right proximal phalanx proximal	end 22-01-016-15	tho	racic vertebra, T3	
22-01-007-20	가 right proximal phalanx proximal	end 22-01-016-16	tho	racic vertebra, T4	
22-01-007-21	right foot sesamoid bone	22-01-016-17	th	noracic vertebra, T5	
22-01-008-01	left calcaneus	22-01-016-18	th	noracic vertebra, T6	
22-01-008-02	left talus	22-01-016-19	th	noracic vertebra, T7	
22-01-008-03	left navicula	22-01-016-20	thoracic vertebra, T8		
22-01-008-04	left medial cuneiform	22-01-016-21	th	noracic vertebra, T9	
22-01-008-05	가 left lateral cuneiform	22-01-016-21-01	tho	racic vertebra, T10	
22-01-008-06	left cuboid	22-01-016-22		thoracic and lumbar vertebrae fragments	
00.04.000.07	left 1st metatarsal bone	22-01-016-23		right ribs and fragments	
22-01-008-07	ieit 15t iiietatai5ai Duile	22-01-010-23		ngni nos and nagments	

				mm
00.04.040.01	16.1.1		max. length	112.00
22-01-016-01	left clavicle		antpost. midshaft diameter	10.28
			supinf. midshaft diameter	7.94
			max. length	111.00
22-01-016-02	right clavicle		antpost. midshaft diameter	9.82
			supinf. midshaft diameter	7.56
22-01-016-05	left scapula		height	107.52
			breadth	93.36
22-01-016-04	right scapula	a fragments	height	119.38
	J		breadth	89.02
			max. length	261.00
			epicondylar breadth	43.00
22-01-010-01	left humerus vertical diameter of head		vertical diameter of head	
			max. midshaft diameter	17.76
			min. midshaft diameter	14.04
			max. length	269.00
			epicondylar breadth	47.00
22-01-009-01	right humerus		vertical diameter of head	35.07
			max. midshaft diameter	18.89
			min. midshaft diameter	15.18
			max. length	206.00
22-01-012-01	left radius		antpost. midshaft diameter	10.57
			7} medlat. midshaft diameter	11.08
			max. length	181.00
22-01-011-01	right radius	proximal end fragments	antpost. midshaft diameter	10.34
	0		7} medlat. midshaft diameter	11.15
			max. length	223.00
			antpost. midshaft diameter	10.62
22-01-012-02	left ulna		7} medlat. midshaft diameter	11.33
0. 0 0_			physiological length	199.00
			min. circumference	31.00
			max. length	219.00
			antpost. midshaft diameter	10.82
22-01-011-02	right ulna	distal end fragments	7 medlat. midshaft diameter	10.36
22-01-011-02	ngnt uma	distal end fragments	physiological length	10.30
			min. circumference	200.00
			max. length	390.00
			bicondylar length	387.00
			epicondylar breadth	70.00
			max. diameter of the femur head	40.10
22-01-004-01, 02, 03	, 가	, left femur shaft, lateral condyle, head	antpost. subtrochanteric diameter	24.94
			7} medlat. subtrochanteric diameter	28.63
			antpost. midshaft diameter	23.76
			7} medlat. midshaft diameter	21.81
			midshaft circumference	75.00
			length	327.00
			max. proximal epiphyseal breadth	63.00
22-01-005-01	right tibia		max. distal epiphyseal breadth	46.38
	9 - 1		max. diameter at the nutrient foramen	29.63
			7 medlat. diameter at the nutrient foramen	20.63
			circumference at the nutrient foramen	79.00

			mm
22-01-006-02	left fibula	max. length	
22-01-000-02	ieit libula	max. midshaft diameter	
22-01-005-02	right fibula	max. length	311.0
22-01-005-02	ngnt nould	max. midshaft diameter	
22-01-008-01	left calcaneus	max. length	71.2
22-01-000-01	iett Calcatieus	middle breadth	
22 04 007 04	right colonous	max. length	72.9
22-01-007-01	right calcaneus	middle breadth	
		length	
		width	41.
		height	28.
		length of the trochlea	33.7
22-01-008-02	left talus	breadth of the trochlea	
		head-neck length	19.
		height of the head	27.
		breadth of the posterior articular surface	20.
		length of the posterior articular surface	31.
		length	56.
		width	40.
		height	29.
	right talus	length of the trochlea	
22-01-007-02		breadth of the trochlea	
		head-neck length	20.
		height of the head	27.
		breadth of the posterior articular surface	21.
		length of the posterior articular surface	30.
		max. distance of rt. & lt. sup. facet	48.
		max. distance of rt. & lt. inf. facet	42
		width	66.
		length	39.
22-01-016-06	cervical vertebra, C1, atlas	height of ant. arch	12
		height of post. arch	8.
		7 max. transverse diameter of vertebral foramen	25.
		left sup. &inf. facet height	18.
		right sup. &inf. facet height	18.
		width	48
		ventral height of dens	32
22-01-016-07	contical vortabra C2 avia	height of post. arch	14
	cervical vertebra, C2, axis	max. sagittal diameter of vertebral foramen	15.
		7} max. transverse diameter of vertebral foramen	19.
		max. distance of rt. & lt. sup. facet	43.





















22-01-001-07



22-01-001-07



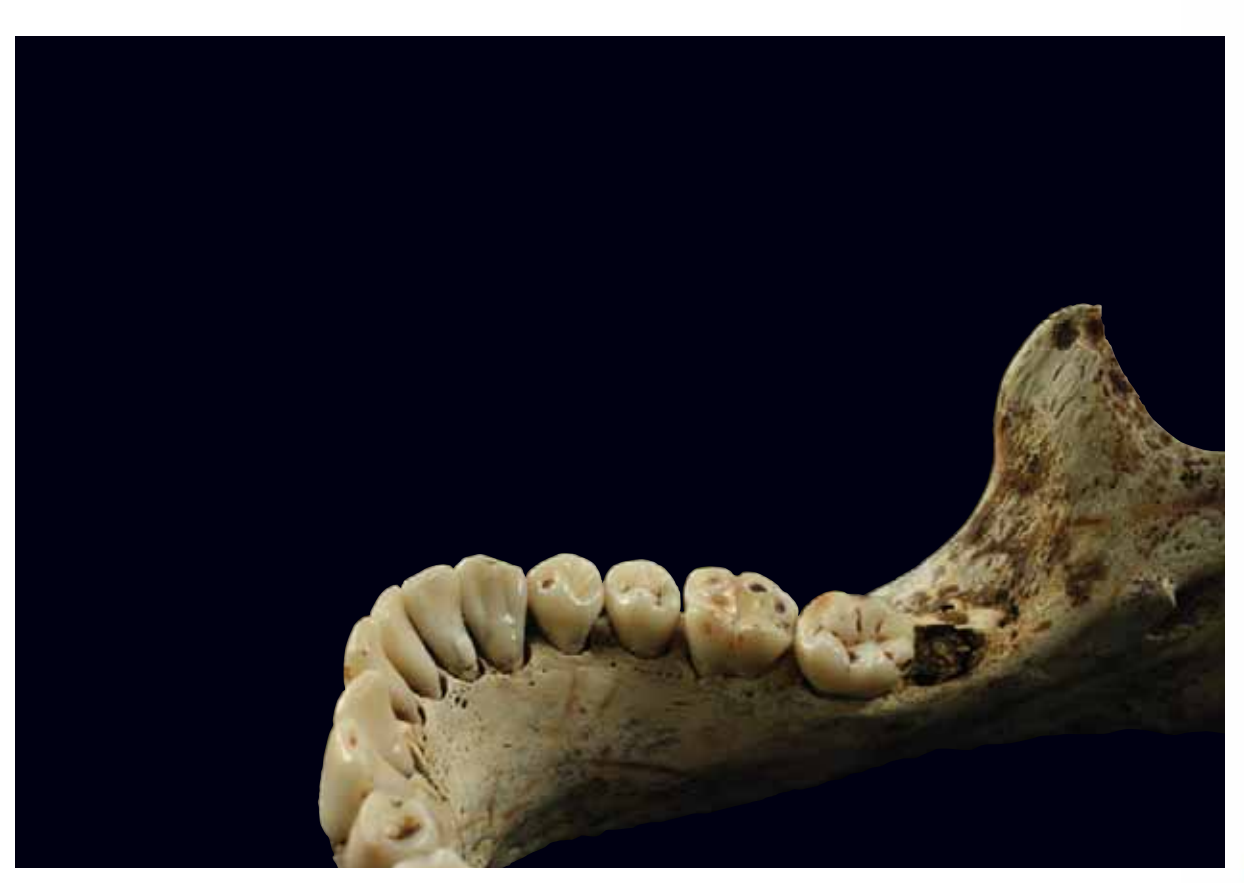
22-01-001-07



22-01-001-07



22-01-001-07



22-01-001-07



22-01-001-07



22-01-001-07

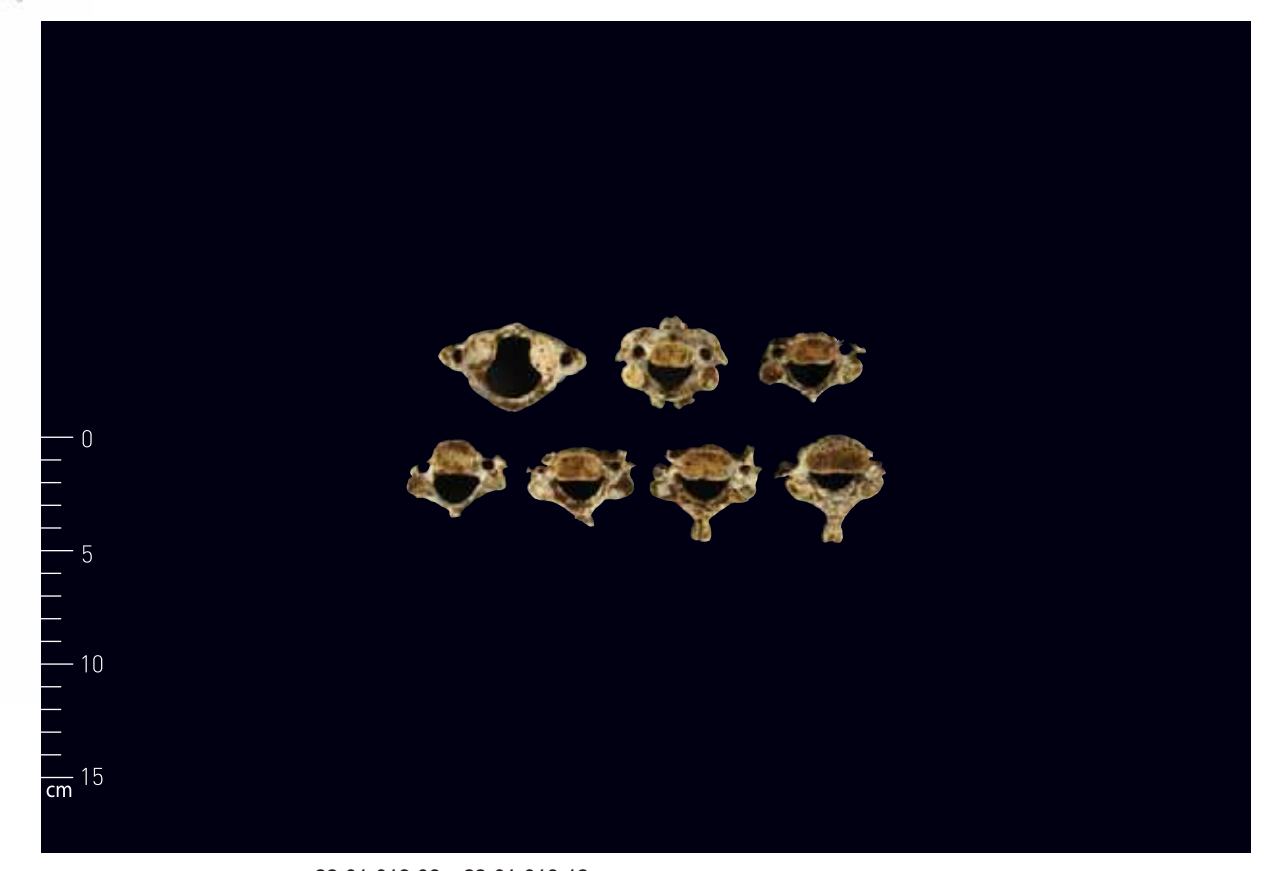


22-01-002-01

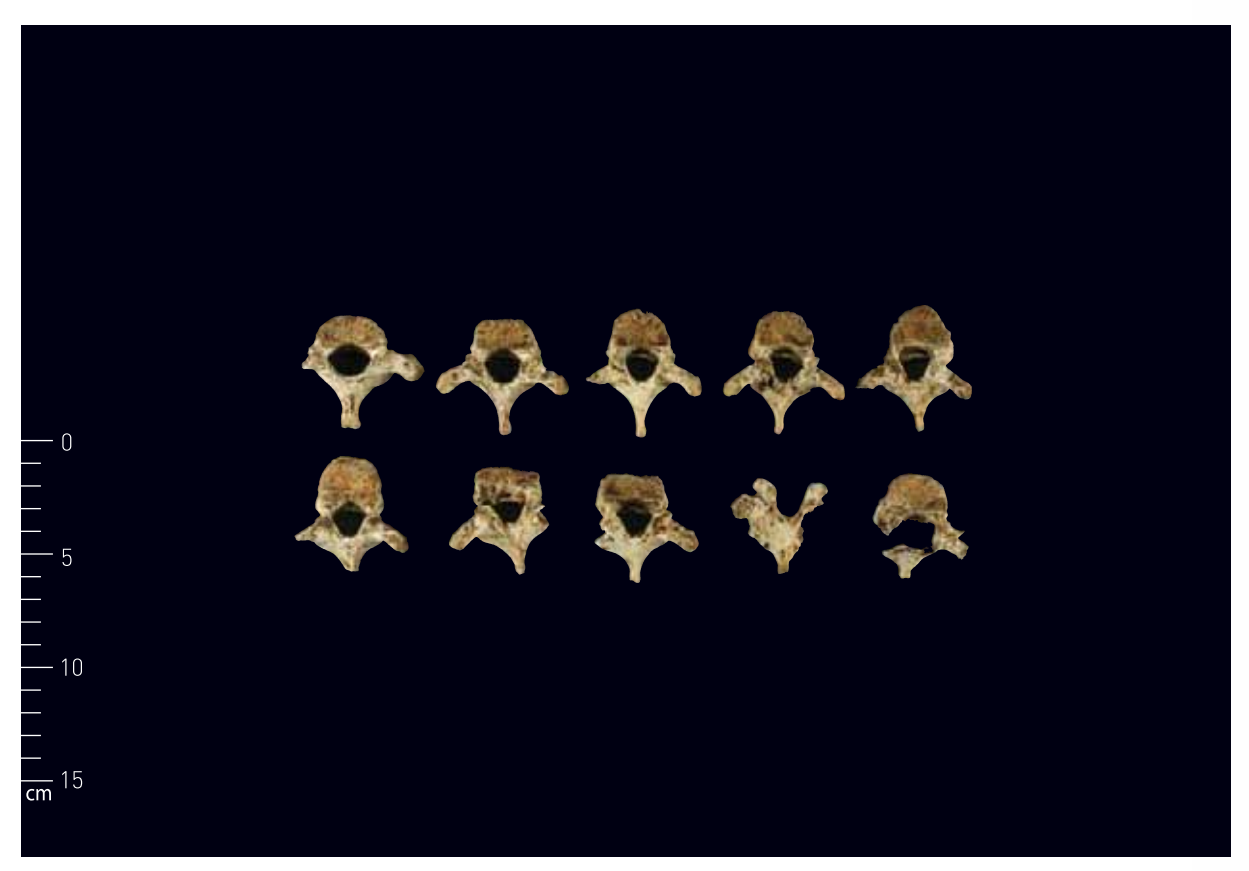




22-01-016-06 ~ 22-01-016-12



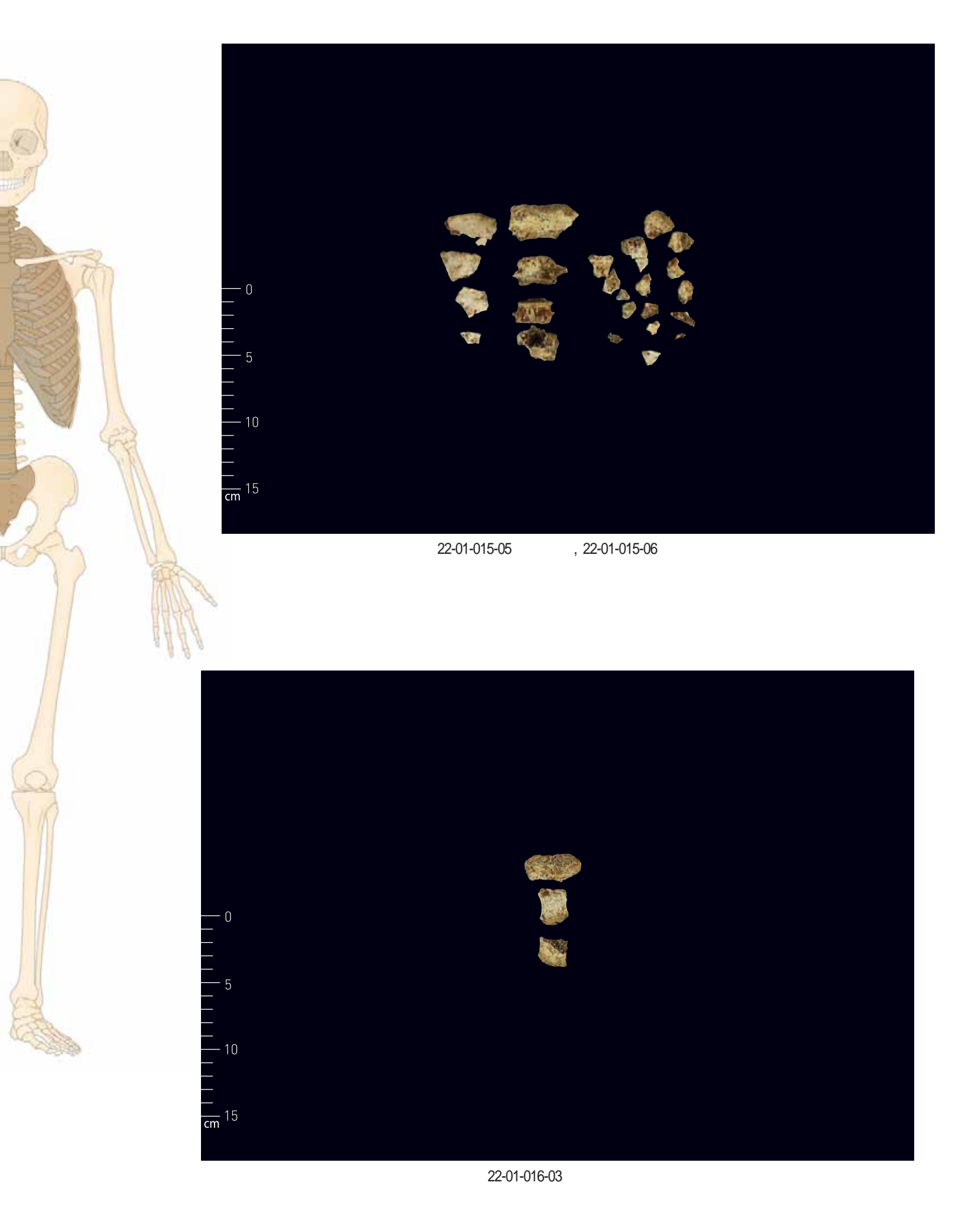
22-01-016-06 ~ 22-01-016-12



22-01-016-13 ~ 22-01-016-21



22-01-016-13 ~ 22-01-016-21

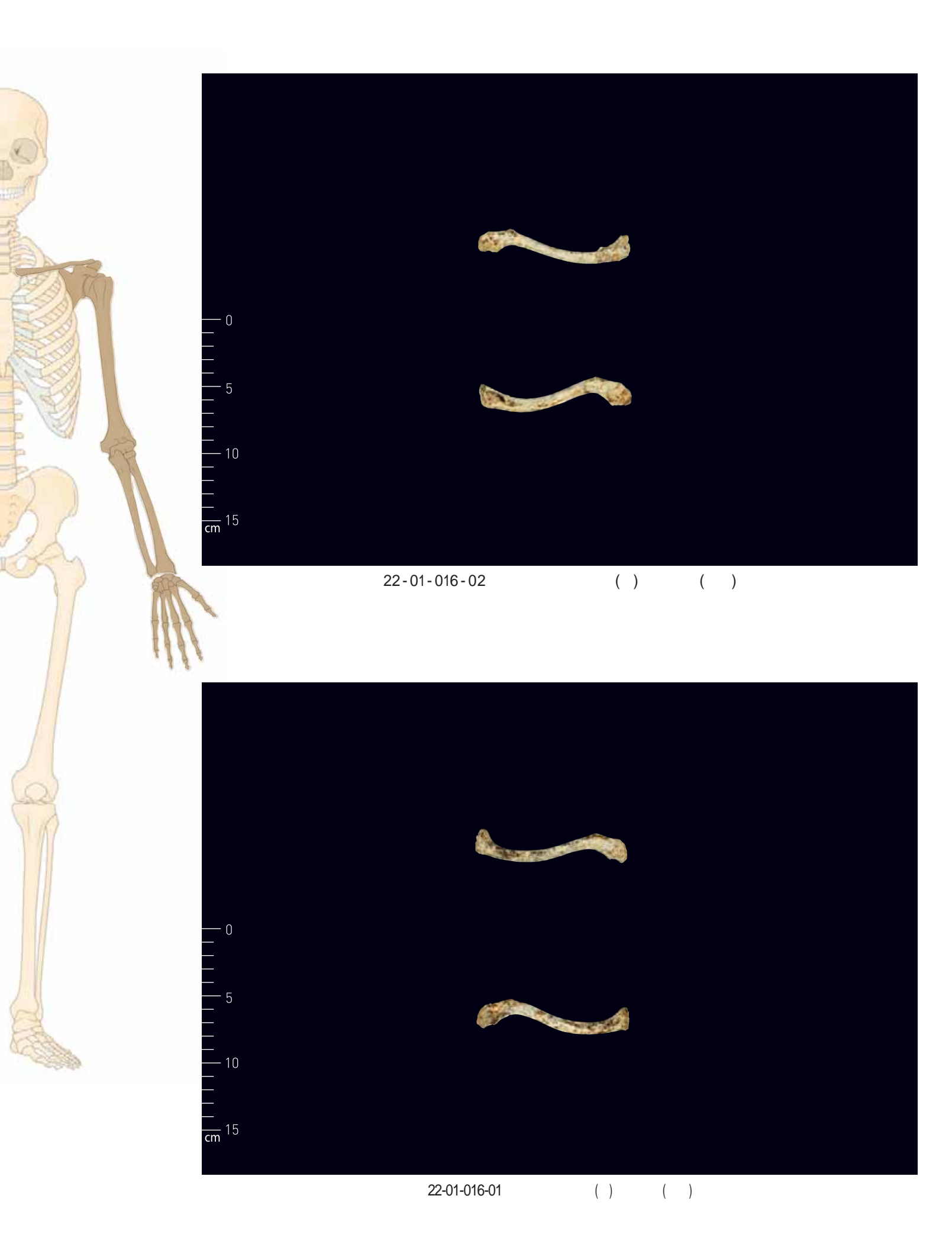




22-01-016-23



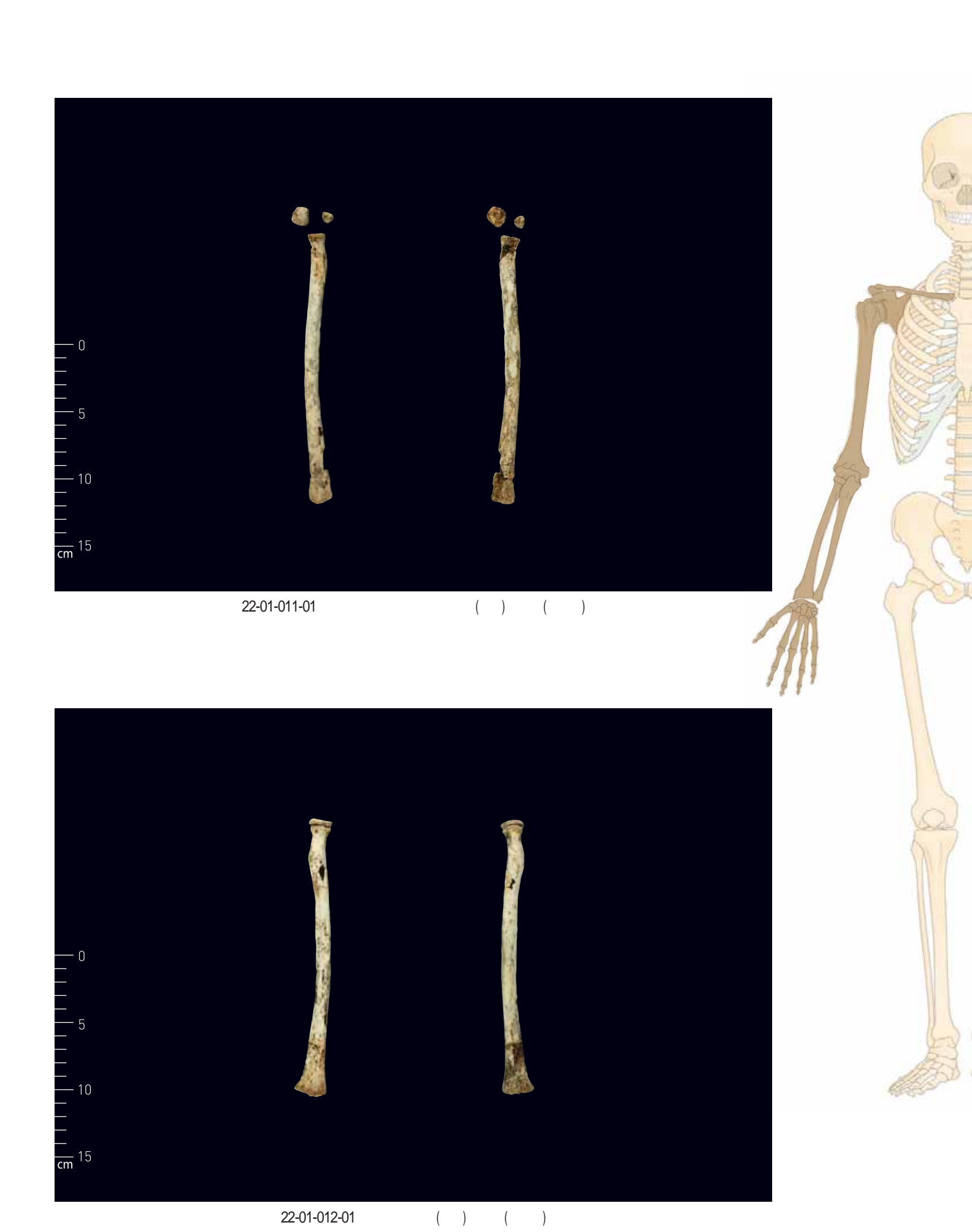
22-01-016-24

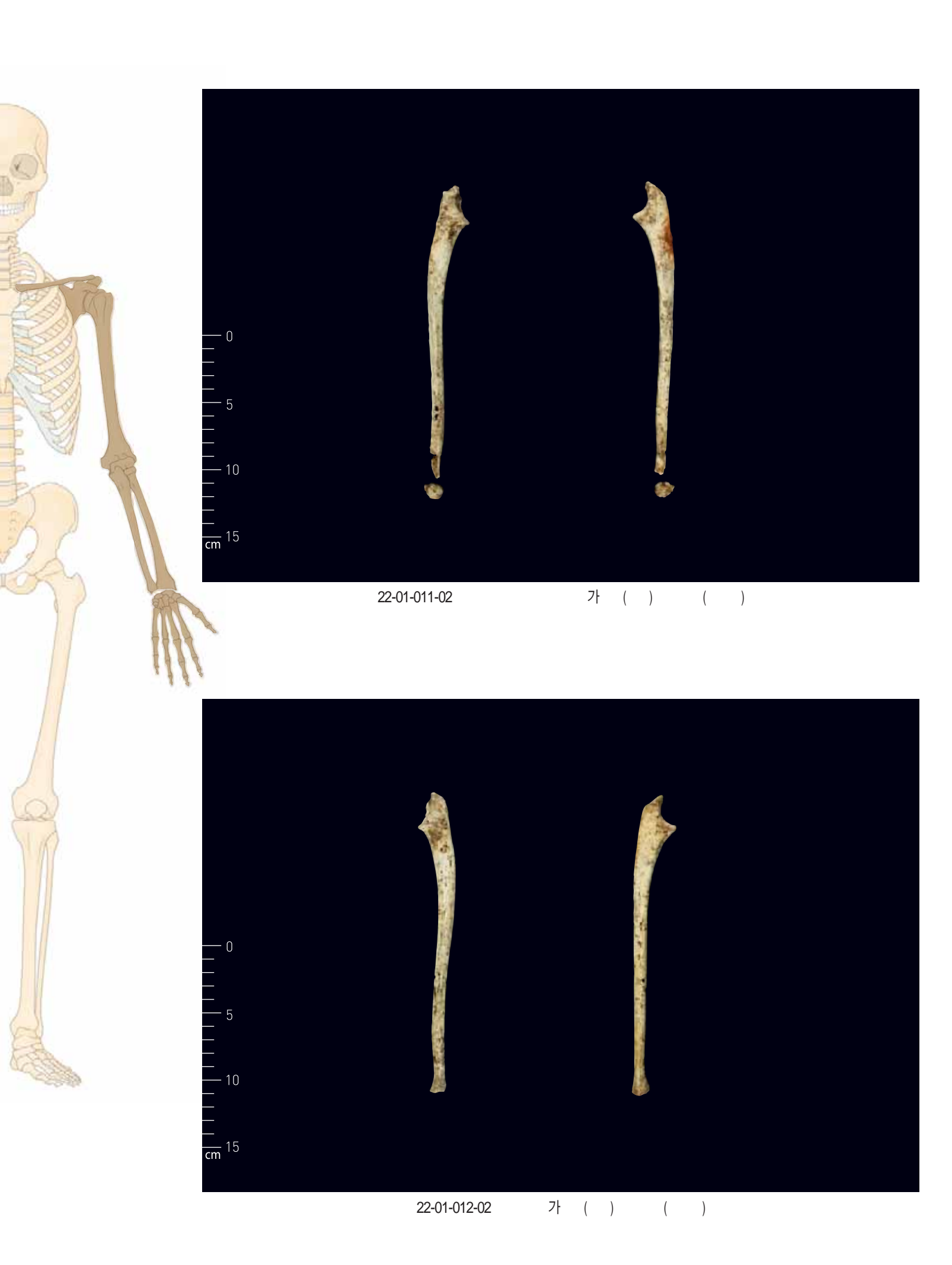


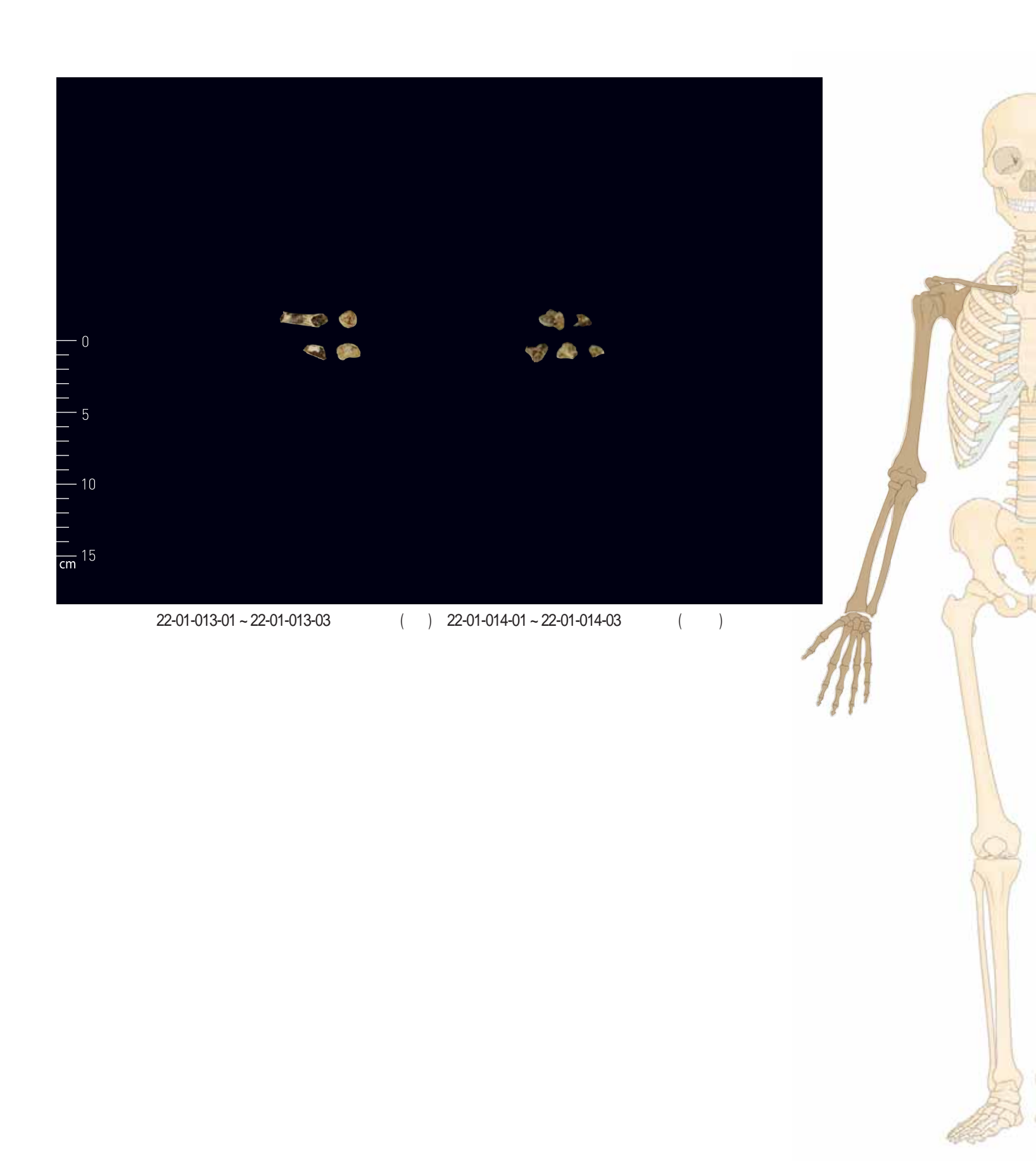




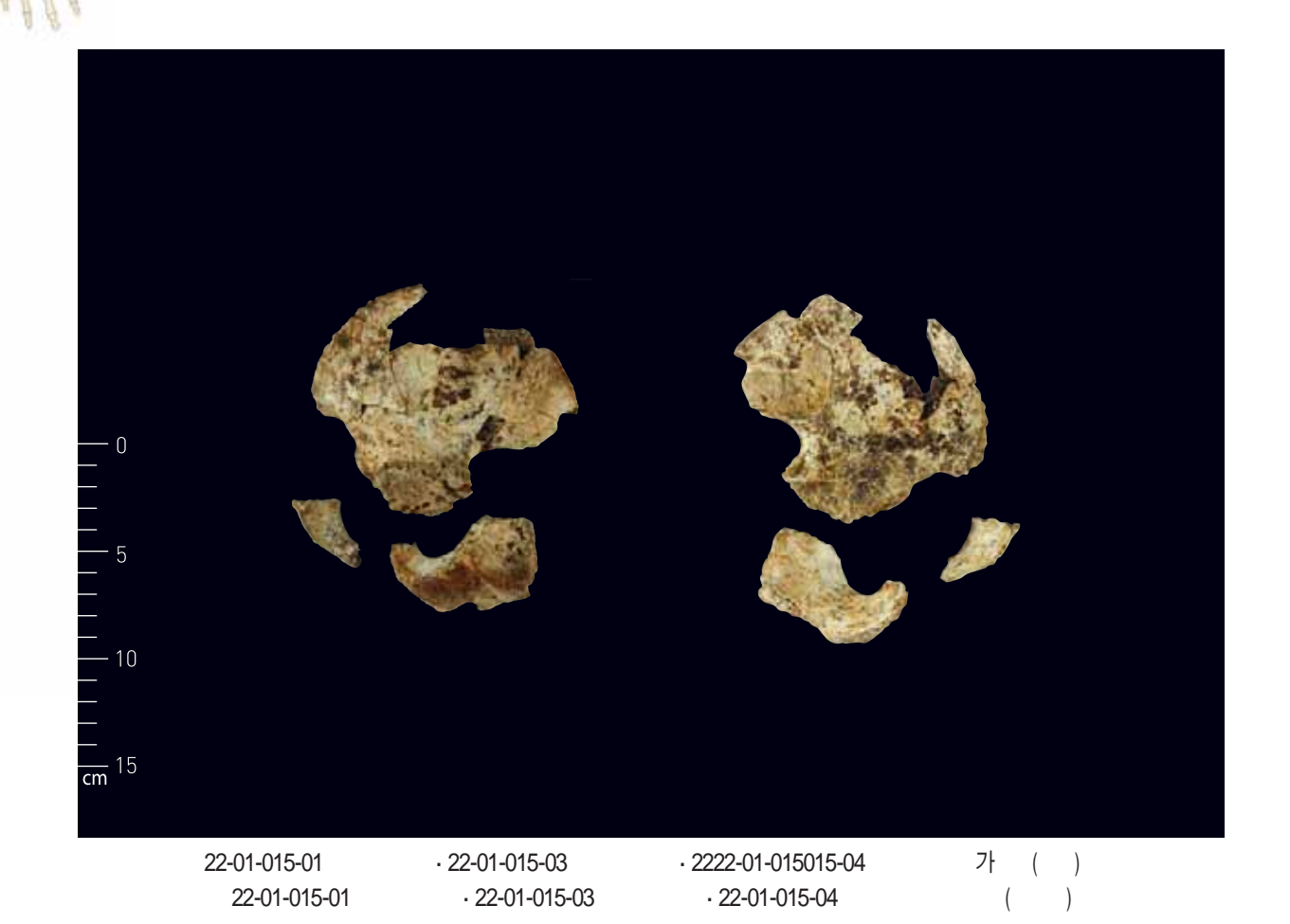




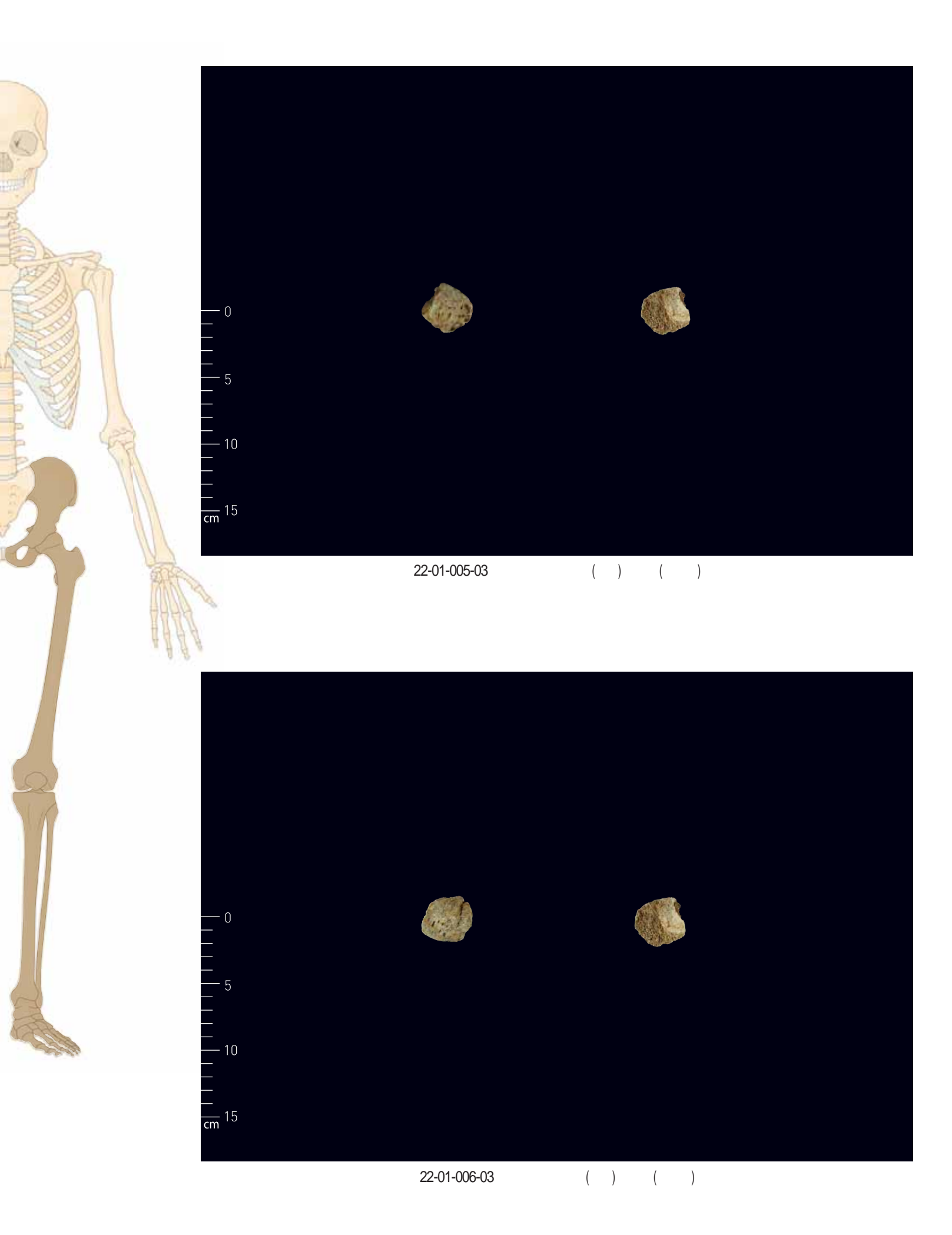






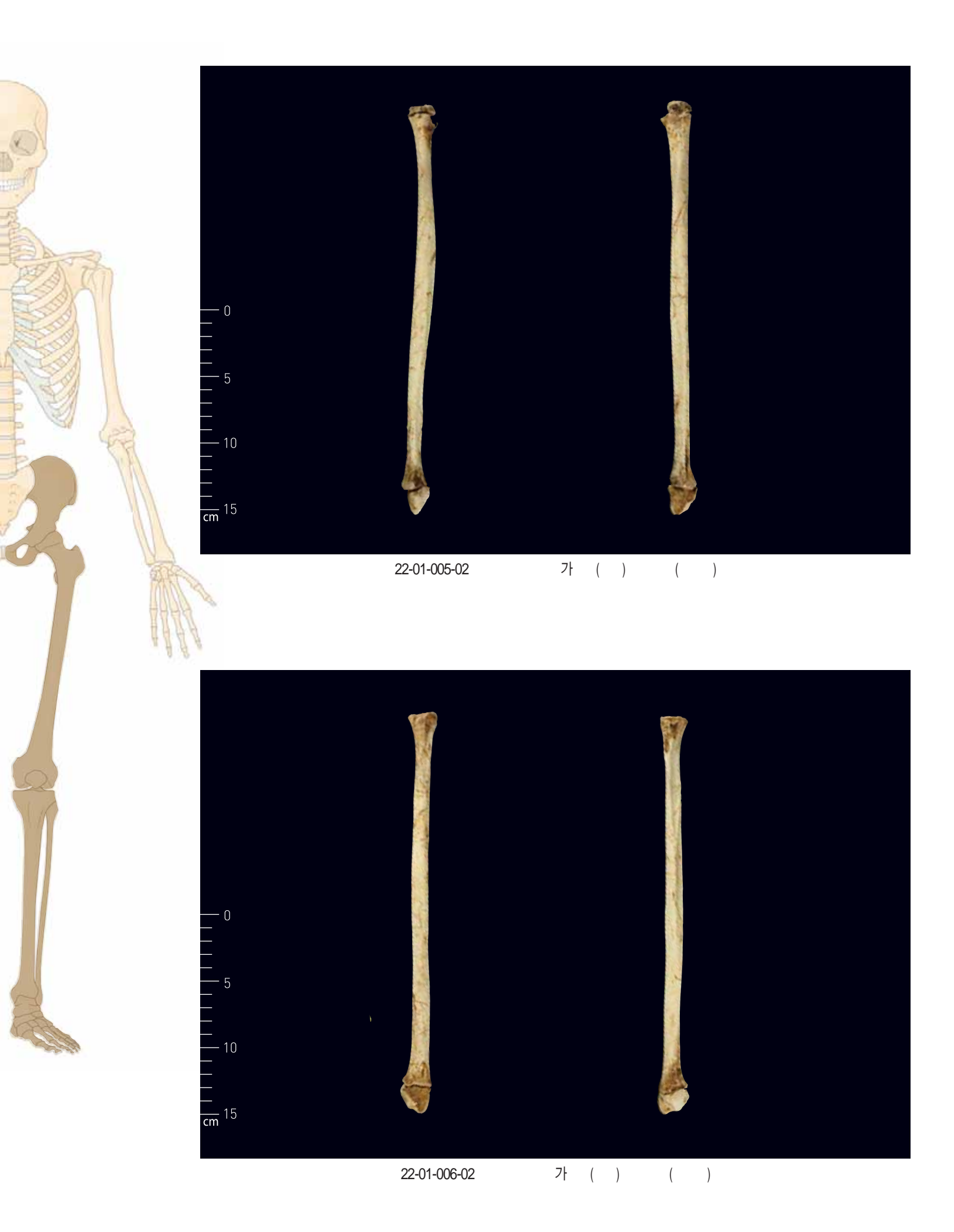












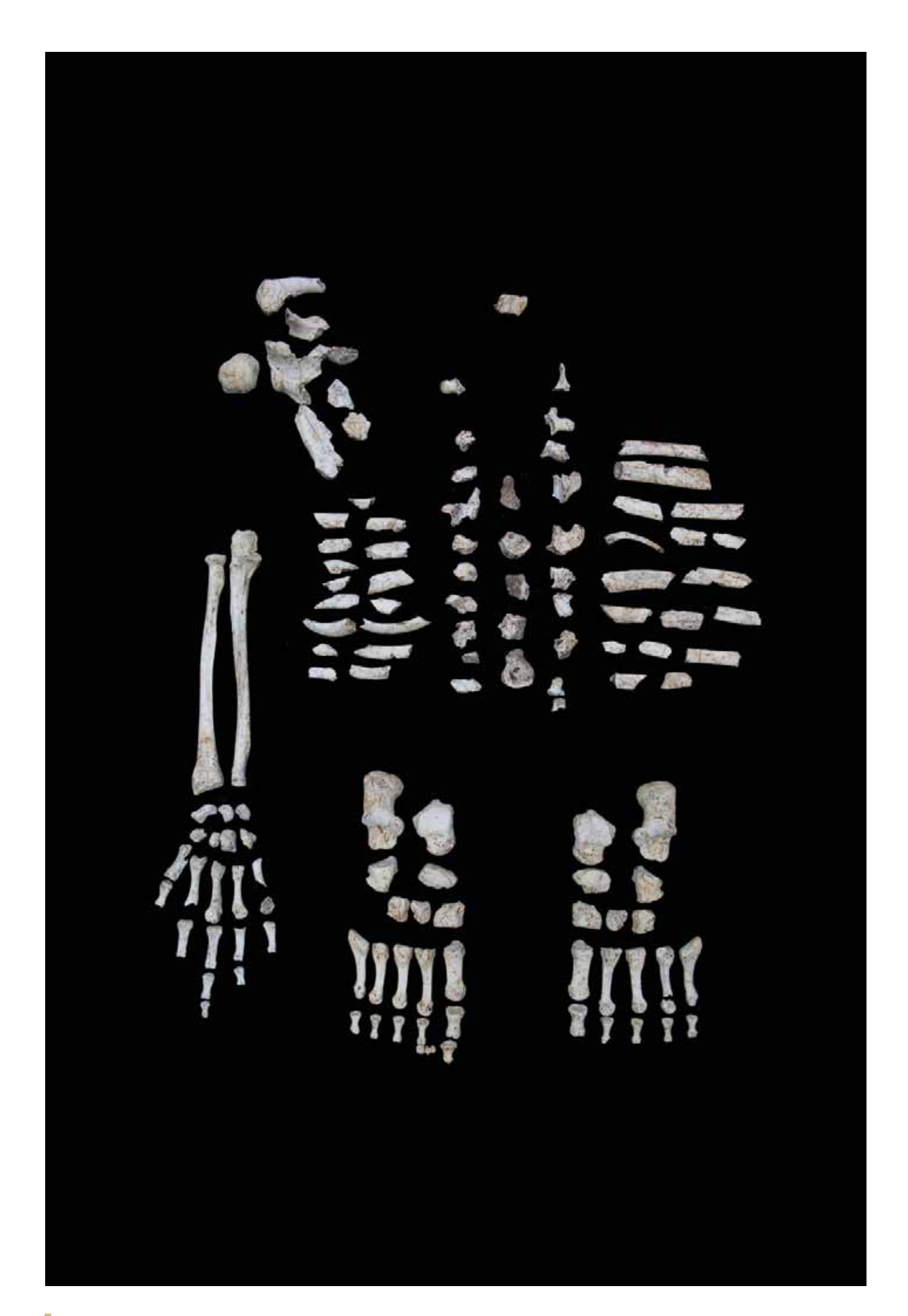












32-U1-001	right humerus distal part		
42-U1-002	right humerus proximal part		
32-U1-002	right radius and ulna, right humeral head		
32-U1-003	right carpal bones		
32-U1-004	가 right metacarpal and phalangeal bones, 가 foot phalangeal bone		
42-U3-001	right hip bone		
42-U3-002	right scapula fragment and clavicle		
42-U3-003	right scapula		
42-U3-004	right ribs		
42-U3-005	rib fragments, manubrim fragments, vertebral fragments		
42-U3-006	vertebral fragments		
34-02-001	right tibia and fibula distal part		
34-02-002	left tibia and fibula distal part		
34-02-003	right tarsal bones		
34-02-004	left tarsal bones		
34-02-005	가 right metatarsal and phalangeal bones		
34-02-006	가 left metatarsal and phalangeal bones		

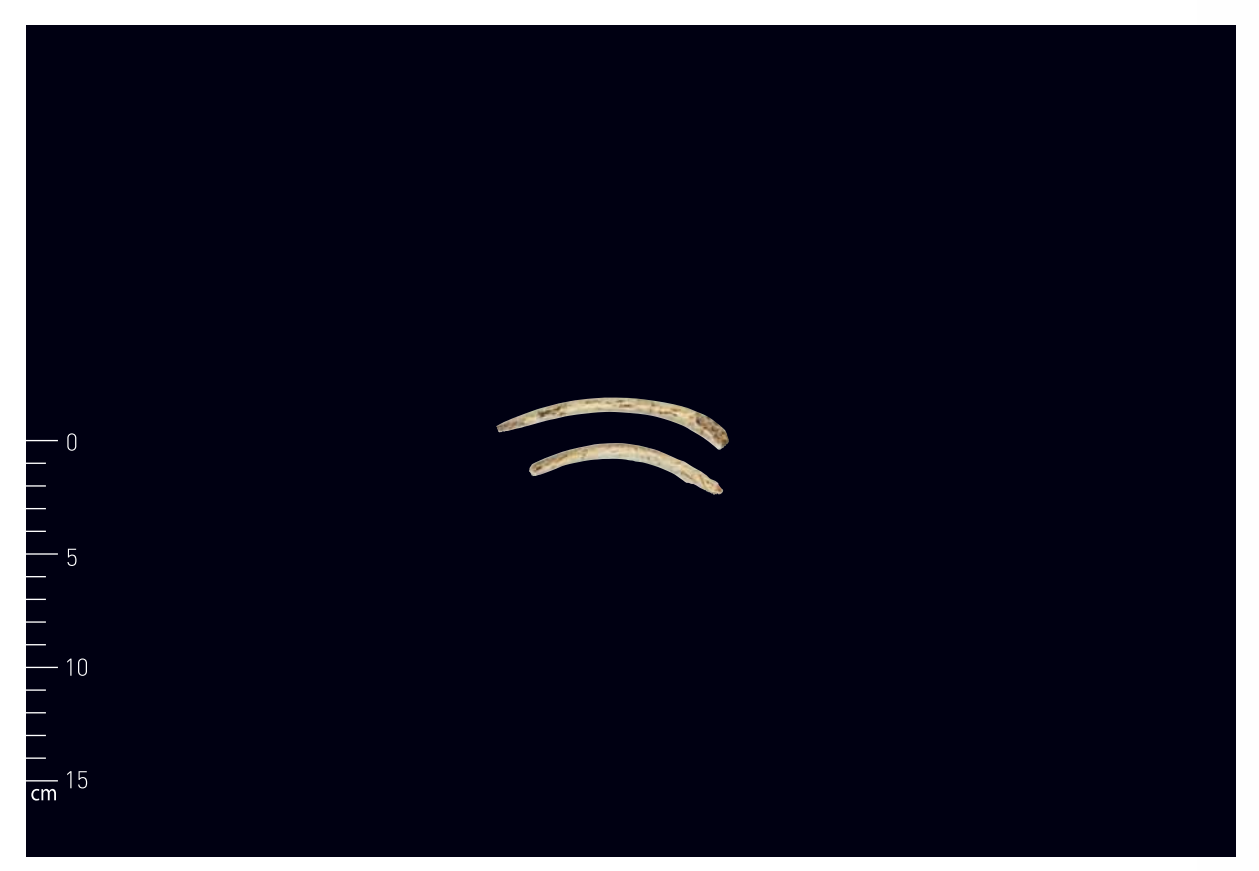
			mm
34-02-004	left calcaneus	max. length	82.17
34-02-004	ien calcaneus	middle breadth	43.01
34-02-003	right colonnus	max. length	82.23
34-02-003	right calcaneus	middle breadth	43.53
		length	56.08
		width	44.56
		height	32.91
		length of the trochlea	33.08
34-02-004	left talus	breadth of the trochlea	30.13
		head-neck length	22.43
		height of the head	29.54
		breadth of the posterior articular surface	21.80
		length of the posterior articular surface	36.6
		length	57.7
		width	44.6
		height	82.2 43.5 56.0 44.5 32.9 33.0 30.1 22.4 29.5 21.8 36.6 57.7 44.6 33.1 33.9 30.4 23.3 30.6 22.3
		length of the trochlea	33.9
34-02-003	right talus	breadth of the trochlea	30.4
		head-neck length	23.3
		height of the head	30.63
		breadth of the posterior articular surface	22.3
		length of the posterior articular surface	33.61



42-U3-006



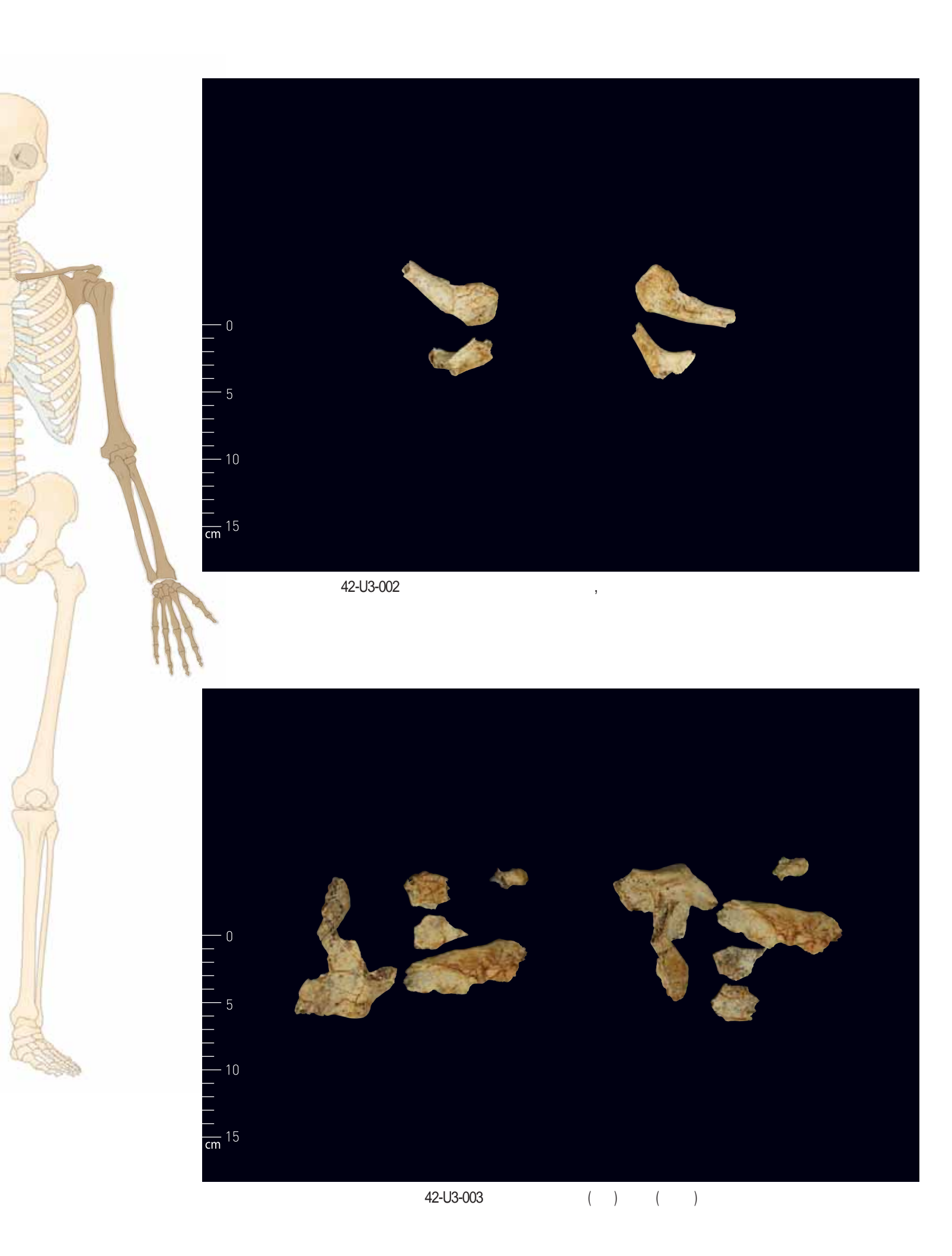
42-U3-004



42-U3-004



42-U3-005

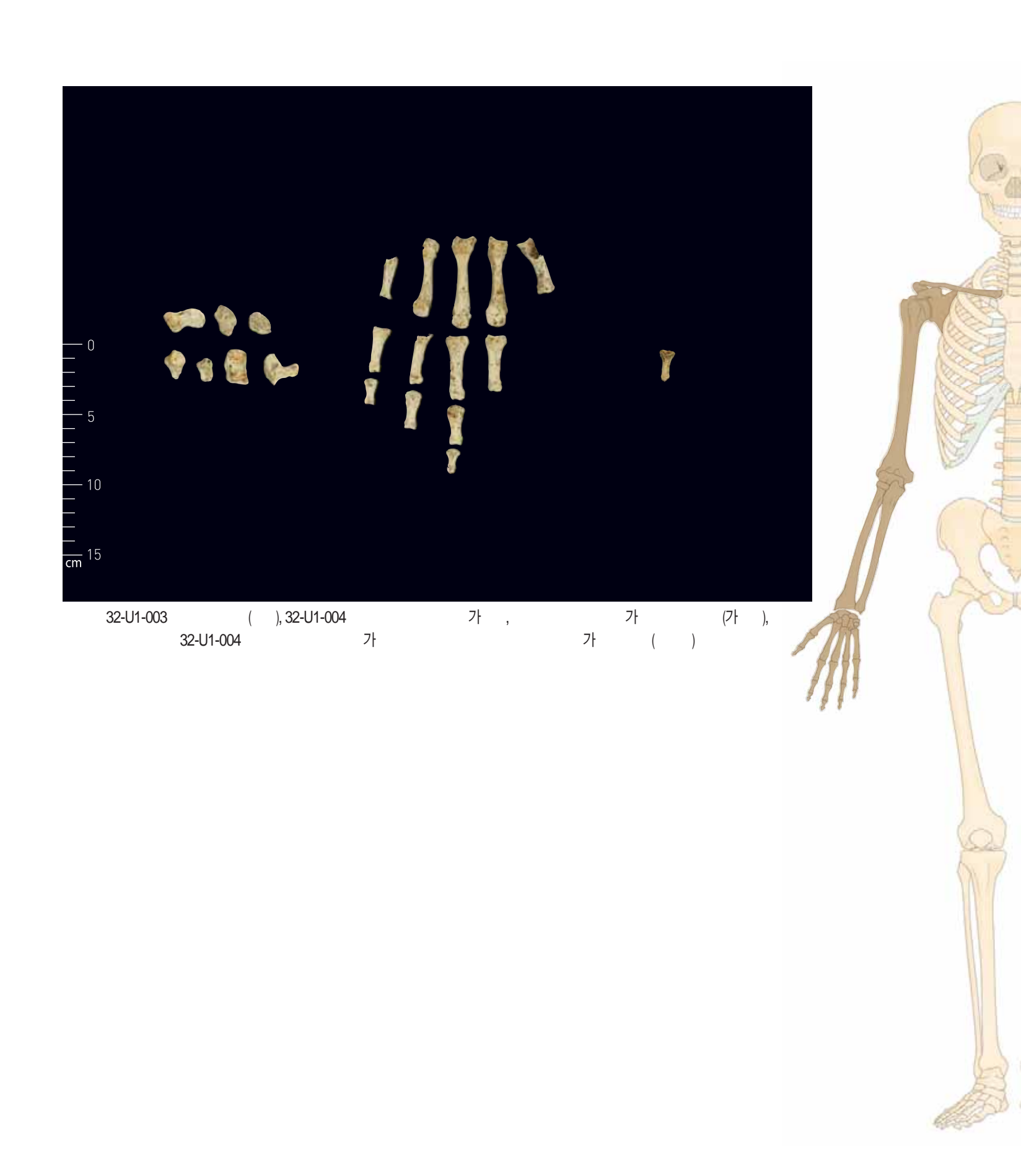






42-U1-002 , 32-U1-002







42-U3-001



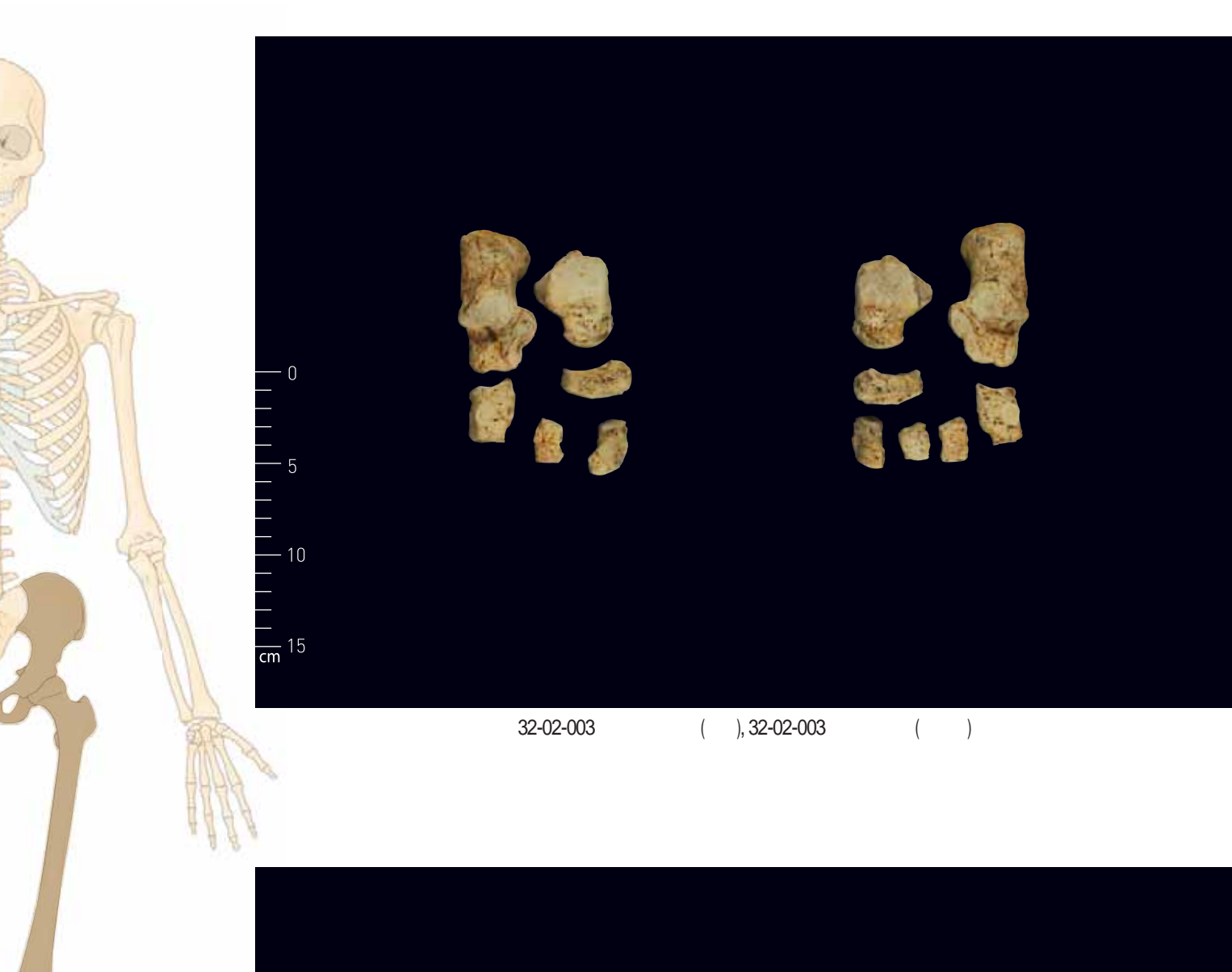
42-U3-001

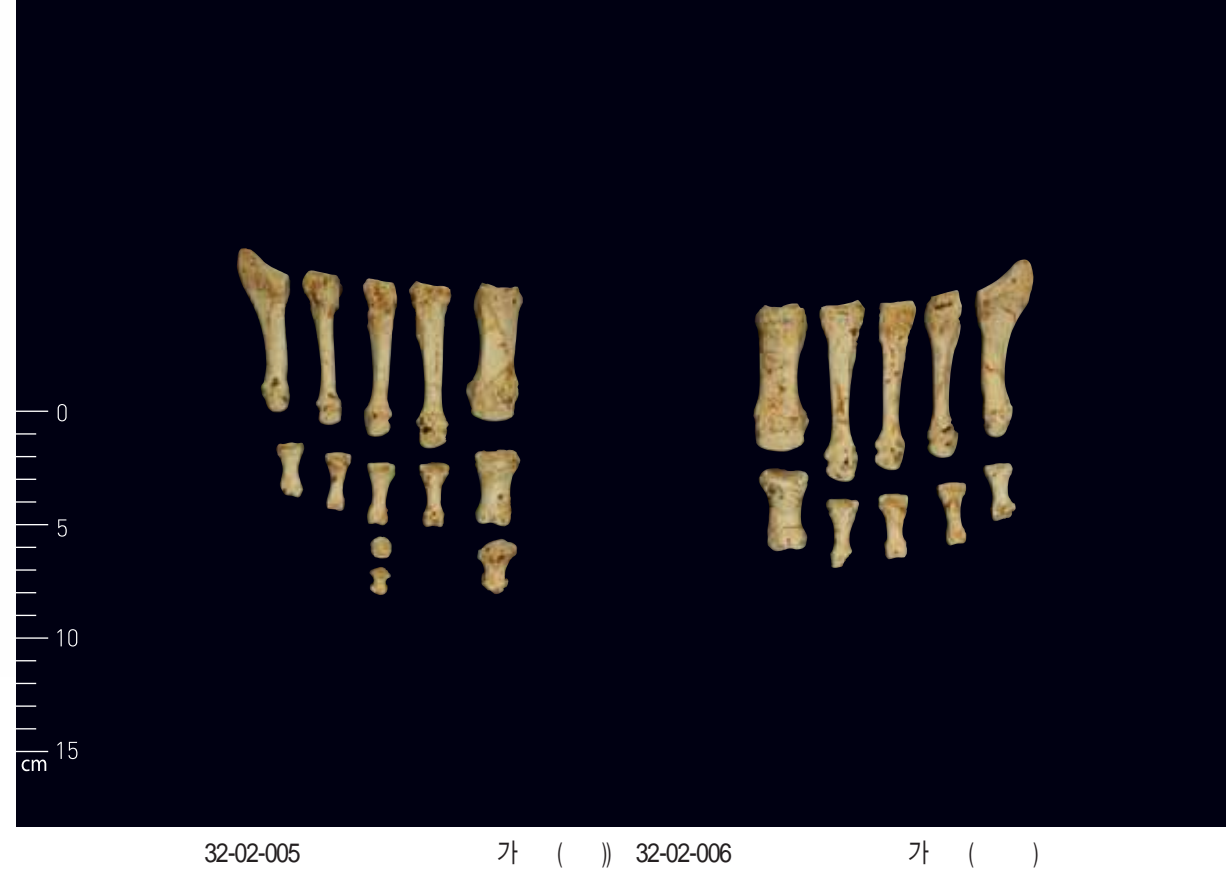


32-02-001



32-02-002













42-U2-001	right humerus proximal part,	(vretebra and right scapula fragments
42-U2-002	left humerus proximal part	
42-U2-003	left humerus shaft	
42-U2-004	cervical and thoracic vertebra fragments	
41-U4-001	skull fragments	
42-U6-001	2 two fragments of left condylar process	
41-U7-001	left clavicle	
41-U7-002	rib fragments	
44-03-001	right tibia and fibula distal part	
44-03-002	left tibia and fibula distal part	
44-03-003	right tarsal bones	
44-03-004	left tarsal bones	
44-03-005	7 right metatarsal and phalangeal bones	
44-03-006	7} left metatarsal and phalangeal bones	

44-03-004	left calcaneus	max. length	
11 00 007	ieit Galgarieus	middle breadth	
44-03-003	right calcaneus	max. length	
44-03-000		middle breadth	
		length	
		width	
		height	
		length of the trochlea	
44-03-004	left talus	breadth of the trochlea	
		head-neck length	
		height of the head	
		breadth of the posterior articular surface	
		length of the posterior articular surface	
		length	
		width	
44-03-003		height	
		length of the trochlea	
	right talus	breadth of the trochlea	
		head-neck length	
		height of the head	
		breadth of the posterior articular surface	
		length of the posterior articular surface	





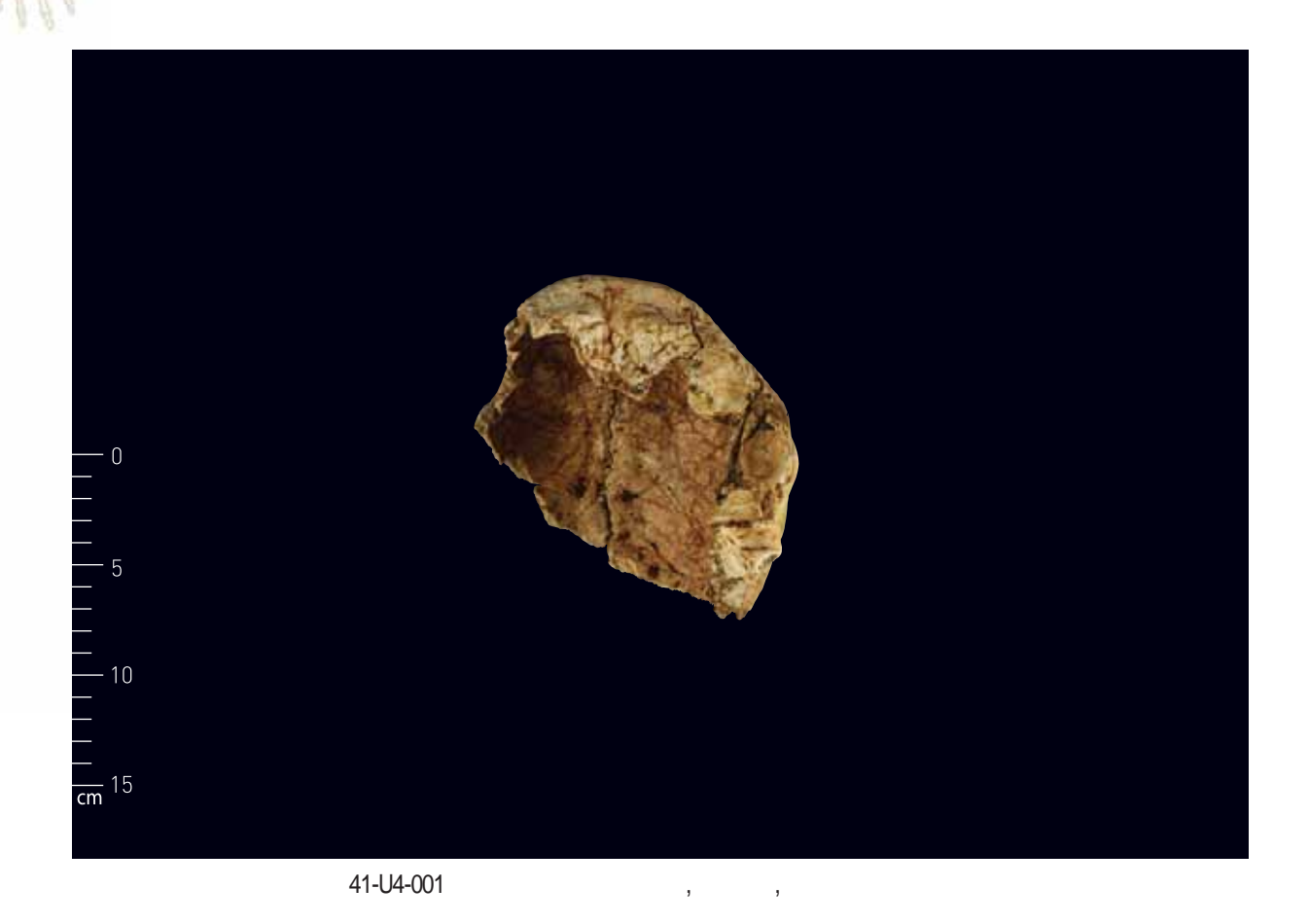


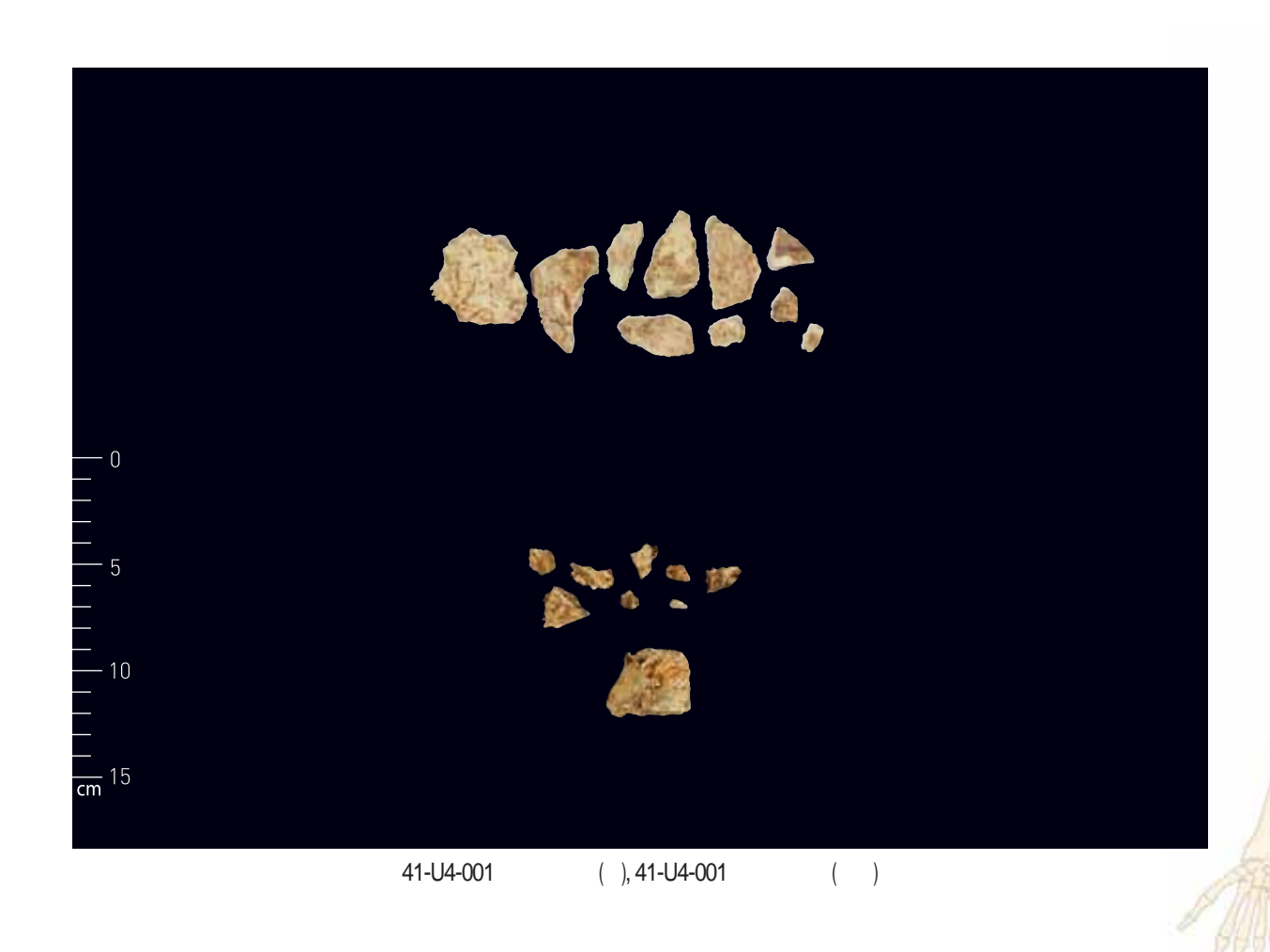
41-U4-001

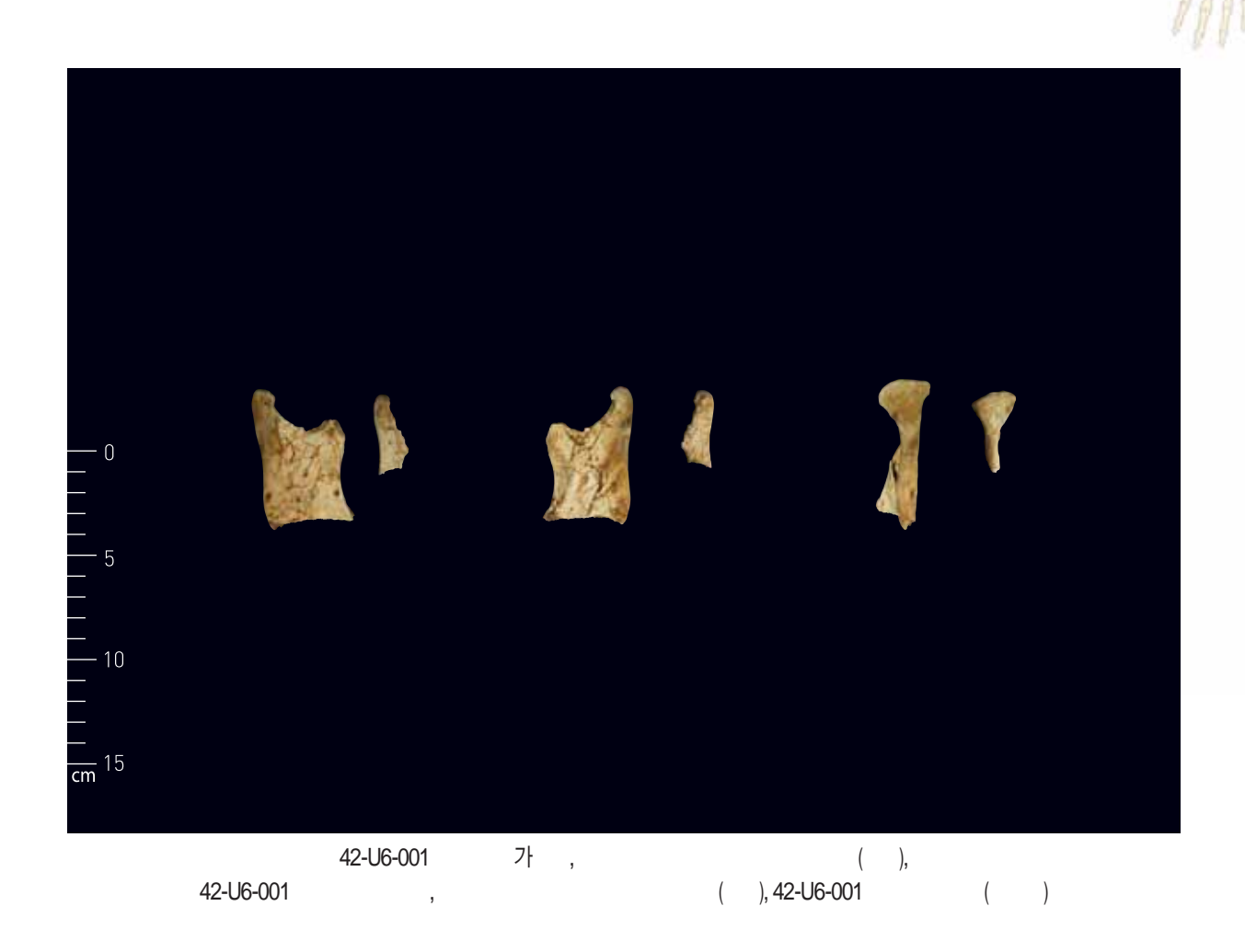


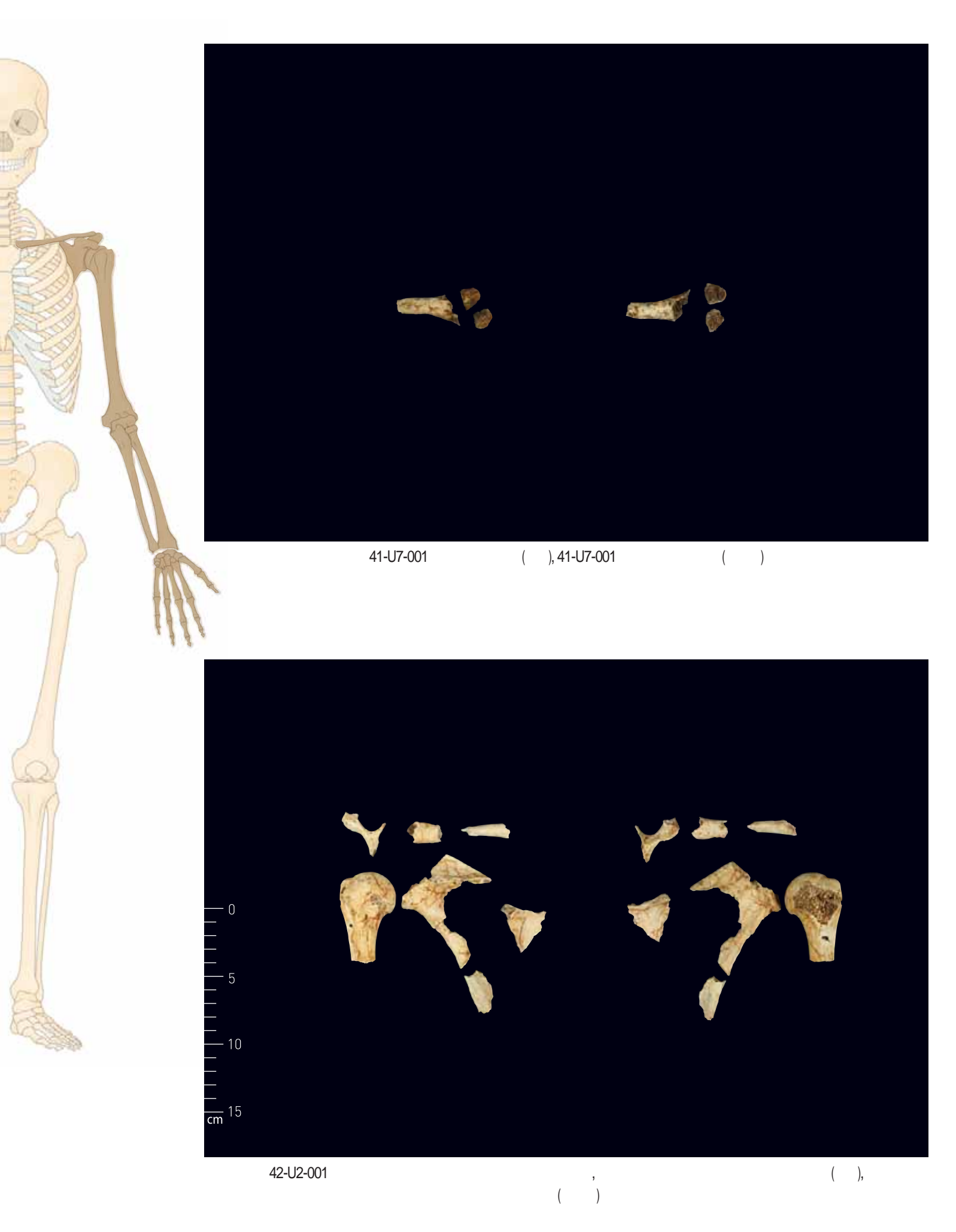
41-U4-001 , ,

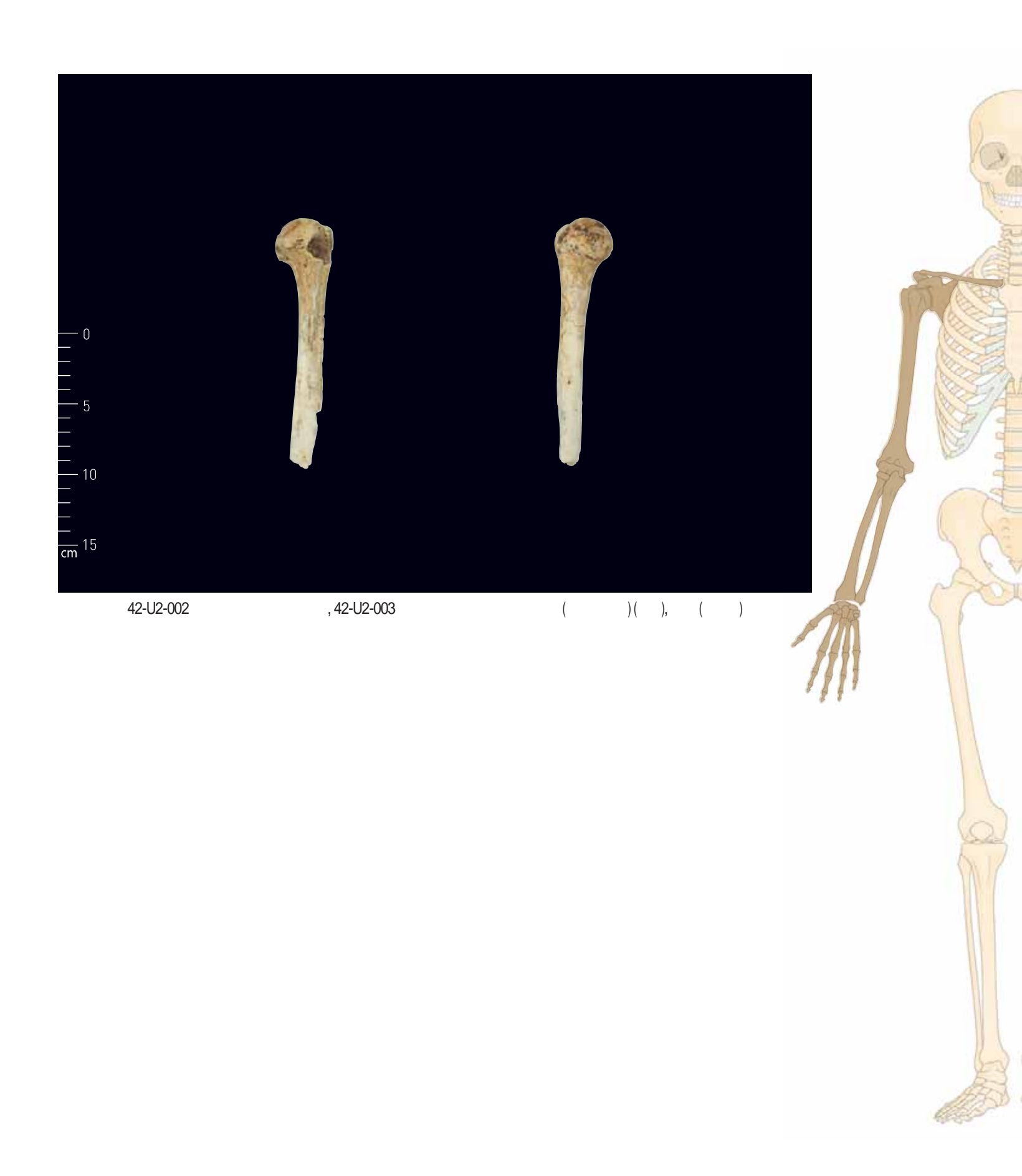










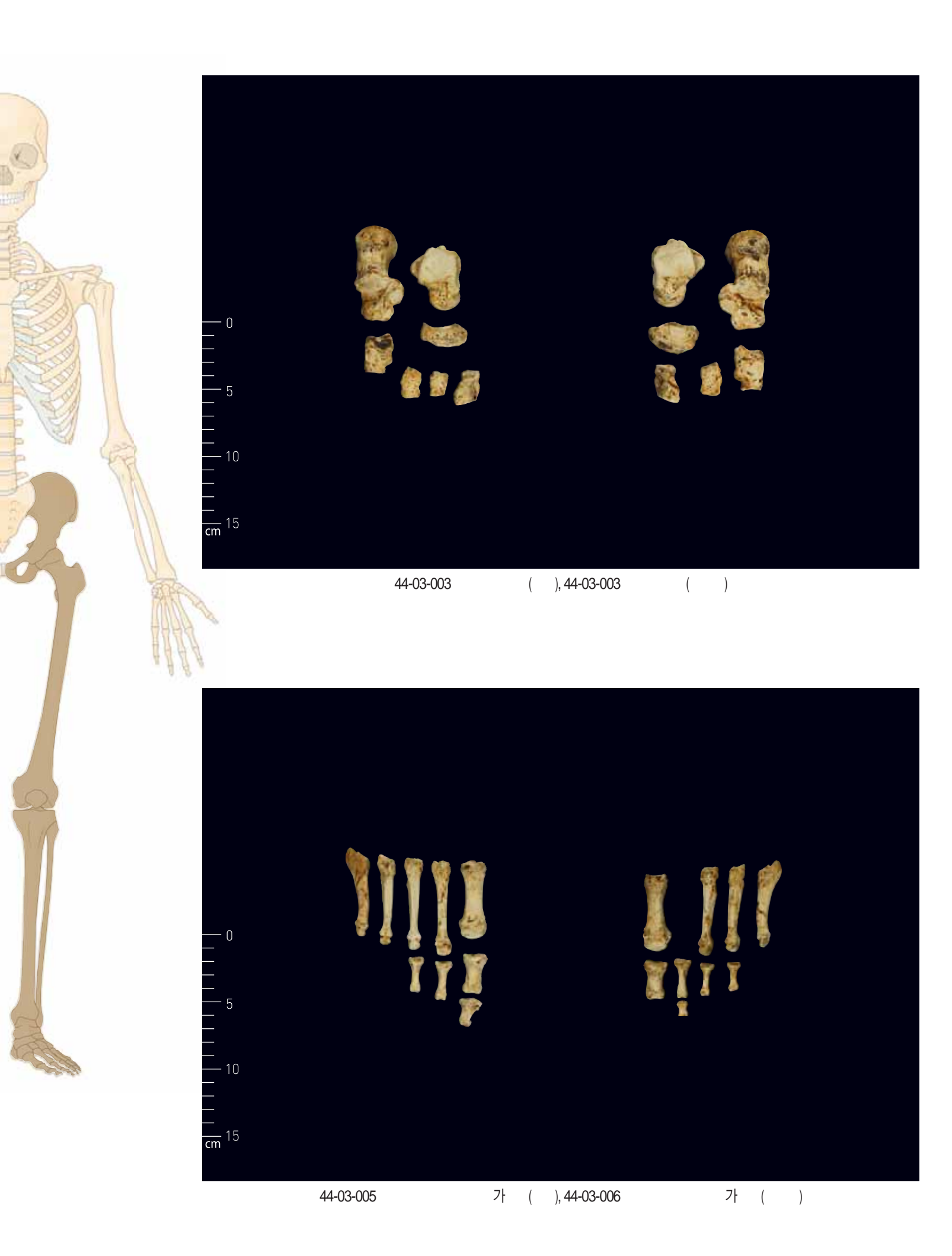








44-03-002

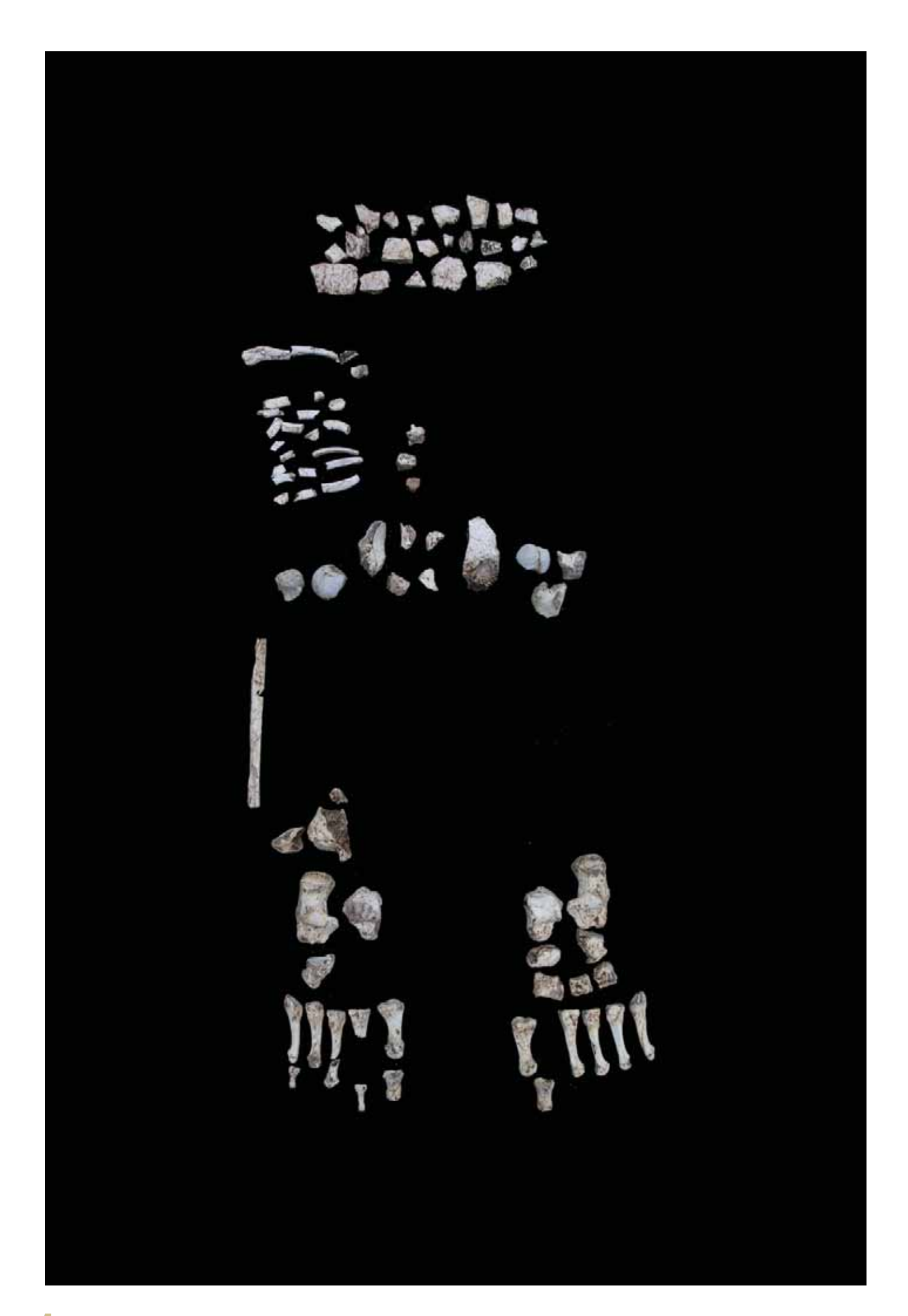












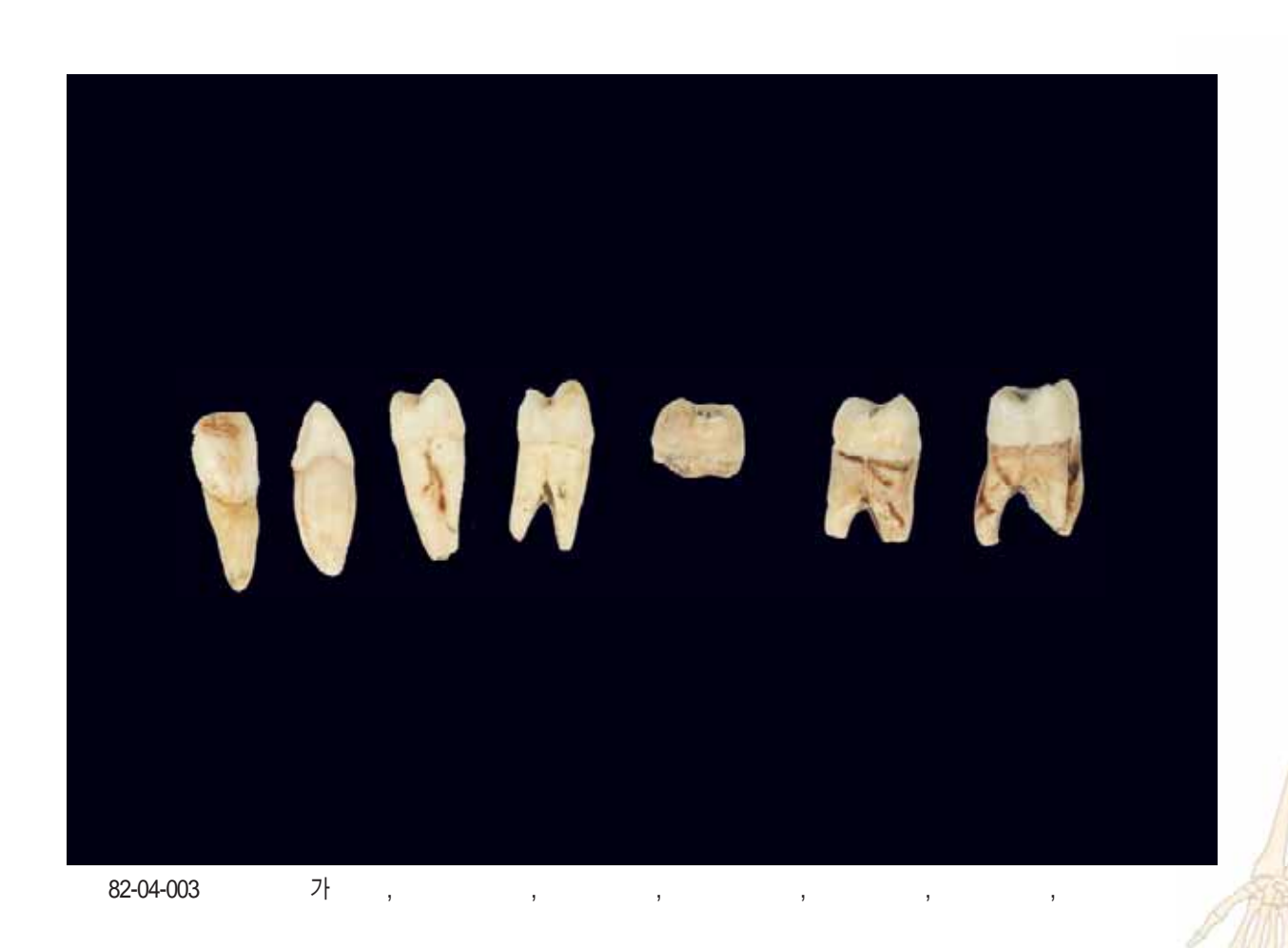
82-04-001	skull fragments
82-04-002	mandibular teeth
82-04-003	maxillary teeth
82-04-004	right clavicle, rib fragments
82-04-005	first cervical vertebra
82-04-006	가 mandible with molar tooth
82-04-007	vertebral fragments
72-04-001	both hip bones
72-04-002	right fremur head
72-04-003	left fremur head
73-04-001	right tibia and fibula distal part
73-04-002	left tibia and fibula distal part
74-04-001	right tarsal bones
74-04-002	left tarsal bones
74-04-003	가 right metatarsal and phalangeal bones
74-04-004	7 left metatarsal and phalangeal bones

74-04-002	left calcaneus	max. length	75
74-04-002	ieit calcalleus	middle breadth	39
74-04-001	right calcangue	max. length	72
74-04-001	right calcaneus	middle breadth	37
		length	52
		width	40
		height	29
	left talus	length of the trochlea	30
74-04-002		breadth of the trochlea	26
		head-neck length	1
		height of the head	23
		breadth of the posterior articular surface	2
		length of the posterior articular surface	2
		length	5
		width	3
74-04-001		height	2
		length of the trochlea	3
	right talus	breadth of the trochlea	
		head-neck length	1:
		height of the head	2
		breadth of the posterior articular surface	2:
		length of the posterior articular surface	28



82-04-001







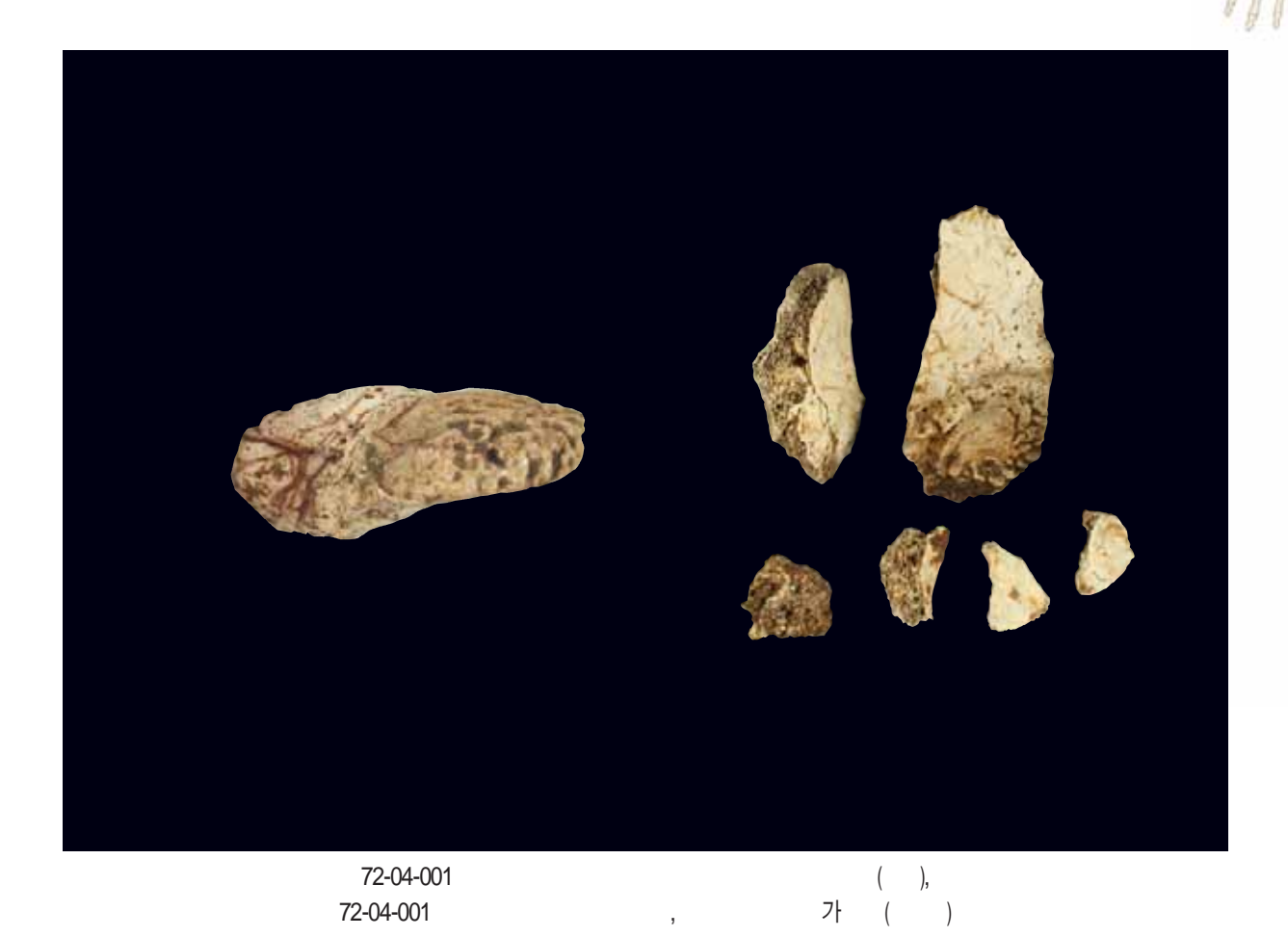
82-04-002 ,7, , , , , , , , , ,

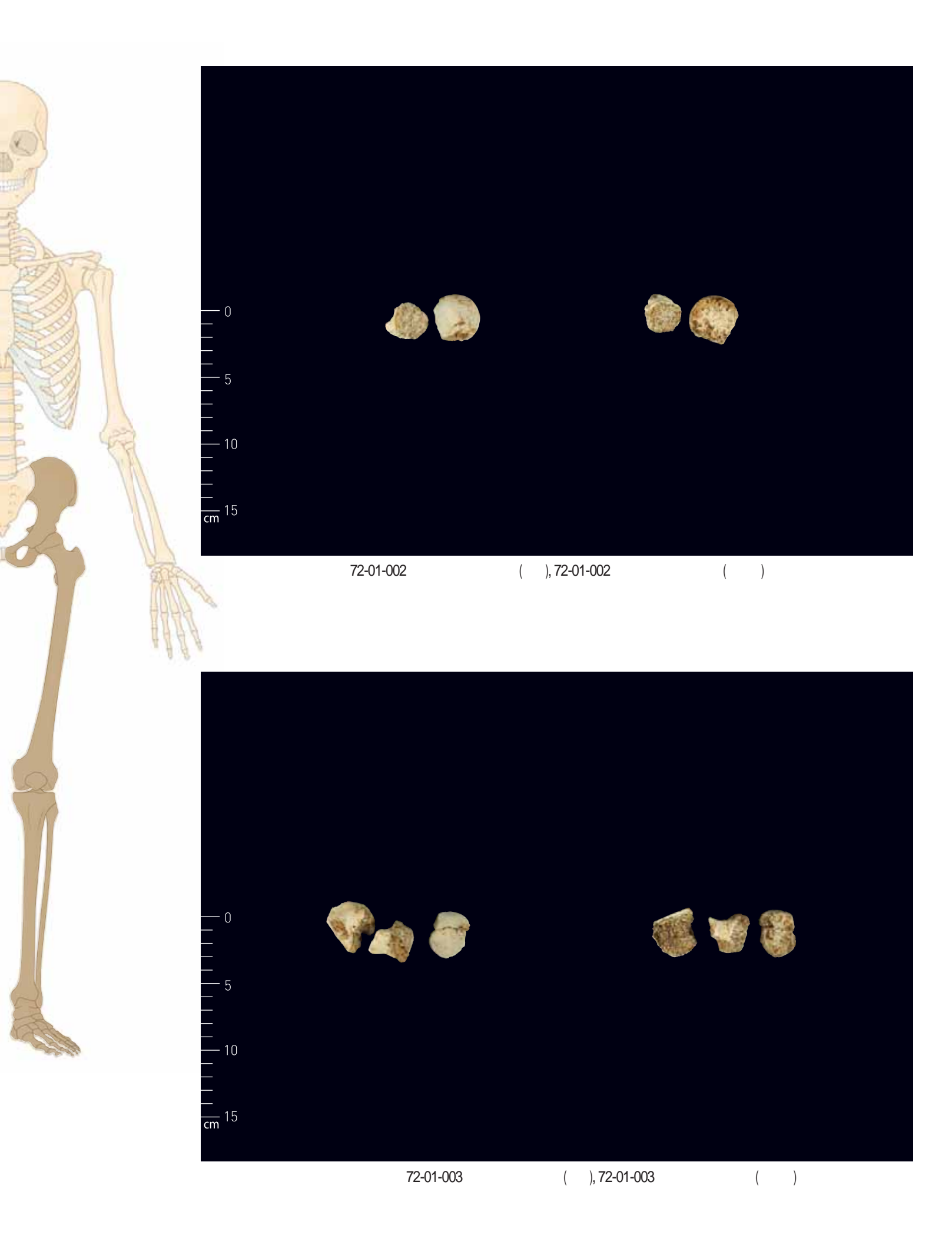
181







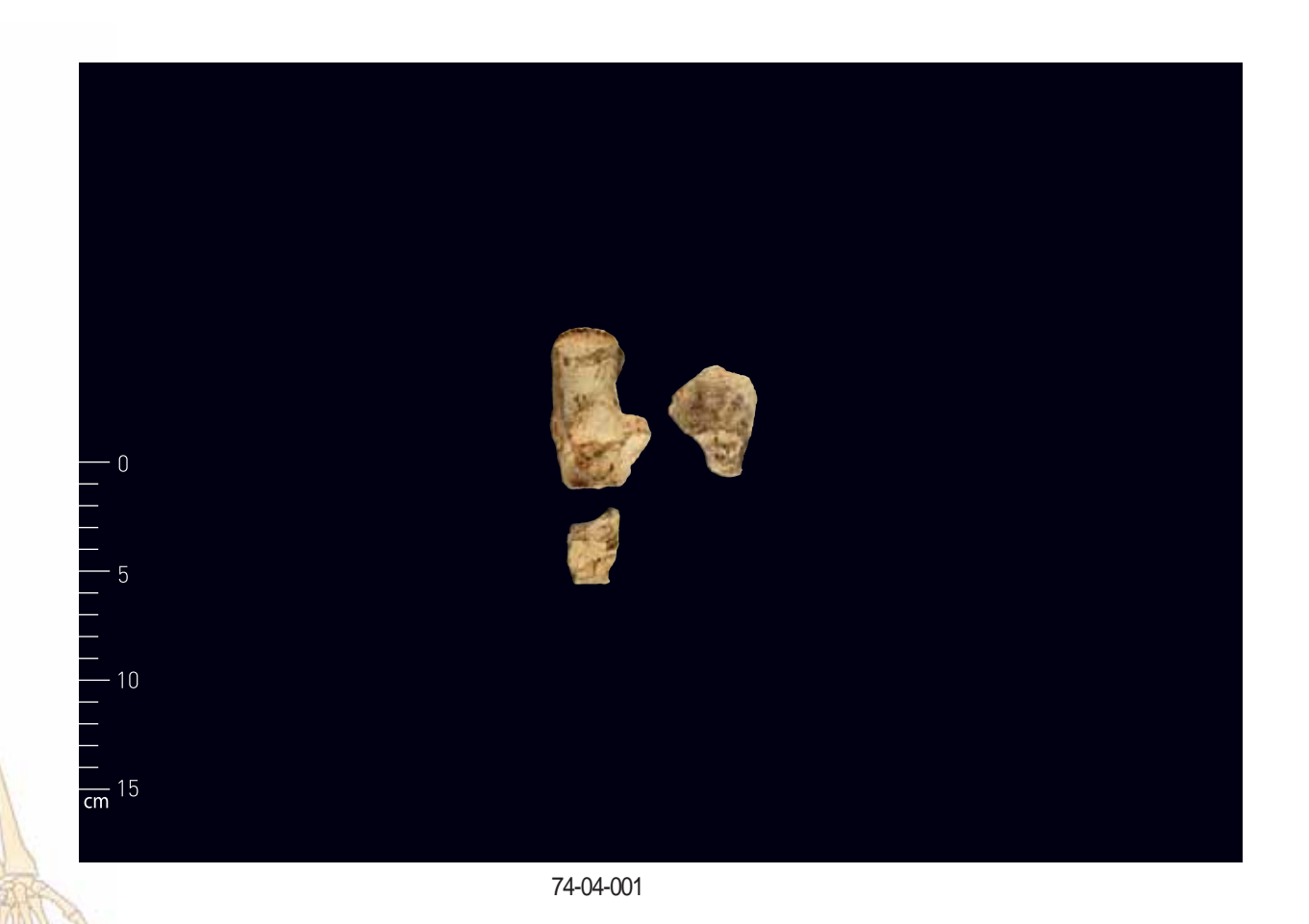


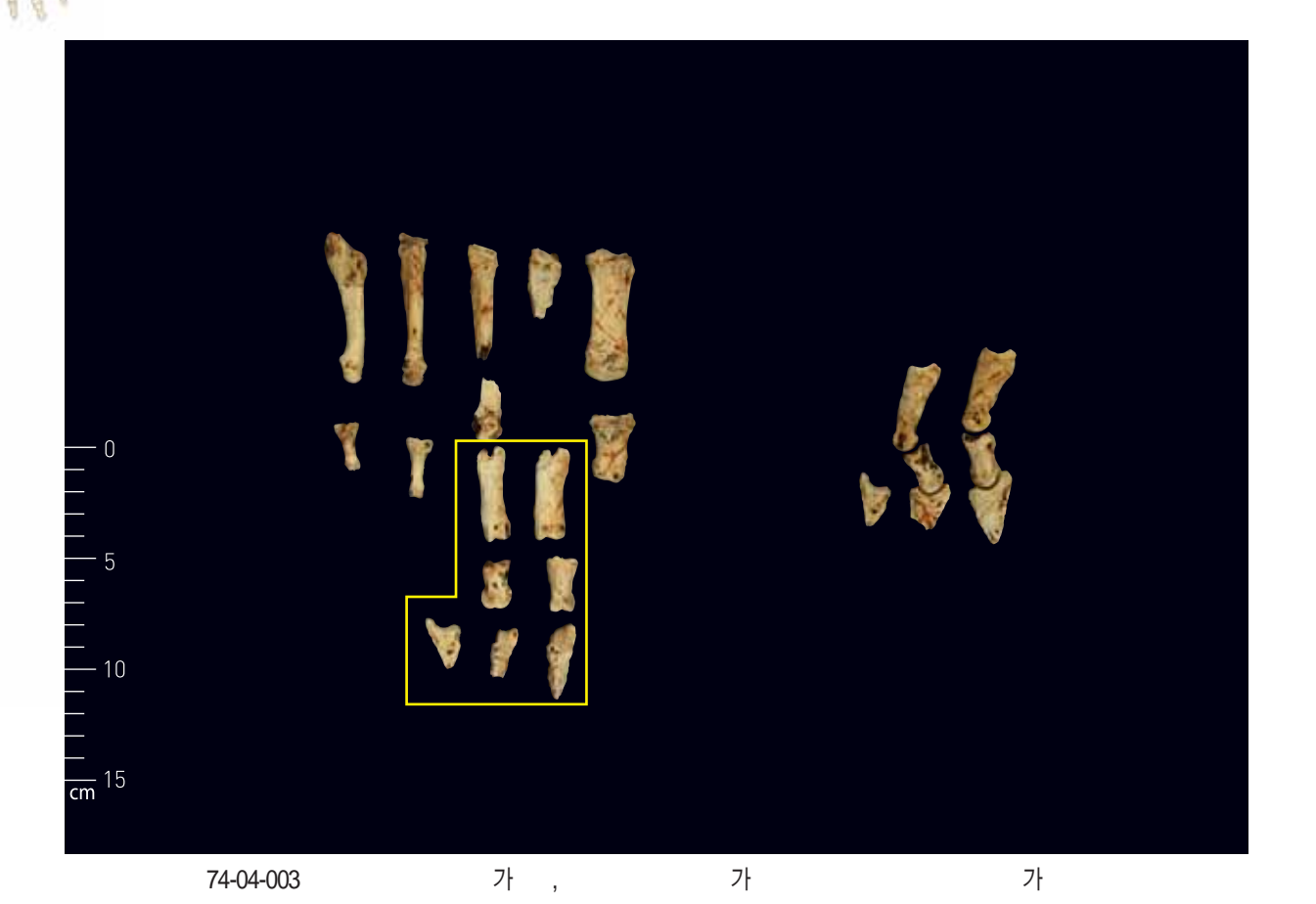






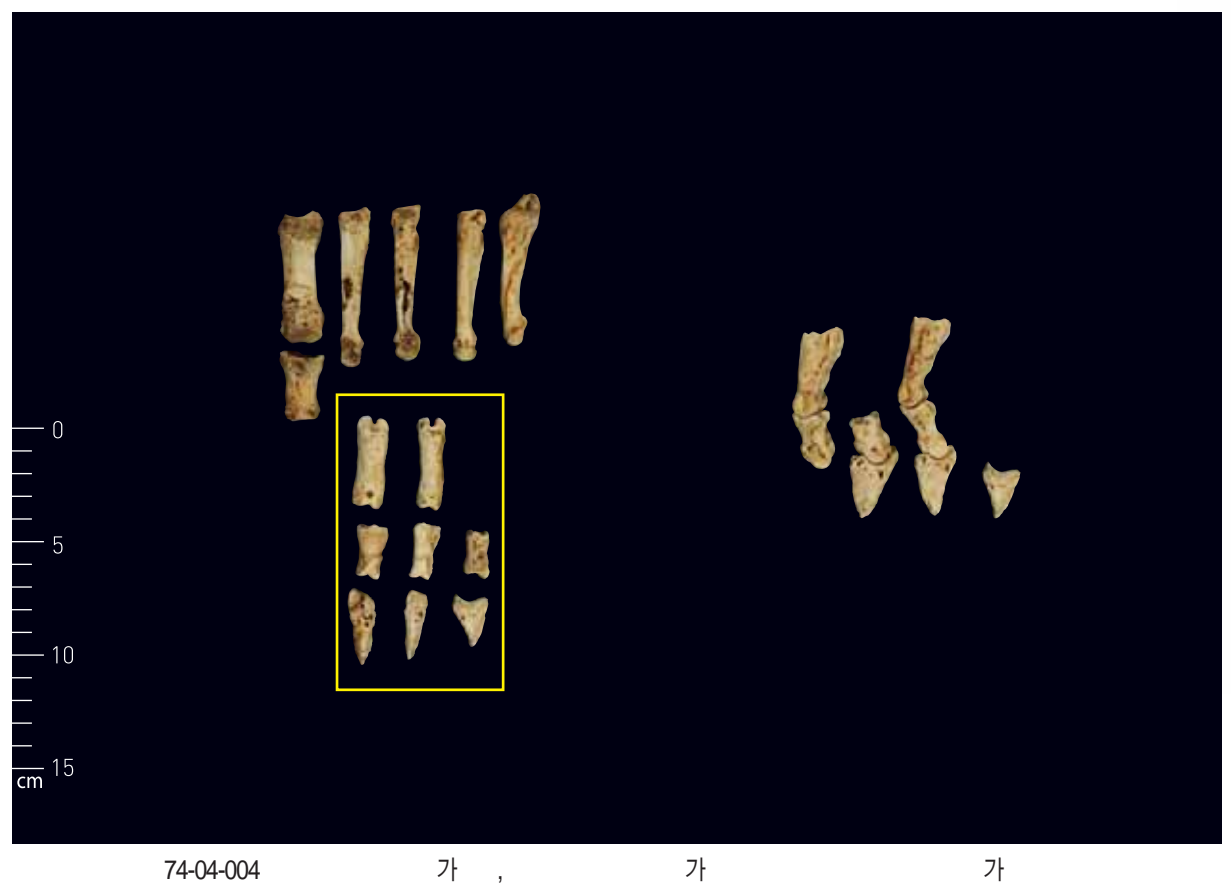
73-04-002



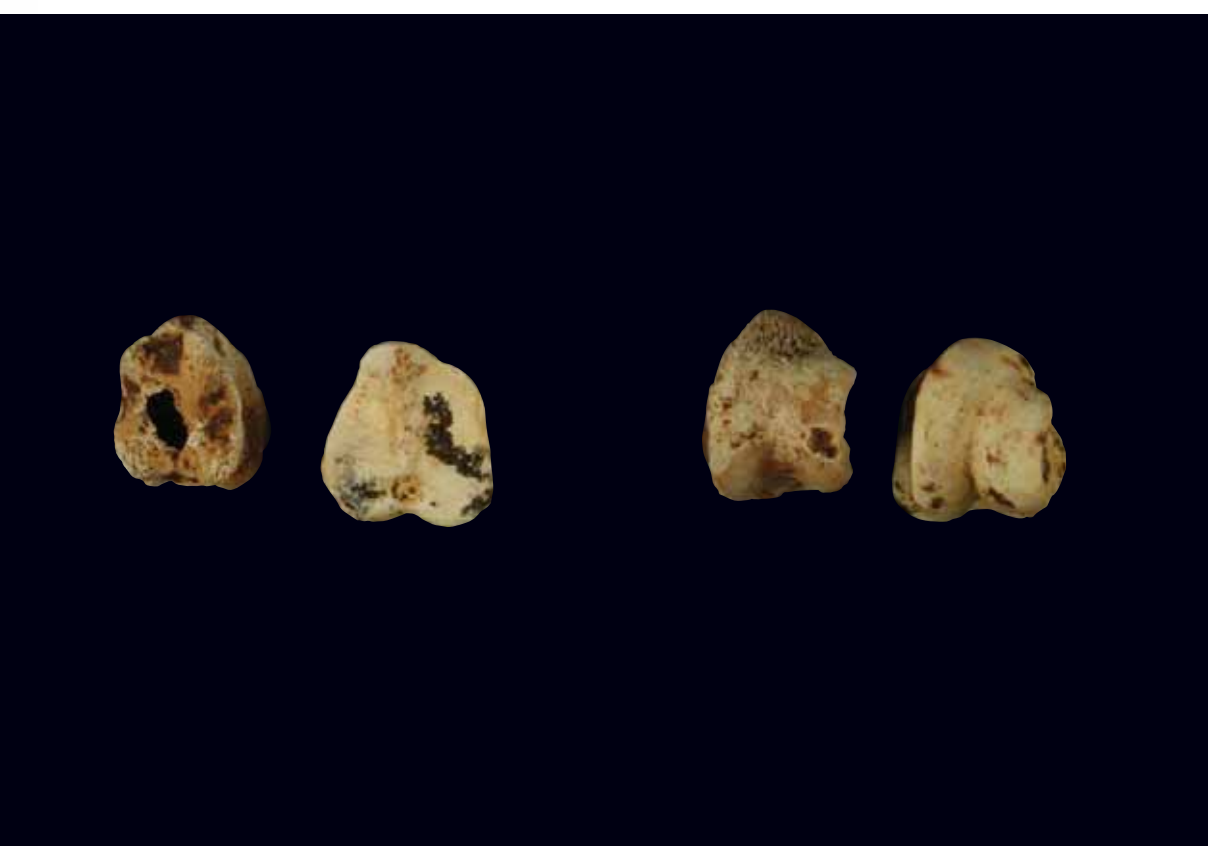




74-04-002







가 가 (), () 가)







Frag-02



Frag-04



Frag-05



Frag-06



Frag-07



Frag-08



Frag-09



Frag-10



Frag-11



Frag-12 , 74-04



Frag-13







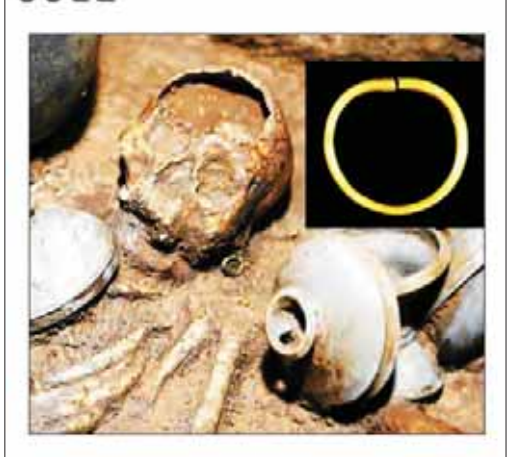
2007 12 21 ()18

 10.6×17.7 cm

2007 12 21 () 13

11.3 × 14.8cm

경향신문



금귀고리 가야인골 1500년만에 발굴

가야시대 인광이 급귀고리를 찬 모습으로 1500년 단에 발굴됐다.

국립가야문화재연구소는 경남 점념 송행동 고보군에서 지금이 20m가 넘는 대형 고분 2기 등 다 양한 규모의 고본과 제사시성 등 '비화가야(非大部區)' 시대의 것 으로 보이는 왕담과 무명을 확인 됐다고 20일 발표됐다. 독취 석실 같이가 8m55cm이 어르는 15호본 에서는 주인문과 함의 순장자 4구 의 시신이 확인됐으며, 그 가운데 한 구는 급규고라(2m)를 간 세 발균됐다. 또한 급통관의 파란과 급격고 라, 급반자, 급구쇼 등 왕등급 부 범임을 압줍하는 유물들이 받아졌다.

이성준 파에사는 "의제시대 때 대대적인 도쿄이 자형된 게 인타 참다"면서 "긍동관의 파편과 그 동안 발견된 예가 없는 됩니무늬 급반지 등을 미뤄볼 때 왕응급 무 담임이 확인된 셈"이라고 밝혔다. '비화가야'는 이른바 '6가야' 연령 채의 라니로 6세기 중후반 신라에 의해 별당되었다고 전해진다.

이기환 선일기지

한국일보

1500년전 가야 '금귀고리 부인'?



청녕 고분군서 인골 발굴

정날 정녕군 정녕철 출연용 고문군에서 꾸 고리를 참 1.500년 전 가야인의 인골이 발 됐다. 국업가이문화재연구소소장 강순화 가 최근 유적 보존 경비 과정에서 찾아낸 대 형 고반에서 발굴한 이 인골은 우덤 추인된 과 함께 먼치된 것으로 주도하는 네 영의 온 장지 중 가장 온전한 형태를 보이고 있는 한 영의 것으로 지통 2mm리 금거고대 검은 색 비방 작은 사진들 당고 있었다. 고분은 색 비방 작은 사진들 당고 있었다. 고분은

도굴로 인해 유통 대부분이 사라겠지 만, 금통관 때면과 급반지, 금구술 등 의 화려한 장신구와

마구류 등이 일부 수술에 창통급 무덤임이 학실시된다. 아래 작은시전은 고문에서 함 제 출모된 도가판으로 국립정주먹물관이 소 잘한 토기와 같은 돈물문당이 제가지 있다. 그리기(NGB)(18912-0, 18-2



15

10

2008 12 30 ()12

 22.7×10.7 cm

東亞日報

가야시대 무덤에 따라묻힌 순장자

"쌀밥-고기 즐겨… 신분 높을 수도"

경남 창녕군 송현리 가야 고분 군에서 출토된 순장 인골을 분석 한 결과 순장자들이 집곡보다 쌀 을 주식으로 했으며 육류 섭취 정 도도 높았던 것으로 나타났다.

국립가야문화재연구소는 29일 "지난해 송현동 고분군의 15호분 에서 출토된 순장 인골 4구를 법 의학·해부학적으로 분석한 결과 남녀 2명씩 물힌 것으로 나타났 다"며 "순장자 모두 쌀과 밀을 주 식으로 했고 남성 순장자 1명은 특히 육류의 섭취 정도가 조선시 대 양반 무덤에서 발견된 인골들 보다 높았다"고 밝혔다.

순장자들은 무덤 입구부터 여성. 남성, 여성, 남성 순으로 매장됐으 며 금퀴고리를 한 채 무덤 입구에 서 발견된 여성 순장자는 출산을 경험하지 않은 17세 전후 여성(키 155,7cm)으로 밝혀졌다. 남성 순 장자는 같은 모계 혈족에 속했다.

국립가야문화재연구소 이성준 학예연구사는 "지금까지는 순장



3차원 스캔으로 매장된 여성 순정자 인골을 재구성한 모습, 이 인골은 순정자 중 무덤 입구에서 가장 가까운 곳에 있었으며 조사 결과 출산 경험이 없는 17세 전후 의 여성으로 밝혀졌다. 사진 제공 국립가야문화재연구소

자의 신분을 알려준 단서가 없이 순장자들이 신분이 낮은 노예나 전쟁 포로였을 것이라고만 추정 해 왔다"며 "쌀을 주식으로 하고 육류 섭취 정도가 높아 순장자의 신분이 꼭 낮았다고 보기 어렵다" 고 말했다.

은완준 기자 zeitung@donga.com

2008 12 30 ()19 22.9×17.8cm

朝鮮日報

"1500년 전 순장된 가야인들은 노예 아닌 듯"

〈殉葬〉

창녕 고분 출토된 유골 연구 쌀과 육류 위주 식생활 나와

1500년 전, '주인'을 따라 무명에 란까번에 묻힌 가야 사람들은 노예나 포로가 아니었을 가능성을 보여 주는 연구 결과가 나왔다. 이들은 쌀과 육 류 위주로 식생활을 했던 것으로 밝 하였다.

국립가야문화재연구소(소장 강순 형)는 지난해 경남 장녕 송현동 15호 고분에서 출토된 순장자 4명의 인골 을 법의인류학과 해부학-유전학의 방 법으로 분석한 복원 연구 결과를 29 일 발표됐다. 6세기 초의 이 무덤은 6 가야 중 하나였던 비화가야(非火龍 邸)의 수장급 무덤으로 추정된다. 순 장(陶驛)이란 지체 높은 사람이 죽었 을 때 산 사람을 함께 불던 고대의 장

레범으로 우리나라에서는 신라-가야의 무덤에 서 주로 나타난다.

연구 결과 순장자들의 유골은 무덤 입구에서 부터 여자·남자·여자·남자의 순서로 누워 있었 음이 드러났다. 금케고리를 하고 있던 입구 쪽



청년 송한동 고분의 '금귀고리 여인 안골'을 3차원 형상기록장치GD 스케네'작 업을 통해 복원한 모습

순장자는 키 155.7cm의 17세 전후 여성으로 출 산 경험이 없었으며, 다른 순장자들은 20대의 성 인이었다. 거의 모계를 통해 유전되는 미토콘드 리아 DNA를 추충해 분석한 결과 남성들은 같 은 모계(母系) 혈족이었다. 이들 인골에서는 외 상(外傷)의 흔적이 발견되지 않아, 질 식이나 약물 투여로 인해 사망했을 가 능성이 있다고 연구소 축은 밝혔다.

또 탄소통위원소 분석 결과 조·기 장과 같은 잡곡 대신 쌀을 주식으로 삼고 있었으며, 맨 안쪽의 남성은 욕 류 섭취가 현저히 높았다. 이는 이 순 장자들의 신분이 낮지 않았음을 보여 주는 것인데, 《삼국사기》에는 서기 248년 고구려 통천왕이 죽자 가까운 신하들이 순장당하기 위해 자살하려 했다는 기록이 나온다.

이번 복원 연구에는 국립문화재연 구소 보존과학연구실과 가톨리의대 가톨릭용용해부연구소가 참여하고 있으며, 연세대 김종일 교수(전 국립 과학수사연구소장), 충북대 박선주 교 수 등이 외부 자문위원을 맡고 있다. 내년에는 순장자의 사망 원인과 절병, 운동능력에 대한 연구를 진행할 계획

이며, 최근 외국에서 시도되고 있는 네안데르탈 인, 클레오파트라, 바흐, 코페르니쿠스 등의 얼 굴복원 연구처럼 복제 빼에 근육과 피부를 붙 인 인체 전신 복원모형도 제작하게 된다.

유석재 기자 # 동영상 chosun.com

2008 12 30 ()11

16.7 × 12.2cm

한국일보

1500년전 가야인 인골, 3D 스캐너로 복원

"조선시대 양반보다 육류 많이 먹어"

국립가야문화재연구소는 29일 검납 참념군 송현동 15호분에서 지난해 출토된 1.500년 전 가야인의 순 장 인곱 4구를 분석, 최신 3D 스케너를 사용해 디지 털 임상으로 제구성한 모습을 꼽게했다.

순장 안골 +구는 무염 입구부터 여+남-이-남의 순 서로 배치돼 있었으며, 두 남성은 동일 모계열적인 것 으로 나타났다. 금귀고리를 하고 있던 무덤 입구 축의 순장자는 키 155.7m의 17세 전후 여성으로 밝혀졌 고 나머지는 20대였다. 금귀고리를 한 여성의 유공은 온전한 상태로 발굴됐으며, 나머지는 도곱꾼에 의해 부분적으로 해손된 상대였다.

특히 인권의 DNA 분석 결과 순장자들은 조. 기장 같은 잡곡보다 쌀을 주식으로 맺으며 육류 성취도 조 선시대 양반 무단의 인질과 비교해 높게 나타나 신분



급귀고리를 하고 있던 무덤 입구 쓱 여성 인공을 3D 스캬너로 복원한 모습 국립가야문화재연구소 제공

이 낮지 않았음을 추정케 했다. 이는 신리와 가야 본 화판에서 집중적으로 나타나는 순장 풍습이 주로 노 에 등 신보이 낮은 사람을 대상으로 했다는 기존 학계 의 건례와는 다른 것이어서 주목된다.

김지원기자 edde@tA.co.kr

2009 11 06 ()02

 17.1×26.3 cm

東亞日報







16세 여성 얼굴 복원 강남 창녕군 송현동의 6세기 가야 고분에서 출토된 16세 여성 순장자의 두개골●. 귀고리를 차고 있다. 인골을 토대로 복제 뼈를 만들어 조립한 모습⊖과 피부를 입힌 모습⊖. 사진 제공 국립기야문화재연구소

1500년전 '사슴발가락'의 비밀

■ 2007년 발굴 창녕 가야고분 순장자 인골 분석해보니

발가락이 무덤에 묻혔던 것일까.

국립가야문화재연구소는 경남 창 녕군 송현등의 6세기 가야고분(송 현몽 15호분) 순장자 4명의 인골은 컴퓨터 단층촬영, 3차원 정밀 스캔, DNA 검사, 방사성판소연대측정 등 을 통해 과학적으로 분석한 결과를 5일 발표했다.

이 고분에서 4명의 인골을 발굴한 것은 2007년 12월, 봉분 지름이 20m 에 당하는 규모로 보아 무덤의 주인 공은 가야의 최고 권력자였을 것이 다. 그러나 이미 도굴꾼이 지나간 뒤 라서 주인공의 인골은 확인할 수 없 었다.

이후 2년에 가까운 분석 결과 순장 자는 남자 2명, 여자 2명이었다. 사 망 연대는 6세기 초, 여성 한 명은 16세 정도, 나머지 세 명은 20대였 다. 기야문화재연구소는 "모두 잡곡 보다는 쌀 보리 욕류 등을 섭취해 양

1500년 전 16세 가야 소녀는 왜 순 호한 영양상태였으며 외상이 없는 것 장당해야 했을까. 한 남성 가야인의 으로 미루어 자연사가 아니라 중독 발가락은 어디로 가고 사슴뼈로 만든 또는 질식에 의해 사망시킨 뒤 순장 한 것 같다"고 설명했다.

급통귀고리를 착용한 채 발굴된 16세 소비는 키가 152cm였고 사람 니가 아직 핵 속에 남아 있었다. 뒤통

20대 남자 발가락 제거하고 사슴뼈 깎아 끼워 넣은듯 전례 없는 '미스터리 순장'

수뼈에서 다공성뼈과다증이 나타난 것으로 보아 빈혈을 앓았으며 정강이 와 증아리뼈의 상태로 보아 무릎을 많이 젊는 생활을 했음이 드러났다. 앞니에 반복적으로 끊은 흔적이 남아 것으로 확인됐다.

가능성이 높다. 자신이 모시면 권력 자가 세상을 떠나자 강제로 죽임을 했다. 이광표 기자 kplee@donga.com

당한 뒤 함께 본힌 것이다. 연구소는 "금통귀고리나 영양상태 등으로 보 아 노예나 전쟁포로와 같은 최하계층 이 아니라 무덤의 주인공 옆에서 봉 사하던 사람들이었을 것"이라고 추 정헸다.

한 남성의 인골도 눈길을 끌었다. 발가락 10개 가운데 엄지와 새끼발가 락을 제외한 나머지 발가락의 뼈가 모 두 사람뼈가 아니라 사슴류의 뼈인 것 으로 밝혀졌기 때문, 이성준 학예연 구시는 "사람 발가락 하나의 마디뼈 는 2개인데 엄지와 새끼발가락을 뺀 나머지에서 3개의 뼈마디가 나와 처 음엔 기형이 아닌가 생각했지만 법의 학자들과 함께 과학적으로 분석해본 결과 세 마디 뼈뜰은 모두 사슴류 초 식동물의 뼈로 확인됐다"고 밝혔다.

당시에 순장을 하면서 발가락을 양 쪽 3개씩 제거하고 사슴뼈를 발가락 뼈 모양으로 가공해 넣었다고 추정해 있어 무언가를 만드는 작업을 했던 볼 수 있다. 이 연구원은 "이런 경우 는 전례도 없고 문한에도 나와 있지 이 소녀는 무덤 주인공의 시녀였을 않은 고대 매장 풍습의 미스터리다. 앞으로 추가 연구가 필요하다"고 전

2009 11 05 () 02

 17.1×25.8 cm

문화일보

과학이 밝힌 1500년전 '가야 여성'의 삶

쌀·보리·콩 주식…충치·빈혈로 고생

▮ 1500년 전인 6세기 초 비화가 야(非火伽倻)에 한 권력자(지배 엘리트)의 시녀였던 16세 여성이 살고 있었다. 키 151.5cm의 그녀 는 작은 체구에 유난히 팔이 짧 았으며 얼굴은 넓고 편평했다. 왼쪽 귀에 극독귀걸이를 차고 다 녔던 그녀는 출산을 경험한 적이 없었고 평소에 쌀·보리·콩 등을 주로 먹었다. 무릎을 많이 꿇는 생활을 했던 그녀는 전신질환을 비롯, 빈혈과 중치 등 병을 달고 다녔다. 그러면 어느 날 그너가 모시던 권력자가 죽자 그를 내세 에서도 섬기고 봉사의 책임을 다 하기 위해 그녀는 목약을 마셨거 나 질식사례 무덤에 함께 들어가 게 됐다.

지난 2006년 결남 창년군 송현 동 15호분에서 발굴된 4구의 순장 (殉葬)인골 가운데 무덤 입구에 문혀있었던 여성인골을 과학적으 로 연구한 결과 밝혀진 사실로 구 성하 살이다. 여성이끌의 뒤통수 뼈에서 확인된 다공성뼈과다중은 빈혈의 증거이며, 정강이와 증아 리빠에서 무릎을 많이 굶은 생활 을 했음이 드러났다. 치아의 X선 사진은 사람니가 아직 턱속에 있 어 16세 안팎의 나이임을, 어급니 등 여러 개의 충치는 심한 치통을 않았음을 보여준다. 또 앞니로 무 언가를 자르는 일을 하고 있었던 사실도 확인됐다.

지난 2008년 7월부터 문화재청 국립가야문화재연구소와 국립문 화재연구소, 가톨릭대 의대, 충청 문화재연구원 등 4개 기관이 공동







16세 여성 순장인골의 출토 당시 모 습(위 왼쪽)과 피부증까지 과학적으 로 복원한 모형(위 오른쪽), 아래 왼 쪽은 사람니가 턱 속에 있는 이 여성 인골의 오른쪽 아래텍 X선 사진.

국립가야문화재연구소 제공

창녕군 송현동 15호분 인골 토대 '재구성'

으로 참여하 '고대 수장이끌 보일 연구사업'이 이탈 하순 16세 여성 의 인체 복임 모형 공개로 임단락 된다. 이번 연구는 고대인골에 대 한 국내 최초의 학제간 융합연구 사례로 주목된다. 컴퓨터단층활 영(CT)과 3차원 정밀스캔, 영화 의 특수분장기법, 디옥시리보핵 산(DNA) 분석, 방사성탄소연대 측정 등 첨단과학기술이 동원된 분석 결과 16세 여성과 함께 물한 두 명의 남성은 서로 먼 외가친족 일 것으로 판명됐다. 무덤의 주인 과 가장 가깝게 누워있던 남성 순 장자는 평소에 유목 고기를 많이

먹었지만 죽어서 무덤에 문항 때 는 발가락이 없어 사슴의 발가락 으로 온전한 발모양을 갖추도록 한 사실도 확이됐다.

이성준 국립가야문화재연구소 학예연구사는 5일 '한국 고대사 회의 순장자는 노예나 전쟁포로 등 최하위 계층이 아닌 무답의 주 인공 곁에서 봉사하던 시녀나 호 위무사였을 가능성이 크다'고 밝 혔다. 국립가야문화재연구소 등 은 이번 프로젝트의 연구성과를 7 일 전북대에서 열리는 제33회 한 국고고학전국대회에서 발표함 예 희명왕기자 yechoi@

2009 11 10 () 25 26.7×7.1 cm

자유패널발표 '3色 실험고고학' 눈길

가야문화재연구소 국립기관 최초로 주최

구소(소장 강순형)를 비루화 3개 기관 또 는 연구회(모임)가 자유매널발표회를 열어 관심을 끌었다. 한국고고학회가 지난 2006 년 전국대회에서 도인한 자유패널발표회는 사전에 학계에서 비중 있는 연구성과를 보

Ⅱ 지난 6~7일 전북대에서 열린 제33회 한 인 연구회 중에서 응모를 받은 뒤 3팀을 선 국고고학전국대회에서 국립가야문화재연 점, 대회기간 중 별도의 장소와 시간을 내 주고 모임을 주관하게 하는 것, 올해에는 대회 이를째인 7일 국립가야문화재연구소 가 '고대 인골자료의 복원연구'라는 주제 로 경남 창녕 송현동 15호분 출토 순장인골 분석 결과를 발표했으며 철문화연구회가

대해, 토기가마복원실험연구회가 '양산 호 계동 삼국시대 토기가마 복원과 소성실함' 을 주제로 각각 발표회를 진행했다. 특히 철기와 보기, 이골 등 3분야에 검천 실립고 고학적 접근으로 삼국시대 인간생활사를 총체적으로 복원하려는 시도가 돌보였다.

국립가야문화재연구소처럼 국립기관이 자유패널발표회를 주최한 것도 처음 있는 일이었다. 토기가마복완실험연구회도 그동 안 12차례에 걸쳐 선사시대 토기 소성 실험 을 해왔던 국립김해박물관(관장 입학종)이 주도해 만든 모임인 점을 감안하면 이번 대

절제무구류의 제작기술 및 복원연구 에 회 자유패널발표는 사실상 경남 김해·창원 등 옛 가야지역에 근거지를 둔 두 개의 국 립기관이 주도했다고 해도 과언이 아닌 셈 이다.

강순형 국립가야문화재연구소장은 '지 병의 문화재연구소와 박물관 등 국립기관 이 공신력 있는 한국고고학전국대회에서 처음으로 하나의 분과를 맡아 잠기 계획 아 래 추진해온 연구 결과를 발표했다는 데서 의미를 찾을 수 있다"며 "앞으로 발굴이나 유물 보존처리보다 이 같은 복원·실험이 고 고학 분이에서 가치 있는 프로젝트로 자리 잡을 것"이라고 밝혔다. 최명황기자 2009 11 13 () 24 27.5×25.3 cm

한거리

'삽질' 넘어 복원·재현···고고학의 변신

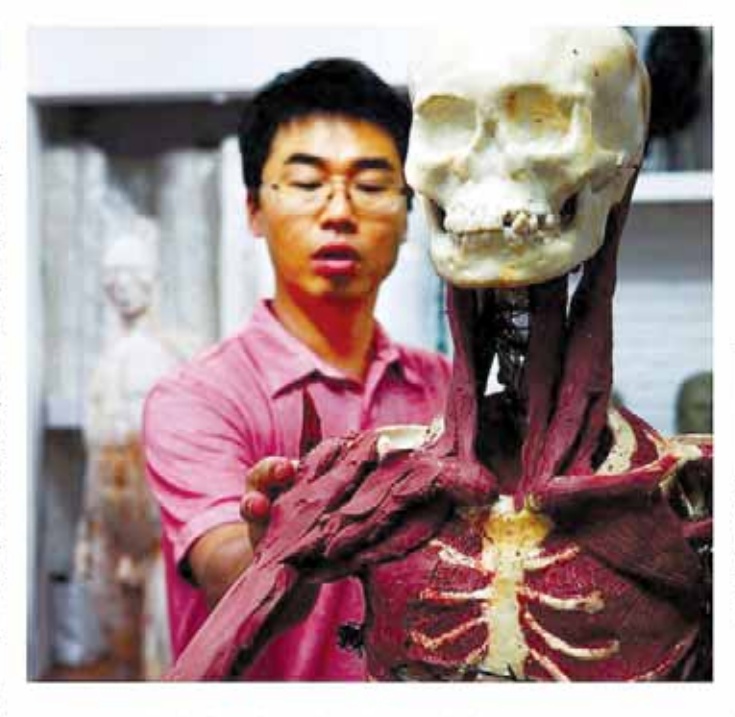
재현 고고학 '새바람'

땅만 파는 것이 전부는 아니다!

4대강 등의 대형 도목 사업으로 더욱 바빠 진 국내 고고학계 한편에 '재현 고고학' 바람 이 불고 있다. 땅에 묻힌 옛사람들의 불질적 자취를 찾아내는 본림에서 한발 나아가 유 불·유적들을 직접 복원·재현하는 실험들이 새 유행으로 떠올랐다. '발굴 회사'로 전략한 한국 고고학의 인문적 정체성을 살리려는 안 간힘으로도읽힌다.

국립가야문화재연구소는 지난해 7월부터 가야 무덤에서 거둔 사람뼈의 원래 얼굴과 몸, 의복을 복원하는 학제간 연구 사업을 벌 이고 있다. 2006~2007년 경남 창녕 송현봉 15 호 고분 안에서 금통귀고리를 끼고 순장된 체 발견된 여성의 인골을 법의학, 해부학, 조 형학, 유전학, 생화학 분야 등의 전문가들과 손잡고 과학적으로 분석했다. 가톨릭대 의 대. 충청문화재연구원 등의 공동연구진 외에 범죄헌상을 감식하는 국립과학수사연구소 의 자문까지 받았다.

지난 7일 한국 고고학 전국대회(전북대)에 서 공개된 1년여간의 작업 성과는 고무적이 다. 키 151.5cm에 16~20살로 추정되는 여성의 골격은 물론 투박한 얼굴 근육과 엣된 몸매. 가르마 전 머리, 고구려풍의 의복까지 3차원 스캔 그래픽 기술로 재현했다. 또 뼈와 이 조 직 분석을 통해 순장 여성이 평소 빈혈과 중 치가 있었고, 시좃처럼 무릎을 많이 꿇으며 살았다는 것까지 밝혀냈다. 얼굴 복원의 경 우 16살짜리 현대인의 얼굴 불렁조직 근육의 두께값을 참조하며 얼굴 근육을 불였다. 곱 게 앞가르마 탄 머리 모양은 경주 황성봉 신 라 토용과 일본 다카마쓰 고분 벽화의 시녀 상을, 복식은 대가야 박물관의 복원 의복을 참조했다. 실물 실리콘상 모형은 이달 말 공 개된다. 가톨릭대 의대 해부학 교실의 한승호 연구원은 "고대 인골의 전신 복원을 위해 국



가야인 복원·고대 토기 굽고 칼 만들고... 해부학·조형학 등 학제간 연구 탄력받아

내 처음 학제간 용합 연구가 이뤄졌다"며 "앞 으로 과거 인골 관련 자료에 대한 공통연구 가 활성화될 것"이라고 기대했다.

고대 토기와 이를 구운 가마를 통째로 만 드는 실험도 벌어졌다. 국립감해박물관과 우 리문화재연구원 직원들은 지난 4~6월 경남 양산시 호계통의 삼국시대 토기가마 유적 바 닥면 위에다 고대 가마 앙식으로 박체와 찬 장을 직접 쌓아 울렸다. 가마들이 흙 무게에 무너지기도 했지만, 결국 가마를 완성했다. 여 기에 연구원이 불레를 불려 직접 만든 점토

띠 두른 토기 등을 넣고 불을 때고 구웠다. 홍 진근 김해박불관 학에사는 "고생스러웠지만, 실험으로 가마에서 구운 토기의 전후 크기와 무게의 변화치 등을 파악했고, 가마 평면이 남근 모양이라는 데서 가마 자체가 땅의 지 모신과 결합해 자식인 포기를 생산한다는 민 속 신앙적 고찰까지 얻어냈다"고 말했다. 또 철제 무기를 인구하는 소장 고고학자들이 만 든 철문화연구회는 최근 영남권 등의 고대 칼 충도품 등을 모델로 직접 칼을 만들고 성분을 분석하는 작업을 진행하기도 했다.





경남 청냥의 6세기 가야 고분에서 순장된 채 발견된 여성 인질의 복원 모형상을 연구원이 제작하고 있는 오습(왼쪽 큰 사진)이다. 위쪽 사진들은 영산강 유역 의 교대 용관을 직접 복원하는 장면과 가야 여성 인 골을 온전한 몸의 인물상으로 복원하는 과정을 당은 그래픽 이미지다. 사진 채공 국립가야문화재연구소 국립니주문회재연구소

고고학계의 재현 실험 시도는 2000년대 중 반부터다. 충청분화재인구원은 2006년 청동 기시대 집을 만들어 불을 지피며 난방 온도 를 제는 실험을 했고, 국립나주문화재연구 소도 지난해 영산강 유역 무덤의 초대형 용 관을 직접 빚고 굽는 제작 기법 조사로 주목 받았다. 선조 생활상 복원과 고고학 대중화 를 내건 실험 고고학은 더욱 확산될 전망이 다. 하지만 고증 기준이나 과학적 분석 방법 등이 미숙해 고중의 객관성을 잃을 여지가 보 인다는 게 문제다. 실제로 가야 인골 복원 전 모가 공개된 이번 고고학대회에서 일부 학자 들은 "고대 인골의 경우 유진자 등에서 유의 미한 분석값을 얻기 어렵고 복원 근거자료도 빈약한데, 이번 분석 내용을 너무 단정적으 로 발표하는 것 아니나"는 우려를 내놓았다.

전주/글·사진 노형석 기자 nuge@hani.co.kr

15

2009 11 26 () 02

 15.9×19.8 cm

국민일보

1500년전 가야소녀 복원했더니-- "미인이시네요"



25일 국립고광박물관에서 광개된 1500년 전 가야 소녀의 언골 복원 모형을 초등학생들이 신기한 듯 살펴보고 있다. 이병주 가자

8등신에 허리 21.5인치 인체 전신모형 공개 전시 첨단과학 · 영화특수팀 개가

키 153.5cm에 팔은 짧은 편이고 허리는 21.5인치. 평균 26인치인 현 대 여성에 비해 가늘며 8등신에 가 깝다. 택배가 짧고 얼굴이 작으며 목이 긴 미인형.

국립가야문화재연구소(소장 강 순행)는 경남 왕녕군 송현동 교본 에서 2007년 출토된 여성의 인골로 복원한 인체 모형을 25일 국립고궁 바물관에서 꾸게했다. 1500년 전 가야 시대, 주인과 함께 부담에 문 한 16세 여성이 첨단 복원 장비에 의해 모습을 드러낸다.

발굴 당시 길이 135cm였던 순장 인골은 법의학 산출 공식에 따라 152cm 안팎의 키로 추정됐고, 모든 배를 복제해 자세를 맞춘 키는 151. 5㎝였다. 근육과 피부를 복완하고 머리카락을 하나씩 심은 결과 최종 키는 153.5cm로 작은 편이지만 얼 굴이 동그랗고 작아 현대 미인의 기 준인 8등신에 속한다.

안채 복원은 발굴된 108개의 뼈 에 남아 있는 의학적 증거를 바탕으 로 컴퓨터단층(CT) 촬영, 3차원 스 캔, 디지털 복원 등을 통해 복제해 를 만든 다음 인체 통계약적 자료를

근거로 근육과 피부를 붙이고 실리 콘 전신상을 만들었다. 머리카락과 눈썹도 심었다. 눈은 쌍꺼풀이 없는 것으로 복임됐다. 얼굴 복원 작업은 영화 '박쥐' '마더' 등에서 분장을 담당했던 CELL팀이 참여했다.

복원된 여성은 상체가 하채보다 큰 편이며 무릎을 많이 굶는 생활을 하는 등 전체적으로 운동량이 많아 군살 없는 단단한 몸매를 지닌 모습 이었다.

순장 인골 복원 모형은 29일까지 국립고궁박물관에 전시되며 다음 달 1~6일에는 출토지인 창녕바뭄 관으로 장소를 옮겨 선보인다.

이광형 선임기자 ghise@kmib.co.kr

2009 11 26 () 01

 10.3×21.7 cm



1500년 만에 깨어나다 컴퓨터단증촬영(CT), 3차원 스캔, 디지털 복원 등 형 단기술로 되살아난 1500여 년 전의 16세 가야 여성. 턱이 짧지만 긴 목에 미인형 알굴 이며 키는 153,5cm에 몸매는 효리효리한 편이다. 29일까지 서울 경복궁 국립고궁박 불관에서 전시한다. 김재영 기자 base#donga.com

2009 11 26 () 01

 10.3×9.3 cm

가야 16세 순장여인 전신 복원해보니~

키 153cm 허리 21.5인치 8등신 미녀

크지 않은 키, 긴 목과 가는 허리…. 1500여 년 전 가야 여성이 다시 태어 났다. 국립가야문화재연구소(소장 강 순행)는 정남 창녕군 송현동 15호본 (6세기 가야)에서 출토된 여성 순장인 골의 인체를 복원해 그 모형을 25일 공 개했다. 고대 수장자의 이공을 토대로 전신을 복원하기는 이번이 처음이다.

이 순장인공은 귀끄라볼 착용한 모 습으로 2007년 12월 발굴됐다. 기야 문화자연구소는 2년에 검쳐 과하본석 을 한 결과 인공의 주인공은 16세가량 의 여성에, 뼈대의 키는 151,5cm라는 사실을 확인했다. 이 여성은 무맙 주

인공인 권력자의 시녀였고 그가 죽자 순장당한 것으로 추정했다.

이번 작업을 통해 여성의 근육과 피부를 복원하고 머리카락을 심은 결 과 키는 153,5cm였다, 턱뼈가 짧고 얼굴이 넓지만 목이 긴 미인형 얼굴이 었다. 팡이 짧았고 허리는 21.5인치 (54,61cm)로 현대 여성의 허리(평균 26인치-66.04cm)되다 가능였다. 업 골의 같이는 19.6cm로, 얼굴과 신체 의 비례를 따져보면 활동산에 가깝다.

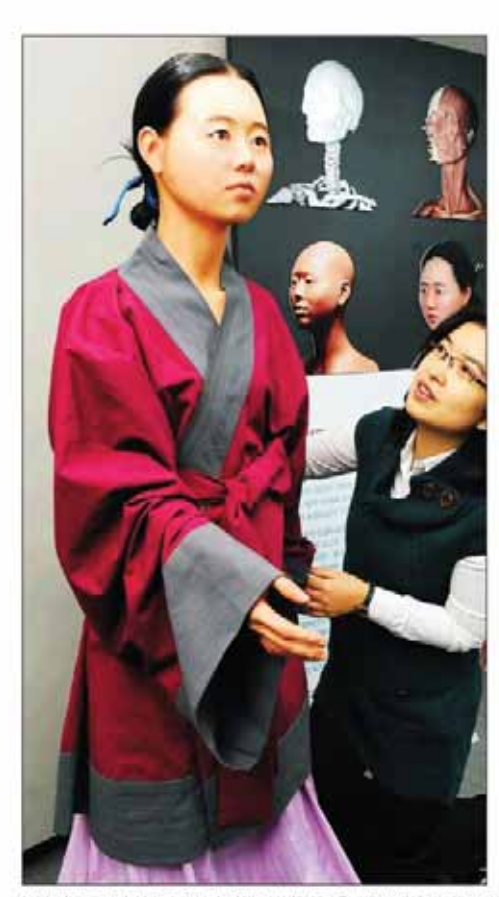
이광표 기자 kploe@donga.com

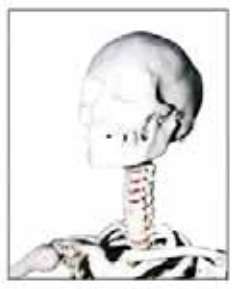
A2면으로 이어집니다 🗖

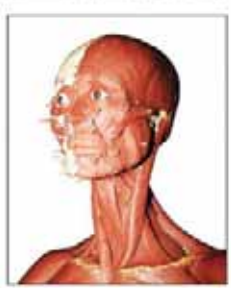
문화일보

1500년전 가야 여인의 '부활'

16세때 순장··· 키 153cm-허리 21.5인치에 목 긴 '8등신'









성일 서울 중로구 세종로 경벽궁 국립고궁박물관 1층 중앙로비에 전시된 16세 가야여성의 복원된 인체 모형(왼쪽) 신왕설기자 bluesky@-문화재형 제공

실물크기 복원은 처음

'작고 귀여운, 남자의 품에 꼭 안길 정도의 이담한 여성."

25일 서울 종립구 세종립 경봉 궁 국립고궁박물관 1층 중앙로비 에서 1500년 전 16세 순장(陶群) 여성인골의 인체복원 모형을 공 개한 강순형 국립가야문회재연구 소장은 6세기 초 점남 점녕 비화 가야(非大伽倻)의 관력자의 시너 였을 것으로 추정되는 이 여성이 목이 긴 3등신 미인'이었다고 밝 했다.

근육과 피부를 복임하고 머리 카락을 하나씩 심은 결과 최종 키 는 153.5cm로 오늘날 기준에서 볼 때는 작은 편에 속하지만 얼굴도 작아 현대 미인의 기준인 8통신에 속한다는 것,(문화일보 11월5일 자 2면 참조)

이날 인체복인 모형 공개로 문 회재점 국립가야문화재인구소가 지난 2006-2007년 경남 창녕군 송 현동 15호분에서 발굴한 순장인 뀰 4구쁄 대상으로 시도했던 학제 (問題)간 용합연구인 '고대 순장 인골 복원연구사업 도 보고서 밥 간 등 마무리 단계에 들어갔다.

1500년 전 이 땅에 살았던 한국 인의 얼굴과 몸을 과학적이고 사 심적으로 표현할 수 있게 된 것이 이번 사업의 가장 큰 성과다. 인 세탁원 모형을 보면 16세 가야 이 성의 생김새는 탁배가 짧아 얼굴 이 넓었지만 목이 긴 미인형이다. 팔이 짧은 대신 손가락·발가락은 길며 허리는 21.5인치로 현대인 (평균 26인치)에 비해 가늘었다. 상체가 하체보다 큰 편이며 무릎 을 받이 끓는 생활을 하는 등 전 체적으로 운동량이 많아 군살 없 는 단단한 몸매를 가지고 있었다 는 게 강 소장의 설명이다. 눈은 쌍꺼졌이 없는 것으로 복위됐다. 강 소장은 "연골 발굴을 많이 몇 지만 실물대의 모형을 만들어본 것은 이번이 처음"이라고 발했다.

인체복원 모형작업에는 조각가 이자 미술해부탁 전문가인 김병 하씨, 박찬목·봉준호 감독의 영화 백취' 마디'에서 본장을 담당했 던 CELL팀이 참여했다. 순장인 골의 인체복원 모형은 25-29일 국 립고궁박물관에서 일반에 공개되 며 12월1-6일 참녕박물관에서 전 시된다. 취임장기자 ycchoi@



키 1m53.5am에 하리 215만처의 8등신 이성~ 1500여 년 전 순장됐던 16세 기야 소녀가 현대 과학기술의 힘으로 제 모습을 찾았다. 국립가야운화제연구소가 25일 가야 소녀의 인세 복원 모양을 공개했다. 유공에 대한 컴퓨터 촬영과 3차원 스캔, 그리고 영화 특수 분장 기술을 총통원해 과거의 인물을 오늘에 생생하게 될러냈다. 뼈 피부 머리카락은 물론 살갗 위로 비치는 부르스름한 혈관까지 그대로 되살라냈다. 조문규 기자

2009 11 26 () 02

 20.4×18.2 cm

即辞日都

'금동 귀고리'를 한 소녀, 1500년만에 부활

최첨단 기술로 가야人 복원

목이 건 영어선 상 이 소녀는 누구명당하

1500년 전, 주인을 따라 순당(녹화)된 가야(b)타 소녀가 첨단과학을 통해 생성한 모습으로 되었어났 다. 2007년 정남 항녕 송면동 10호 고문에서 출도된 6세기 소녀의 안골(人)하을 복임한 등신상은 키 120.5cs. 군삼 없이 반단한 공제, 작은 얼굴의 필등 선 미안(이다. 문화제형 국립가(이문의자연구소소조 장순정)는 조형, 서울 정봉증 국립고등학들한 강당 에서 가야 소녀의 언제 복원 모면을 공개했다.

방군 당시 인공의 깊이는 135m. 모든 때를 되제 왜 맛있더니 키는 151.5m가 됐고, 근육과 피부를

"소녀는 아름다웠다"

허리 21.5인치… 긴 목 가진 미인 군살없고 작은 얼굴, 16세로 추정

되살리고 머리카라를 심어 2m가 더 커졌다. 손가 탁·발가라이 길고 하라는 원.5인처로 같은 나이 요 중 여성민군 20인지에 비해 가늘었다. 감순행 소 정은 ''단단한 체형으로 보아 운동량이 밝혔던 것 같다'고 했다.

◆소녀는 누구?

금등 귀고리를 확용한 제 발금된 이 소녀는 무팅 주인공의 시내였을 가능성이 높다. 모시던 편리자 가 세상을 떠나지 함께 물린 것이다.

수술만 때 표현을 밝사성한소인대육장으로 분석 한 결과 40-50년 사이에 대장된 것으로 산출됐 고 X선 원명을 통해 합니다빠의 성당만도 달라기





관인 소녀일이 밝혀졌다. 사람니가 아직 때 속에 남 다 있었고 정권이와 중마리배의 상태로 보아 무를 들 말이 꿇는 생활들 한 것으로 주정했다. 소녀는 할 보며 공을 주로 먹은 것으로 나타났다. 당시로 선 양호한 식생활이다.

◆어떻게 복원했나

3007년 가야고분군 15호분에서 모두 4명의 연골

"소녀는 시녀였다"

종아리 때 분석… 무릎 많이 꿇어 쌀·보리·콩 등 양호한 식생활 누려

이 출도된 후, 국립가이본야대인구소의 주관 아래 가톨릭대 의대 응용배부인구소, 충청문화자인구원 등이 참여하는 처원 프로메르가 시작됐다. 전용 교 고마 기메부터 유전에 선하며 '등대에 남아 있 는 외력적 중사들을 통해 범유나난흥합한과 있으는 면, 디지털 목편 등은 기반으로 재구성되고 연합에 최신 특수가점을 통해 있으러만 대학리했다. 영화에 최신 특수가점을 통해 있으러만 대학리했다.

가야 소녀의 인제 모형은 25~29일 국립고궁박물 참에서 일반에 공개되며 12일 1~1일에는 출도지인 왕녕박물란으로 장소를 옮겨 전시된다.

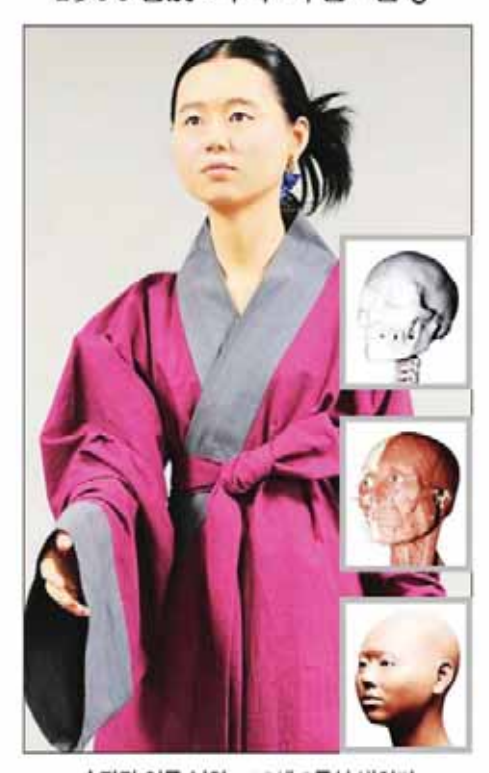
허윤의 기자 extretofichouncon



전달 오후 서울 경복공 역입고급역복증에 합시된 16세 기야 소니의 인체 제한 모양을 권합적이 됩니다면 고 다. 원폭 위 작은 사진은 모형 제작 최용 세계 배출 중 합하고(1), 근육을 제원한 추기 교부를 붉던 것(1)이니 내 중영합 chooses.com 2009 11 26 ()01

 9.9×21.7 cm

한국일보 1500년前 가야 여인 '환생'



순장된 인골 복원~ 16세 8등신 밝혀져

1,500년 전의 기야 여인이 되살아났다. 국립가야문화재인구소는 25일 강남 청년군 송원통고본에서 출보된 순장 안골을 복원한 인체 전신 모형을 공개했다. 2007년 12월 발광인 이 인종은 청년 지역에 있던 비리가야류 곳성하는 원칙자 되시나로 주장되어, 해 성장만 문석 동을 통해 키 151.5cm의 16세 여성당이 발하였다. 해를 복제해 조립자원소시간 위한 뒤 실이콘으로 근육가운데과 피부이 대를 복원하고 머리기막까지 심은 모형의 최종 키는 153.5cm, 21.5인처의 가는 하라에 긴 목을 가진 8등신 미입이다. 안골 복원에는 필류다연충활성, 영화의 목수문장기법 등 참단 가술이 공원했다. 고대 인골을 과학적으로 백원한 국내 첫 사례다. 모형은 29일까지 국립고국박음관, 12월 1-6일 청년박물관에서 전시된다. 김지원기자 edde만하는 CD J로 14분성가가 poemitiek.co Jz

☞ 동영상 hankooki.com

2009 11 26 () 02

 18.0×16.6 cm

한거리

'8등신에 슬픈 눈매' 가야 소녀 복원

권력자 무덤에 순장된 10대 여성 고대한국인 대상 첫 과학적 성과

1500이년 전 권력자 부담에 둘러 비문의 삶을 마친 가야국 의 10대 소녀, 그는 작은 가, 가는 하라, 긴 목에 맺되고 슬픈 눈 매를 빛내고 있었다.

2006-2007년 경남 창녕 송한등 가야고본 발굴 당시 순장된 채 발견된 10대 이성 인골의 생생한 인체 복원 모임이 25일 국 법고코박물관에서 공개됐다.

바살로 수정되는 이 가야소가신은 국립 가야문화재안구소(소 장 강순영)가 가들력이대 등과 는잡고 국내 지음 고대 한국인의 얼굴과 몸을 과학적 방법으로 복원한 학대적 사업의 성과품이 다 우선 무렵 요실 비난에서 발전된 10대 아성의 빠들을 컴퓨터 단점(CT) 촬영, 3대(D)스캔 그래픽 다지말 복점 등을 거치 복제 하고 골격을 세웠다. 뒤이어 영화 등의 최신 특수기법으로 실리 본 피부 등을 붙이고 미리카리과 논센도 성이 키 153m, 하리둘레 21-9인지의 6등신에 가까운 미인상으로 되살아냈다.

가야소녀상의 등급등급한 얼굴과 용패는 같은 또대 현대 한국 이성과 다브다. 테비가 지급보다 짧았던 탓에 얼굴은 좌 우가 넓고 위어에 길이는 참다. 허리도 한대인 평균(20인시)에 비해 가능다. 순장 인골의 카는 발굴 당시 135cm 연곡가였으 나 법의학상의 키 산출 공식에 따라 152cm 안팎으로 원래 키 출 추정하고 근육과 피부, 미리카락을 심으면서 153.3cm로 맞 했다. 미리 보양은 신라 투용과 일본 다카마쓰 고본 백화 시 내상에서, 복식은 대가이박물관의 복원 의복을 참조했다. 가



경남 성경 송현등 가이시대 고반에서 순원된 채 발킨된 1500에선 전 10 대 여성 인물의 인체 확원 모형, 이 도항성은 25일 오면 사용 사원로 국립 고공박물란 대회의실에서 공개됐다. 참재훈 선형기자 khan@kani.co.kr

야소녀상은 29일까지 국립고궁박물관에서 선보이며 다음달 1~6일 군립 창녕박물관으로 옮겨 전시된다.

노행석 기자 nuge@hani.co.kr

2009 11 28 () 19 28.0×26.1cm

문화일보



금주의 인물

'가야 16세 순장 여성' 복원 국립가야문화재研 연구팀

우리나라 고고학제에서 오랜만에 박뉴 스가 나왔습니다. 경남 경남군 송현 등 15호분에서 출도된 인골을 실제 모습으로 백원됐다는 소식이었습니 다.(문흙일보 11월25일자 1만 참 조) 영화나 미국 과학드리미에서

집할 수 있었던 이야기라 모두 신가해 했습니다. 문화일보는 1500 년 전 이 아리따운 16세 가야 여성을 현대과라의 힘으로 되살려낸 결남 청원시 용호용 소재 국립가야문화재연구소 순장(海豚) 인끌 백원 연구팀원들을 금주의 인물로 선정했습니다.



1500년 전 가야 이성을 복원한 국립가야문화재연구소 순장(利用) 인글 복원 연구팀원들이 26일 경남 청원시 용호통 연구소에서 복원자료를 보면 함하게 유고 있다.

첨단 학문 총동원…1500년 세월을 넘다

Ⅱ 복원팀은 강순형(54) 국립가야문화재인구소장 용 비롯해 이은석(42) 축에연구심장, 이성준(36)-양숙자(34)·박현점(31) 학에연구사, 양석진 (35) 보존과학팀장, 정여름(25) 보존과학팀 연구 원, 정신화(24) 연구원, 배현점(30) 행정담당, 정 충원(38) 전산템장 등 10템입니다. 27일 연구소에 서 만난 이들은 이 여성을 '송비화' 라고 이름 지 이 설렜습니다. 송연등 고본군에서 나왔고 창년지 액체 지리를 잡은 비화가야(非火飢嗎) 무탑에서 발진됐기 때문이랍니다. 이 여성에게 참으로 갈맞 은 어름답니다.

복원은 처음부터 암초를 만났다고 합니다. 연구 소가 2007년 12월 송현동 15호 고분을 발굴할 당 시 무런 입구에서 (명의 남녀 순장자가 발견됐습 니다. 그러나 도굴로 입구에 있던 1구의 안골만 때 고 모두 훼손된 상태었습니다. 이 안골이 배로 복 원을 통해 되살아난 '송비화'입니다. 강 소장은 '도궁꾼들로 무명 속 안골이 해손됐지만 입구 쪽 에 있던 순장자는 도골꾼들이 입구 반대편에서 글 에 있던 순장자는 도골꾼들이 입구 반대편에서 글 을 파고 들어와 원형 그대로 남아 그나아 다행이 였다'고 당시 상황을 설템했습니다. 그는 '미국 드라마 CSI에서 안골을 복원하는 것을 보고 우리 고고학·해부학·법의학자 등 참여 1년간 産苦 조각가 김병하씨·영화 '박쥐' 분장팀도 도움

도 할 수 있겠다.싶어 시도됐다"고 말했습니다. 특 히 "순장인골 복원을 통해 과거 인간의 신체적 특 짐과 고대사회의 문화를 보다 뚝넓게 보여줄 수 있다"고 관단됐다니다.

단순히 마네킹으로도 볼 수 있는 1500년 전 여성 인체 백원 모델이지만 여기에는 고고학부터 해 부학, 유전학, 화학, 불리학, 법의학까지 현대 점 단학문이 충동원됐습니다. 핵원에는 국립문화재 연구소 보존파학연구심과 가톨릭대학교 가톨릭용 용제부학인구소, 충청문화재인구원 한국고고파학 연구소가 참여됐습니다. 또 조각가이자 미술해부 학 전문가인 김생하씨와 영화 박학 의 '미대' 에서 본장을 담당한 CELL됨도 힘을 보됐습니다. 다 지만 처음에는 유사성으로 결과를 도출하려는 고 고학자와 사실에 초점을 맞추려는 의사, 파학자가 서로의 뜻을 이해하지 못해 관매 공조에 어려움도 취었답니다.

인체 복원은 발굴된 인골을 컴퓨터 단층촬영(C T)를 한 뒤 3차원(3D)으로 재구성해 복제해 만들 었습니다. 그리고 조립, 얼굴 불편조지(근육과 피 부조직)의 광균 두께 표시, 근육표면, 피부마감, 심리곤 전신상 제작 순서로 진행됐습니다. 특히 얼글쪼직의 두께 값은 근육과 피부 조직이 남이었 지 않아 현대의 16세 여성 50만의 얼굴에서 산출 한 통계치를 활용됐습니다. 배는 8세기 여성의 광 이지만 살은 2009년 한국의 16세 여성의 광균처인 생습니다. 여성의 키는 복제된 배를 조립한 상태 에서 151.5cm였으나 피부조직을 입힌 뒤에는 153.5cm였습니다.

이렇게 1년간의 공조 골에 6세기 여성은 가야식 옷까지 갖춰 많은 목이 긴 '8등신 미인'으로 21세 기에 환생됐습니다. 왼쪽 귀에 금통귀고리를 하고 있던 여성은 골반뼈 감사에서 출산점형이 없었으 며 유전자 검사결과 평소 않과 보리, 종을 먹은 것 으로 밝혀졌습니다. 그러나 두개골에 작은 구멍이 당이 통려 있는 정으로 볼 때 변함이 있었고 중치 도 여러 개 있어 통증을 느끼며 생활한 것으로 드 런났습니다. 또 무물을 많이 끌었는지 무를 빼가 당아 있었고 있니로 무건가 자료는 일을 됐는지 음집이 않았답니다. 비화가야 권해자의 시너로 추 정되는 이 여성이 어떻게 생활됐는지 상상하는 것 은 그리 어린지 않습니다.

이 여성의 배에는 의상이 전혀 없어 지배층을 내 세에도 설기는 순장제도에 따라 독약을 마셨거나 됩식사한 뒤 함께 본힌 것으로 추정됩니다. 이 여성 의 나이를 16세로 단정 지은 것은 법치의하적 분석 에서 16,03세에서 16,65세로 드러났기 때문이랍니 다. 방사성탄소인대 측정결과 여성의 사망시점은 420-680년 사이로 나왔습니다. 1500년 전 죽은 여 성의 나이를 맞추고 아들 모대로 실제 모습으로 복 원한 현대과학인 선기할 때름입니다. 지금은 모형 으로 환생했지만 유전자만으로 생명을 붙어넣어 이 여성과 대회를 나누는 시대도 곧 용지 모르겠습 나다. 행물 글 사업학화에가 Buffellmunthma.com

경본 = 글·사건 박경우기자 buntle@munhwa.co

2009 11 25 () Daily Mail

MailOnline

1,500 years after she was buried alive, scientists resurrect 16-year-old servant girl

Last updated at 2:24 PM on 25th November 2009

Her petite features and slim build would have marked her out as a beauty in any era.

And by using modern technology South Korean archaeologists have been able to recreate just how the 5ft servant girl would have looked 1,500 years ago, the first time such a task has been done in the country.

The life-size model of what is believed to be a 16-year-old who lived with a powerful family in the sixth century Gaya Kingdom (42-562) was

We have excavated human bones on many occasions but it is the first time we created a full-scale model,' said Kang Soon-hyung, director of the Gaya National Research Institute of Cultural Heritageo.

However her beauty did not save her from a grisly fate as researchers believe she was buried alive with her dead masters.

Why this is reckoned to have happened is expected to be contained in a study on the Gayan custom of burying the living with the dead which is soon to be published

The teenager's 5ft skeleton was used as a starting point for the model before layers of muscle and skin were added.

The project was carried out by sculptor-anatomy specialist Kim Byung-ha and CELL, a firm that does costumes for feature films.

Her remains were among those of four people that were unearthed during an excavation project carried out three years ago.

She had a short jawbone and thus had a rather wide face but had a long neck. The teenager's arms were short but she had long fingers and

Her waist measured 21,5in and an examination of her bones has led scientists to speculate that she frequently knelt on her knees.

South Korea







A computerised image of the 16-year-old teenager who is thought to have been buried alive 1,500 years ago. A life-size model of the teenager has gone on display in South Korea

The teenager's 5ft skeleton was used as a starting point for the model before layers of muscle and skin were added

2009 11 27 () **EPOC**

Aktuell | 27.11.2009

epoc

6. Jahrhundert: Mädchen lebendig begraben

Jung und schön war sie, doch das hat sie nicht vor einem grausamen Schicksal bewahrt: Das Dienstmädchen musste zusammen mit ihrem Dienstherren - dem Oberhaupt einer der m\u00e4chtigsten Familien der Gegend - in den Tod. Archäelogen haben sie und drei weitere Diener vor ein paar Jahren im Südosten Südkoreas in einer Grabkammer aus dem 6. Jahrhundert entdeckt. Jetzt "erweckten" Forscher sie ein letztes Mal zum Leben.



Zwei Jahre hatten die Wissenschaftler das Gaya National Institute of Cultural Heritage die gut erhaltenen Knochen genau untersucht und vermessen. Am Ende stand ein dreidimensionales Computermodell des Mädchens sowie ein lebensgroßes Abbild aus Silikon, das "in jedem Detail auf medizinischen, anthropologischen und statistischen Auswertungen beruht", so Lee Seong-Jun.

Das namenlose Mädchen war demnach 1,53 m groß und von zierlicher Statur und hatte relativ kurze Arme. Sie trug einen goldenen Ohrring und hat während ihres Lebens oft Arbeiten im Knien verrichtet. Ernährt hat sich sich, wie die anderen Diener auch, vornehmlich von Reis, Gerste, Bohnen, aber auch Fleisch.

Während des so genannten Gaya-Königreichs war es üblich, Diener mit ihren Herren zu begraben. Jener selbst fiel allerdings Grabräubern zum Opfer.

Nicole Mai





Das junge Dienstmädchen ...

2009 12 29 () Joongang Daily



Building the team that resurrected an ancient life

December 29, 2009



The girl's remains were discovered miraculously intact inside a tomb that had already been visited by grave robbers, in Changuyeong County, South Gyeongsang.

The philosopher Voltaire once said, "His face bespoke his soul." Due to an old European superstition, people believed physiognomy would allow them to read people's fortunes through the bumps on their heads. And Eastern medicine practitioners think they can detect disease by examining the face.

We humans have a natural fascination with faces. So it's no surprise that we'd wonder about the appearance of those who came before us. Last month, Korean scholars put a face and body - on a 1,500-year-old set of human remains. The story made headlines across Korea.

Physical reconstruction based on ancient bones or mummies is not a new technology, but it was the first time it had been used in Korea.

Archaeologists say Korean soil is so rich that they rarely find a complete set of bones in a well-preserved state. Although Koreans didn't artificially mummify their ancestors like Egyptians did, there have been more than 100 naturally preserved mummies discovered here. Still, none have been the subject of reconstruction.

This recent case was also the first in Korean scientific history to bring together so many experts in disparate fields - archaeology, forensic medicine, anatomy, genetics, chemistry and others - setting an ideal precedent for similar projects in the future.





They called her 22-01

The scientists who found her gave her the designation "22-01."

After reassembling and replicating her bone structure, and adding some clay, silicon, hair and paint, they gave her a more human nickname, "Gaya Girl," for the area from which she presumably came, the Gaya Confederacy (42-562). That was the name splashed across the news media.



The project transformed a skeleton in a pile into a real person.

"This whole project began with an interest in people," Lee Seong-jun, the scientist at the Gaya National Research Institute of Cultural Heritage in Changwon, South Gyeongsang, who led the two-year project, recalled in a recent interview.

"We believed in approaching human bones not just as archaeological data, but as things that have traces of a human whose life and death could be relived through knowledge of both science and the liberal arts."

Lee's institute, located in the Gaya heartland, is devoted to that loose affiliation of ancient polities. Its archaeologists were carrying out regular restoration work on a group of tombs in Changnyeong County, South Gyeongsang when they made their remarkable discovery after a cold, initially disappointing day in December 2007.

"My first impression? I'd have to say pretty disturbing and regrettable," said Lee Seong-jun, who was one of the first at the site. "There had been a grave robbery, so the tomb was awfully disturbed and not much was left."

According to Lee, 99 percent of the larger mound-shaped graves in the Gyeongsang provinces have been robbed, including the tomb in which Gaya Girl was found, Tomb No. 15.

Nonetheless, archaeologists recovered dozens of relics, mostly pottery but also gold and jade jewelry as well as pieces of horse tack, leading them to believe the tomb belonged to a king, a noble or another powerful aristocrat in the region.

As Lee and his team delved deeper into the tomb from the opening the robbers had dug, they sifted through bone fragments scattered inside it, and there she was: an almost complete, untouched set of bones of a girl they would later estimate was around 16 years old, astounding the scientists on the scene.

That was when a bold idea stroke Lee.

2009 12 29 () Joongang Daily

"She's survived 1,500 years. She's even survived the robbery," Lee said, referring to her with a respectful Korean word loosely translated as "lady."

"I thought giving her a face and body would send a strong message to people."

Lee had to work hard to convince people to back such a unique project requiring so many divergent special talents. It took him five months to convince the authorities at the staterun Cultural Heritage Administration to support him, to form an advisory committee and to win over the experts he needed.

Hard work, and a little imagination

One of those experts was Han Seung-ho, an anatomy professor at the Catholic University of Korea. In 2002, Han and his team at the university's Catholic Medical Center reconstructed the face of Father Dae-gun (Andrea) Kim, who was the first priest and martyr in Korea, entrusted to them by Myeongdong Cathedral in central Seoul. They were also involved in the study of changes in Koreans' average physical measurements in 2004 conducted by the Korean Agency for Technology and Standards.



The physical reconstruction of the 1,500-year-old remains of Gaya Girl first involved the physical excavation of her skeleton (1), followed by the reassembly of the bone fragments (2), and the replication and extrapolation of the bone structure (3). Then artists and scientists added layers of clay and other materials (4), to produce a final image of the ancient tremager (5). Provided by The Gaya National Research Institute of Cultural

But even for these veterans, the work involved several challenges.

"The bones were in good shape considering they're 1,500 years old, but as we tried to work on them many of them crumbled," said Lee Uo-young, one of the members in Han's team at Catholic University. The skull, for instance, broke to pieces in the lab. "For such bones, we had to employ several methods including 3-D reconstruction using the computer."

A total of 157 bone samples were recovered from the tomb. Han's team made replicas of 108 of them.

It was also difficult to nail down Gaya Girl's outward appearance in some places, since bones don't always tell the whole story.

"Things like the shape of the face can be figured out using bones, but some others, like the shape of the nose, for instance, cannot not be extrapolated from bones," Han said.

"Also, the soft tissue is a determining factor in facial reconstruction, but we don't have data on average soft tissue measurements during the Gaya period."

To fill in these gaps, Han's team had no choice but to use information on the soft tissue measurements of an average 16-year-old Korean girl of the present day.

That missing piece reflects how little Koreans know about the early history of the peninsula. With few actual records still extant about the era before the

Goryco Dynasty (918-1392), historians must rely on dubious sources like "The History of the Three Kingdoms," which purports to chronicle the Three Kingdoms Period (57 B.C. - A.D. 676) but was in fact mostly written in 1145, long after the period ended.

And even that tome covers state affairs almost exclusively, and Lee from the Gaya Institute laments, "We just don't know how the average people lived in that era - what they wore, what they are and the like."

That's why the physical reconstruction involved not just science but also a little imagination, experts say. Seasoned sculptor and artistic anatomy expert Kim Byeong-ha and the special makeup team that worked on the award-winning films "Thirst" and "Mother" took part in the reconstruction.

Of course, the big question is, "Is this what Gaya Girl really looked like?"

To this question, the experts can't give an unqualified yes, but Lee still believes the work had value.

"We know that this reconstruction may not have been perfect. But we hoped to change the mind-set of Korean experts, that recovery of human remains and relics should be done so that we can reconstruct their lives and the era in which they lived," Lee says.

So where is Gaya Girl now?

After being displayed at the National Palace Museum of Korea in Seoul and the Changnyeong Museum in Changnyeong, she's now resting at the Gaya Institute for her next big "show," which, according to Lee, has yet to be finalized.

By Kim Hyung-eun [hkim@joongang.co.kr]

KBS 1TV 21

17 가 ?

http://www.kbs.co.kr/1tv/sisa/tracehistory/vod/review/1582834_28170.html

















	15 (2007)	2009-11-05 1 500
2007-12-20	가 1500	2009-11-05 1500 (殉葬) 가
2007-12-20	1500 가	2009-11-05 1500
2007-12-20	1 500 가	2009-11-05 1500 가
2007-12-20	1500 金 가	2009-11-05 1500
2007-12-20 Y	TN 1,500 가	2009-11-05 YTN 1,500
2007-12-21	1500 가 •	2009-11-06 1500 ' 7¦ '
2007-12-25	1	2009-11-06 1 500
2007-12-27	' '1	2009-11-06 1500 가 ' '
2007-12-30	?	2009-11-06 가 ·
		2009-11-06 1500 7} 16 , 152cm
	15 1 (2008)	2009-11-06 1500 가
2008-12-29	, ,	
2008-12-29	6 가 ? 2	15 (2009)
2008-12-29	6 가	2009-11-25 '8 '7}
2008-12-29	15	2009-11-25 1500 가 ' 8 21.5
2008-12-29	2	2009-11-25 1,500 16 ?
2008-12-29	"	2009-11-25 1500 前 ,16 8
2008-12-29		2009-11-25 ' '
2008-12-29	1500 前가	2009-11-25 1,500 16
2008-12-30	가	2009-11-25 1500 16 , 8
2008-12-30	1500 가 ,3D	2009-11-25 1500 16
2008-12-31	1500 7 2	2009-11-25 1500 가 16 , 8 ?
		2009-11-25 1500 16' '
	15 2 (2009)	2009-11-25 1500 가 '기
2000 44 05		2009-11-25 21 1500 16
2009-11-05	·	2009-11-25 1,500 16 8
2009-11-05 2009-11-05	1500 7\	2009-11-25 1500 前가 ""
		2009-11-25 1500 16
2009-11-05	가	2009-11-25 1500 16
2009-11-05	1500 7	2009-11-25 16 7
2009-11-05	1500 '7 [†] '	2009-11-25 기 硏,
2009-11-05	21 1,500	2009-11-25 1500가 研,
2009-11-05	1500	2009-11-25 1500
2009-11-05	1 500 가 ,	2009-11-25 '8 '7}

```
16 `
                                                     "
2009-11-25|
                |1500
                                         "8
                |1500 前가
2009-11-25
2009-11-25|
                          殉葬
                                        ... 153cm 8
2009-11-25 | MBC | 1,500
                     ' 가
2009-11-25 | KBS | 1,500
                     16 가
                                      '|
                              '16 가
2009-11-05 | SBS |
                        1500
                                                '
2009-11-25 | SBS | "1 500
                             16 가
                                               "
                                          8
2009-11-25|mbn|1 5
                                   2009-11-25 | YTN | 1,500
                    16 가
                                                '
                |1500
                      가
                                  ' 8
                                       '|
2009-11-26
                |가 16
2009-11-26
                가
2009-11-26
                             2009-11-26
                |1500
                              8
2009-11-26
                |16
                         가
                         ]'
                                              , 1500
2009-11-26
                ][
                                                            2009-11-26
                |1500
                        가
                                   153cm 8
                                              |1500
2009-11-26
                                                        '
                |16
                         가
2009-11-26
2009-11-26
                |1500 前가
                                     '
2009-11-28
                [
                                        ...1500
                          ]
                                                         2009-12-01|
                |1 500
                          `가
                               '가
2009-12-01|
                |1500
                                         '
2009-12-10 | weekly
                 [ ] 1500
                                  ,16 가
                                           :' 가
                2009
2009-12-22
                                      (2)
                                                                         1500
```

